



UNIVERSIDAD CÉSAR VALLEJO

FACULTAD DE INGENIERÍA Y ARQUITECTURA

ESCUELA PROFESIONAL DE INGENIERÍA CIVIL

“Análisis de la resistencia a la compresión del pavimento rígido
mediante el esclerómetro y su incidencia en el grado de conservación-
Cusco”

TESIS PARA OBTENER EL TÍTULO PROFESIONAL DE:

INGENIERO CIVIL

AUTORES:

Bach. Sota Champi, Jorge Javier (ORCID: [0000-0002-1456-1680](#))

Bach. Vera Tejada, Mayra Carolina (ORCID: [0000-0003-4447-4374](#))

ASESOR:

Dr. Ing. Cancho Zúñiga, Gerardo Enrique (ORCID: [0000-0002-0684-5114](#))

LÍNEA DE INVESTIGACIÓN

DISEÑO DE INFRAESTRUCTURA VIAL

LIMA - PERÚ

2020

DEDICATORIA

A mi madre Luz Marina Champi por haberme forjado como profesional y sobre todo como persona, por ser la responsable de todos mis logros y a quien llevo en mi corazón.

A mis hermanas Gianina Sota y Lilian Sota por su apoyo incondicional, siempre impulsarme y motivarme a estudiar y superarme.

A mi abuelito Tomas Champi por todo el cariño, por enseñarme que todo se puede conseguir con esfuerzo y sacrificio, sé que estarías orgulloso de mi.

Jorge Javier Sota Champi

A mi madre Rosa Carmen Tejada Huillca por enseñarme que la vida no es fácil pero tampoco imposible, por su cariño, apoyo y comprensión.

A mi padre José Luis Vera Acuario y a mis hermanos por ser parte fundamental en mi vida, y siempre ser personas en quien confiar.

Mayra Carolina Vera Tejada

AGRADECIMIENTO

A la Universidad Cesar Vallejo por permitirme formarme como profesional

Al Dr. Ing. Gerardo Enrique Cancho Zúñiga asesor de la presente tesis, por su dedicación y orientación en este proceso.

De igual manera a mi familia, enamorada y amigos hago presente mi más sincero afecto y agradecimiento.

Jorge Javier Sota Champi

Son muchas las personas que han contribuido a lograr este sueño, hago mención especial a mi familia por todo el apoyo, a mis amigos y a mi Asesor. Dr. Ing. Gerardo Enrique Cancho Zúñiga por dedicarnos tiempo y ayudarnos a cerrar una etapa más en mi vida y como no agradecer a mi gata por ser la compañera incondicional.

Mayra Carolina Vera Tejada

Índice de contenido

DEDICATORIA.....	ii
AGRADECIMIENTO.....	iii
RESUMEN.....	viii
ABSTRACT.....	ix
I. INTRODUCCIÓN.....	1
II. MARCO TEÓRICO	4
III. METODOLOGÍA.....	38
3.1. TIPO Y DISEÑO DE INVESTIGACIÓN	38
3.2. POBLACIÓN, MUESTRA Y MUESTREO	39
3.3. TÉCNICAS E INSTRUMENTOS DE RECOLECCIÓN DE DATOS	42
3.4. PROCEDIMIENTOS.....	43
3.5. MÉTODO DE ANÁLISIS DE DATOS.....	90
3.6. ASPECTOS ÉTICOS.....	91
IV. RESULTADOS	92
V. DISCUSIÓN.....	95
VI. CONCLUSIONES.....	97
VII. RECOMENDACIONES	98
REFERENCIAS.....	99
ANEXOS.....	103

Índice de tablas

Tabla 1	21. BLOWUP – BUCKLING (EXPLOTAR-PANDEO)	24
Tabla 2	22. GRIETA DE ESQUINA.....	25
Tabla 3	23. LOSA DIVIDIDA.	26
Tabla 4	24. GRIETA DE DURABILIDAD “D”.....	27
Tabla 5	25. ESCALA.	28
Tabla 6	26. DAÑO DEL SELLO DE LA JUNTA.	29
Tabla 7	27. DESNIVEL CARRIL / BERMA.	30
Tabla 11	31. PULIMENTO DE AGREGADOS.	31
Tabla 12	32. POPOUTS.	31
Tabla 13	33. BOMBEO.	32
Tabla 14	34. PUNZONAMIENTO.	33
Tabla 16	36. DESCONCHAMIENTO, MAPA DE GRIETAS, CRAQUELADO. ...	34
Tabla 17	37. GRIETAS DE RETRACCIÓN.....	35
Tabla 18	38. DESCASCARAMIENTO DE ESQUINA	35
Tabla 19	39. DESCASCARAMIENTO DE JUNTA.	36
Tabla 20	Datos para graficar las resistencias	75
Tabla 21	1 Determinación del número de valores deducidos	88
Tabla 22	2 selección del número de valor deducido	88
Tabla 23	3 Suma de los valores deducidos	88
Tabla 24	Colocación de los valores q	88
Tabla 25	Calculo del máximo valor deducido corregido.....	89
Tabla 26	Resultado del PCI	90
Tabla 27	Resumen de Resultados de F'c	92
Tabla 28	Tabla de resumen de resultados PCI.....	94

Índice de figuras

Figura 1	Perfil de un Pavimento Flexible.....	7
Figura 2	Perfil de un Pavimento Articulado	7
Figura 3	Perfil de un Pavimento Rígido.....	8
Figura 4	Partes del Esclerómetro.....	11
Figura 5	Corte longitudinal del martillo visualizando sus componentes	12
Figura 6	Principio de funcionamiento	13
Figura 7	Equipo a emplear-Esclerómetro.....	15
Figura 8	Etapas del ensayo.	16
Figura 9	Abaco Schmidt.....	17
Figura 10	Formato de sondeo de condición para pavimentos rígido	19
Figura 11	Cuadricula 1.....	40
Figura 12	Cuadricula 2.....	41
Figura 13	Cuadricula 3.....	41
Figura 14	Prospecciones malla 01.....	45
Figura 15	Prospecciones malla02.....	46
Figura 16	Prospecciones malla03.....	47
Figura 17	Plantilla para espaciamiento	48
Figura 18	Formulario google.....	49
Figura 19	Cuadricula de puntos a prospectar	49
Figura 20	Trazo de cuadriculas	50
Figura 21	Demarcación de simbología para las mallas 01,02 y 03.....	50
Figura 22	Identificación de filas y columnas	51
Figura 23	Pulimiento de imperfecciones	52
Figura 24	Disparo con el esclerómetro	52
Figura 25	Extensión del archivo para exportación al Civil3D	76
Figura 26	Verificación de puntos delimitados por coma	76
Figura 27	Puntos delimitados por coma.....	77
Figura 28	Importación de los puntos al Civil3D.....	77
Figura 29	Selección formato Penz.....	78
Figura 30	Gráfico de las prospecciones	79
Figura 31	Creación de superficie	79
Figura 32	Definición de superficie.....	80

Figura 33	Curvas de $f'c$	80
Figura 34	Configuración de superficie	81
Figura 35	Grafico de $F'c$ diferenciado por colores	81
Figura 36	Leyenda de valores de $F'c$	82
Figura 37	Identificación de fallas	84
Figura 38	Formato PCI 02	85
Figura 39	Calculo de valores deducidos	87
Figura 40	Abaco de valor deducido corregido	89
Figura 41	Porcentaje de fallas	90
Figura 42	Mapa de resistencias a la compresión de los 20 paños	93
Figura 43	Leyenda de valores de $f'c$	93

RESUMEN

La construcción de pavimentos rígidos busca ofrecer un transporte seguro y cómodo, los defectos superficiales en vías causan daños y malestar, por ello es fundamental evaluarlos periódicamente.

Esta tesis **titulada** “Análisis de la resistencia a la compresión del pavimento rígido mediante el esclerómetro y su incidencia en el grado de conservación-Cusco” tuvo como **objetivo** Analizar si la resistencia a la compresión mediante el uso del esclerómetro permite determinar la incidencia del estado de conservación de un pavimento rígido en la calle Gordon Magne del distrito de Wanchaq - Cusco-2020, se utilizó el **método** científico con enfoque mixto; para determinar la resistencia a la compresión se utilizó el ensayo del esclerómetro con normativa ASTM C805 y para el estado de conservación el método PCI (ASTM 5340), teniendo como **resultados**: que el pavimento rígido de la calle Gordon Magne tiene resistencias menores a $f'c=210\text{kg/cm}^2$ -diseño, siendo el $f'c_{\minimo}=169.06\text{kg/cm}^2$, $f'c_{\maximo}=361.73\text{kg/cm}^2$ y $f'c_{\text{promedio}}=286.46\text{ kg/cm}^2$, el PCI fue 89, nos indica que se encuentra en un estado de conservación excelente, cabe señalar que las fallas se encontraron en los paños de menor resistencia, en **conclusión** la resistencia a la compresión incide en el estado de conservación de un pavimento rígido, se **recomienda** hacer evaluaciones periódicamente para hacer los mantenimientos oportunos.

Palabras clave: pavimento rígido, esclerómetro, PCI y estado de conservación.

ABSTRACT

The construction of rigid pavements seeks to offer a safe and comfortable transport, surface defects in roads cause damage and discomfort, therefore it is essential to evaluate them periodically.

This thesis entitled "Analysis of the resistance to compression of the rigid pavement by means of the sclerometer and its incidence in the degree of conservation-Cusco" aimed to analyze whether the resistance to compression by means of the use of the sclerometer allows to determine the incidence of the state of conservation of a rigid pavement on Gordon Magne street in the Wanchaq district - Cusco-2020, the scientific method with a mixed approach was used; To determine the resistance to compression, the test of the sclerometer with standard ASTM C805 was used and for the state of conservation the PCI method (AST 5340), having as results: that the rigid pavement of Gordon Magne Street has resistance lower than $f'c = 210\text{kg/cm}^2$ -design, being the minimum $f'c = 169.06\text{kg/cm}^2$, maximum $f'c = 361.73\text{kg/cm}^2$ and average $f'c = 286.46 \text{ kg/cm}^2$, the PCI was 89, it indicates that it is in a state of excellent conservation, it should be noted that the failures were found in the panels of lower resistance, in conclusion the resistance to compression affects the state of conservation of a rigid pavement, it is recommended to make periodic evaluations to make the appropriate maintenance

Keywords: rigid pavement, sclerometer, PCI and state of conservation.

I. INTRODUCCIÓN.

El desarrollo de una ciudad y su expansión, se sustenta con la integración de diferentes centros urbanos a través de pistas que tienen la función de comunicar a la población, para lograr este objetivo es ineludible contar con un medio de transporte idóneo. Esto se remonta tiempo atrás desde los años 1865 en el cual se ejecutó la primera vía de pavimento rígido en Escocia y en Perú en 1922 se construyó una de las primeras pavimentaciones de concreto en la Av. Venezuela en Lima.

Sin embargo, se puede percibir pavimentos en mal estado y muchas veces descuidados, por lo que se requiere hacer una evaluación periódica para realizar mantenimientos en el momento indicado.

Según publicación de Bolívar Pérez (23 de diciembre de 2020). Autoridades vigilan obras en la vía Biblian – Zhud. *Diario El mercurio*. En la carretera Biblian Zhud se observan baches y fisuras de diferentes tamaños en el pavimento rígido lo que ocasiona interrupciones en la circulación vehicular.

En el *Diario Correo*, Nelly Hancoco (05 de julio de 2018). El pavimento de concreto es 35% más económico a comparación del pavimento de asfalto. En el cual se menciona que la inversión para una obra vial, es mejor emplear concreto antes que utilizar asfalto... “el objetivo de los pavimentos es que perduren con el tiempo y a largo plazo no generen problemas ni malestar a la población” manifestó Humberto Vergara gerente general de Concretos Supermix SA; Marcelo Alfaro, señaló que el principal beneficio del pavimento rígido es su vida útil (20 años) en comparación con el pavimento flexible (10 años).

En la Ciudad de Cusco se vienen pavimentando las diferentes calles del distrito de Wanchaq, al cabo de 02 años de uso de dichas calles, es necesario analizar la resistencia a la compresión con el esclerómetro y hacer una evaluación con el método PCI, para ver si realmente se alcanzó la resistencia a la compresión planteada en el expediente técnico y ver en qué estado de

conservación se encuentra para ver si la vía cumple con ser rentable, eficiente y confiable; los defectos superficiales de los pavimentos rígidos causan daños en los vehículos y malestar a las personas que se transportan por el lugar, por ello es fundamental evaluar un pavimento para determinar su estado de conservación.

Por ello, de acuerdo al contexto que se presenta, este proyecto es denominado como: "Análisis de la resistencia a la compresión del pavimento rígido mediante el esclerómetro y su incidencia en el grado de conservación-Cusco". Del cual se formuló el siguiente **problema general**: ¿De qué manera el uso del esclerómetro permite analizar un pavimento rígido para determinar su resistencia a la compresión y su incidencia en el grado de conservación de la Av. Gordon Magne del distrito de Wanchaq - Cusco-2020? y los **problemas específicos**: ¿De qué manera se determina la resistencia a la compresión del pavimento rígido con el uso del esclerómetro en la Av. Gordon Magne del distrito de Wanchaq – Cusco-2020? y ¿De qué manera se determina el grado de conservación del pavimento rígido con el método PCI en la Av. Gordon Magne del distrito de Wanchaq - Cusco-2020?

El ensayo del esclerómetro nos ayudará a determinar la resistencia a la compresión del pavimento rígido como una opción apropiada para optimizar tiempo y recursos, los cuales son factores importantes para el estudio de factibilidad de la tesis.

La *justificación técnica* radica en ampliar conocimientos sobre los métodos empleados para hallar la resistencia y el estado de conservación de un pavimento rígido.

La presente tesis no solo es aplicable para obras de pavimento rígido, por lo que la *justificación metodológica* consiste en que se puede aplicar en otras investigaciones que cumplan con las variables aquí planteadas.

Una vez obtenida la resistencia a la compresión y posterior evaluación del grado de conservación del pavimento rígido, la sociedad tendrá a su

disposición una herramienta de control, que le permitirá evaluar el grado de conservación vial, esta será la *Justificación Social*.

Para determinar el f_c generalmente se utilizan ensayos destructivos cuyos precios son elevados, en este proyecto de investigación se hará uso del esclerómetro el cual es un ensayo no destructivo y económico por lo que esta sería la *justificación económica*.

Las prospecciones con esclerómetro se realizan de manera rápida y eficaz, del mismo modo el procedimiento del método PCI, no demandan operaciones complejas ni mucho tiempo al ser desarrolladas, por lo tanto, esta será la *justificación práctica*.

El **objetivo general** de la presente tesis es “Analizar la resistencia a la compresión mediante el uso del esclerómetro y su incidencia en el estado de conservación de un pavimento rígido en la Av. Gordon Magne del distrito de Wanchaq - Cusco-2020” y los **objetivos específicos** que se desarrollaran a lo largo de este proyecto de investigación son: Determinar la resistencia a la compresión del pavimento rígido mediante la prueba de esclerómetro en la Av. Gordon Magne del distrito de Wanchaq - Cusco-2020 y Determinar el estado de conservación del pavimento rígido mediante el método del PCI en la Av. Gordon Magne del distrito de Wanchaq - Cusco-2020.

Con respecto a la hipótesis del proyecto de investigación, la **hipótesis general** consiste en que “El uso del esclerómetro determina la resistencia a la compresión del pavimento rígido y su incidencia en el estado de conservación del pavimento rígido en la Av. Gordon Magne del distrito de Wanchaq - Cusco-2020. Y las **hipótesis específicas** son: El uso del esclerómetro determina la resistencia a la compresión del pavimento rígido en la Av. Gordon Magne del distrito de Wanchaq - Cusco-2020 y El método del PCI determina el estado de conservación del pavimento rígido en la Av. Gordon Magne del distrito de Wanchaq - Cusco-2020.

II. MARCO TEÓRICO

En la elaboración de la tesis, se buscó información para obtener conocimiento previo y se encontró una variedad de trabajos de investigación, normas, artículos científicos y publicaciones, a continuación, se mostrará las investigaciones que tienen variables semejantes a este proyecto de investigación:

García (2017) en su tesis titulada “Evaluación del Pavimento Rígido de la Calle Ciruelos desde la avenida 42 hasta la avenida 44, Sector Industrial Inmaconsa, Parroquia Tarqui, Cantón Guayaquil” como **antecedente internacional** planteó como **objetivo** general “Evaluar el Pavimento Rígido del Sector Industrial Inmaconsa, de la Calle Ciruelos desde la avenida 42 hasta la avenida 44 y Parroquia Tarqui, Cantón Guayaquil”, como **conclusión** tuvo que mediante el método no destructivo del esclerómetro se alcanzó un $f_c=331$ kg/cm² y recomienda continuas evaluaciones de la calle ciruelos.

Según los autores Cote & Villaba (2017) como **antecedente internacional** en su tesis **titulada** “PCI del pavimento rígido en la ciudad de Cartagena de indias y medidas de conservación” cuyo **objetivo** determinar el estado de conservación de la av. el Malecón (carrera 1ra) del barrio Boca grande, mediante el PCI, empleó una **metodología** mixta, de tipo descriptivo con enfoque cualitativo y cuantitativo. Su **conclusión** fue que el pavimento de la av. El Malecón tuvo un PCI de 44.4 esto significa que se encuentra en un estado regular y **recomienda** implementar un plan de mantenimiento preventivo.

El autor Vélez (2019) como mi primer **antecedente nacional** en su tesis **titulada** “Determinación del f_c del concreto mediante el método de esclerometría” de la Universidad de Ciencias Aplicadas, tuvo como **objetivo** “Determinar la resistencia del concreto haciendo uso del ensayo no destructivo de esclerometría, correlacionando el índice esclerométrico y la resistencia a la compresión simple, y a su vez analizar la influencia del tipo de piedra y/o la edad del concreto que existe sobre el índice esclerométrico, de esta manera justificar el empleo del esclerómetro como un instrumento confiable para

determinar el f'_c del concreto” con una **metodología** cuantitativa experimental, su **población** vienen a ser las probetas de concreto con **muestras** que serán agrupadas de acuerdo a la edad, tiene como **conclusión** que se pudo medir la dureza del concreto, que los ensayos de dureza superficial y la resistencia a la compresión se pueden correlacionar, que a mayores datos que se tengan de la muestra, mayor es el grado de confiabilidad.

Mi segundo **antedecedente nacional** con el autor Rodríguez (2016) en su tesis **titulada** “Evaluación del estado actual de la superficie del Pavimento Rígido existente en el Jirón de la amistad de la urbanización tepro del centro de poblado de Salcedo-Puno-2016” en la Universidad Andina Nestor Cáceres Velásquez, el **objetivo** de esta investigación fue “Determinar el índice de integridad estructural del pavimento y la condición operacional del pavimento rígido para el Jr. de la Amistad de la Urbanización TEPRO del Centro Poblado de Salcedo – Puno – 2016”, su **metodología** tiene enfoque cuantitativo, cuyo tipo de investigación es evaluativo no experimental, su **población** viene a ser los pavimentos de la urbanización Tepro del centro poblado de Salcedo del distrito de Puno; su **muestra** estuvo dada por la selección de tramos representativos del Jirón de la amistad, sus **conclusiones** fueron que el pavimento rígido del Jr. De la amistad, tiene un PCI de “Bueno” con pequeños signos de deterioro superficial, no obstante, tiene un f'_c menor al del diseño que era 210 Kg/cm².

Y como **antedecedente local** el autor García (2016), en su tesis de investigación **titulada** “Análisis y verificación del f'_c mediante ensayos de diamantina y esclerometría y la incidencia en la fisuración de la carpeta de rodadura de la Av. 28 de Julio del distrito de Wanchaq”, de la Universidad Andina del Cusco, tuvo como **objetivo** encontrar la incidencia del f'_c en la fisuración del pavimento rígido. **Concluyó** que el f'_c del pavimento tiene incidencia en la fisuración, pero no será un factor determinante. Recomendó el sellado de las fisuras para que las losas no colapsen.

Luego de analizar nuestros antecedentes, para una mejor compresión del tema en estudio tenemos que tener en cuenta ciertos conceptos que nos servirán de ayuda en nuestra investigación.

Según la Norma AASHTO, el pavimento se puede definir desde las siguientes dos perspectivas:

El pavimento de acuerdo a la Ingeniería viene a ser un elemento estructural que se apoya sobre la subrasante, la subrasante debe soportar el peso de las otras capas y estas a su vez están diseñadas para soportar cargas en un tiempo determinado de uso.

El pavimento de acuerdo al usuario, es una superficie que debe brindar seguridad y comodidad. Brindará un buen servicio, de manera que no altere negativamente al estilo de vida de la población. Zeballos (2018) y Barreto Cerdeño, Banguera Garces, & Córdova Rizo (2018)

Y según (Montejo Fonseca, 2002) El pavimento está formado por varias capas sobreuestas, diseñadas y construidas con insumos adecuados y bien compacto. Estas estructuras superpuestas se apoyan en la subrasante de una vía y esta ah de resistir apropiadamente los esfuerzos de las cargas cotidianas del tránsito durante un periodo de vida útil para la cual ha sido diseñada.

Los pavimentos se diferencian por su diseño estructural y son:

- Pavimento Flexible
- Pavimento Articulado
- Pavimento rígido

El **pavimento flexible** conocido también como pavimento de asfalto, está formada por varias capas: carpeta asfáltica, base, sub base y sub-rasante, cada capa tiene diferentes funciones. Debe tener una superficie resistente, buena y una rugosidad para garantizar la fricción con las llantas, así mismo tendrá un color conveniente para evitar deslumbramientos y reflejos. Así mismo tendrá características mecánicas y la resistencia adecuada para soportar el tránsito y sus cargas, sin presentar deformaciones y fallas.

En su construcción inicial, el pavimento flexible es más viable, su duración varía entre 10 y 15 años, el inconveniente radica en que demanda un constante mantenimiento caso contrario no cumple con su vida útil. (Gote sosa & Villalba Oyola, 2017), a continuación se muestra un grafico del perfil de un pavimento

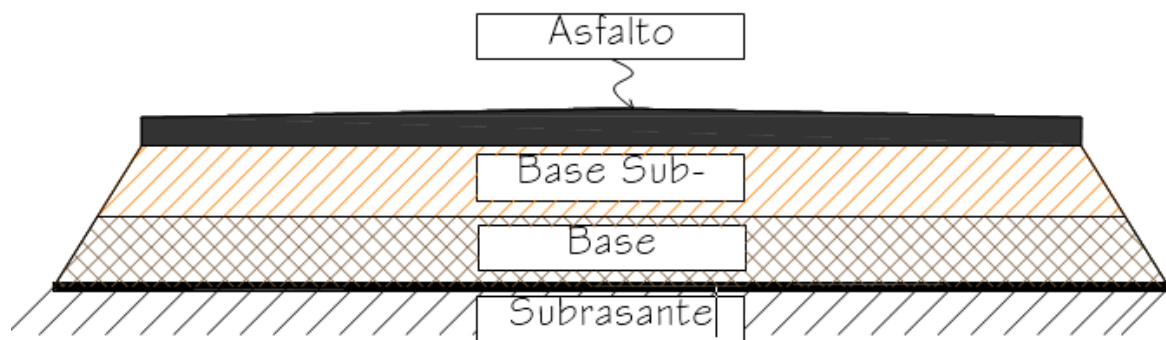


Figura 1 Perfil de un Pavimento Flexible

Fuente: (Zeballos Gamarra, 2018)

Por otro lado el **pavimento articulado** es aquel donde las capas de rodadura están compuestas por bloques de concreto prefabricado (adoquines), se instalan sobre una capa delgada de agregado fino y se encuentra sobre la subrasante. Zeballos (2018)

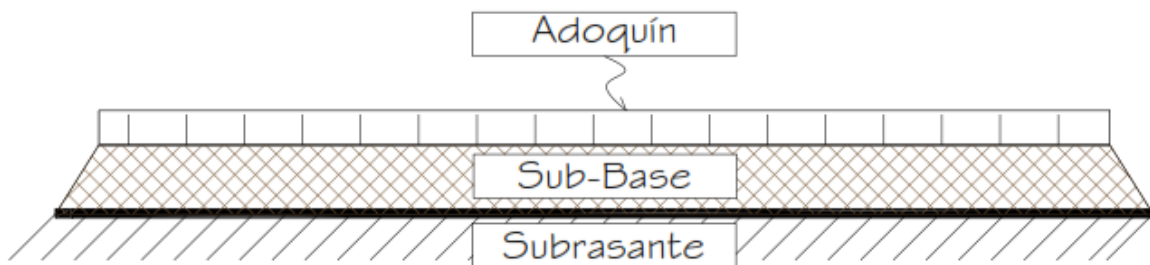


Figura 2 Perfil de un Pavimento Articulado

Fuente: (Zeballos Gamarra, 2018)

Y por último el **pavimento rígido** es una estructura con carpeta de rodadura de concreto simple o reforzado. El cual va situado sobre una base o subbase. Estos absorben y distribuyen de forma vertical las cargas sobre el área de apoyo, la losa tiene como función disipar las tensiones y así la rasante recibe mínimos esfuerzos, Fajardo (2017), su estructura es como se muestra a continuación.

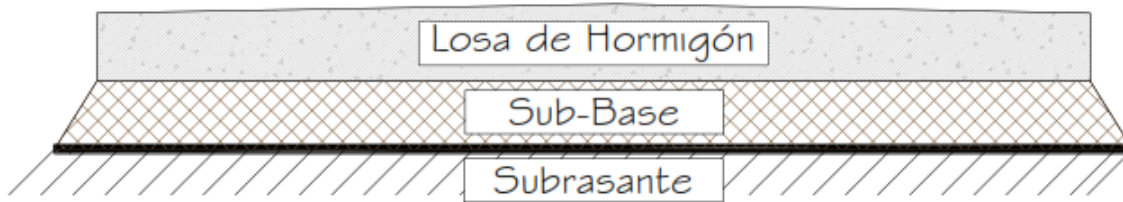


Figura 3 Perfil de un Pavimento Rígido

Fuente: Zeballos (2018)

Los **tipos de pavimentos rígidos** se clasifican dependiendo del uso para el cual está diseñado, podemos clasificar los pavimentos de concreto en:

- 1. Pavimento de Concreto Hidráulico Simple**
 - Sin elementos de transferencia de carga:
 - Con elementos de transferencia de carga.
- 2. Pavimentos de Concreto Hidráulico con Refuerzo de Acero (PCH RA)**
 - Con refuerzo de acero no estructural.
 - Con refuerzo de acero estructural.
- 3. Pavimentos de Concreto Hidráulico con Refuerzo Continuo (PCH RC)**
- 4. Pavimentos de Concreto Hidráulico Pre o Pos tensado (PCH PP)**
- 5. Pavimentos de Concreto Hidráulico Reforzado**

La **resistencia a la compresión del concreto** es la principal característica mecánica del concreto, se entiende como la capacidad de resistir un esfuerzo por unidad de área kg/cm², MPa, psi. (Osorio, 2020)

Los factores que inciden en la resistencia mecánica del concreto son:

Contenido de cemento: El cemento es el material más incidente en el concreto, su proporción tienen un gran predominio en la resistencia. A menor contenido menor resistencia, a mayor contenido mayor resistencia.

Relación agua-cemento y contenido de aire: La resistencia del concreto totalmente macizo, a cierta edad, es inversamente proporcional a la relación agua-cemento.

Relación agua-cemento = A/C

Donde:

A= Contenido de agua en la mezcla en kg

C= Contenido de cemento en la mezcla en kg

A mayor contenido de agua menor resistencia, a menor contenido de cemento menor resistencia y para un concreto con aire incorporado es necesario tener relación agua-cemento baja.

Influencia de los agregados: La granulometría tiene un impacto importante, así como la forma cúbica y rugosa de los agregados que tienen mayor adherencia y permiten llegar a una mayor resistencia y los agregados lisos que no tienen adherencia, pero necesitan menos agua para su manejabilidad.

Tamaño máximo del agregado: Para una mayor resistencia, el tamaño del agregado deberá ser menor para que la eficiencia del cemento sea mayor.

Edad del concreto: En el momento del fraguado el concreto comienza a adquirir resistencia la cual se va incrementando con los días hasta llegar a 28 días.

Curado del concreto: Durante el fraguado el concreto se deshidrata debido a la temperatura que se produce al pasar del estado plástico al endurecido, por lo tanto, tiene como objetivo mantener saturado el concreto y de esta manera hidratar el concreto, caso contrario la resistencia disminuirá.

Temperatura: Durante el curado las temperaturas altas aceleran las reacciones químicas de la hidratación del concreto, acrecentando la resistencia del concreto a cortas edades, sin impacto negativos, sin embargo, las temperaturas altas durante el fraguado del concreto incrementan las resistencias tempranas, pero influyen negativamente a las resistencias posteriores. (Osorio, 2020) (Vélez Gallardo , 2019)

Los **ensayos en concreto endurecido** para calcular la resistencia a la compresión de un concreto, tienen el principal objetivo de determinar si se está cumpliendo a cabalidad con las especificaciones sobre la resistencia del concreto en la ejecución de una obra, estos se pueden clasificar y determinar de la siguiente manera:

Ensayos Destructivos

Los métodos destructivos son realizados sobre un espécimen de concreto, ello determina las propiedades mecánicas de una muestra, originando cambios irreversibles de su composición química y morfología, entre estos ensayos tenemos:

- Ensayo de resistencia a compresión
- Ensayo a tracción indirecta
- Ensayo de extracción de núcleos diamantados
- Ensayo de humedad
- Ensayo a flexo compresión
- Ensayo de permeabilidad
- Ensayo de resistencia a la abrasión
- Ensayo del grado de carbonatación

Ensayos No Destructivos

La principal característica de estos métodos para la estimación de las propiedades mecánicas del concreto es que se desarrollan de manera fácil y rápida, a diferencia de los anteriores estos no producen la destrucción del espécimen evaluado.

Existen diferentes tipos de ensayo no destructivo para evaluar el concreto, estas dependerán de las condiciones en las que realiza el ensayo y sobre todo del parámetro que se pretende controlar, entre estos tenemos:

- Ensayo de esclerometría
- Ensayo de velocidad de pulso ultrasónico
- Ensayo de resistencia a penetración
- Prueba de ruptura
- Prueba de cargas
- Método de madurez. (Vélez Gallardo , 2019)

La prueba del martillo de Schmidt es el método más popular para medir la dureza de la superficie del hormigón. El ingeniero Ernst Schmidt desarrolló por primera vez una prueba de rebote practicable martillo.

El martillo es muy simple, no pesado (alrededor de 2 kg) y tiene una energía de impacto de alrededor de 2,2 Nm.

Se puede operar en superficies verticales, horizontales e inclinadas, hacia arriba y hacia abajo, pero tiene que estar en ángulo recto con la superficie medida (Al-Kutti & Arif Aziz, 2017)

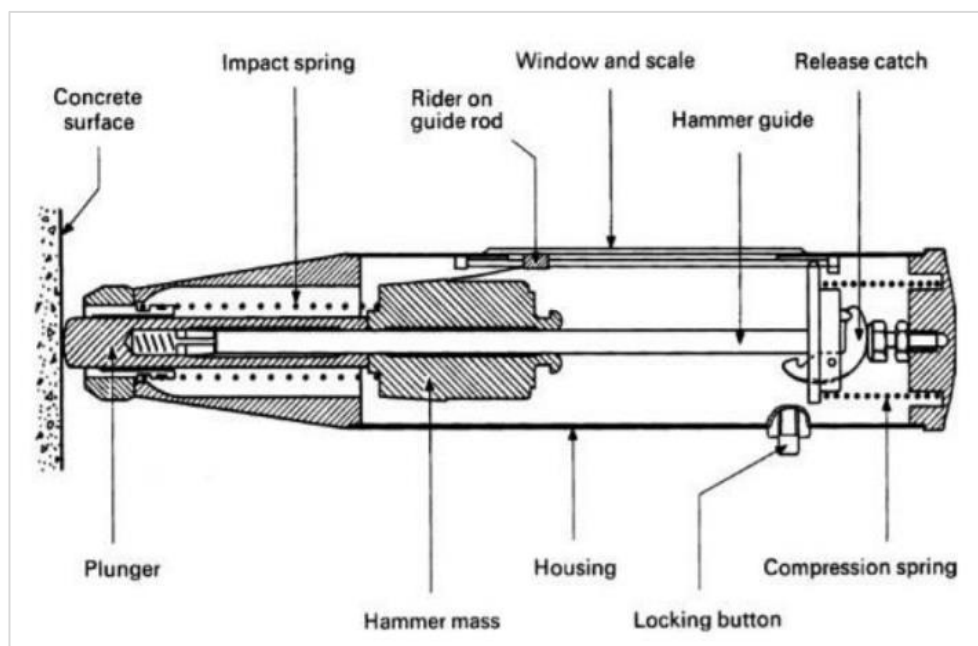


Figura 4 Partes del Esclerómetro

Fuente: (Al-Kutti & Arif Aziz, 2017)

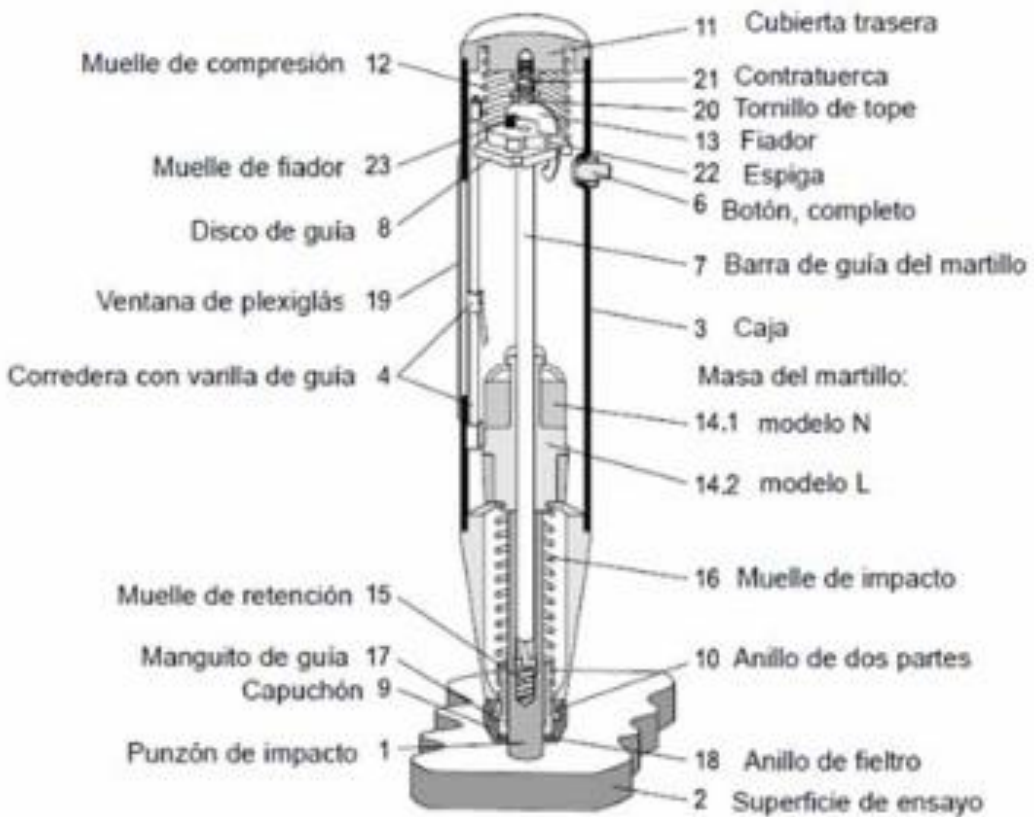


Figura 5 Corte longitudinal del martillo visualizando sus componentes

Fuente: (Lozano, Geoengineering Services y Consulting E.I.R.L, 2012)

Básicamente consiste en una varilla con un resorte adjunto. El vástago de la válvula se coloca sobre la roca y se inserta un martillo para empujarlo hacia la roca. Esto hace que se almacene energía en el resorte. Cuando la energía elástica alcanza un cierto nivel y se aplica masa al vástago de la válvula, el resorte libera automáticamente la energía. La altura que alcanza esta masa durante el rebote (medida en una escala de 0 a 100) es proporcional a la dureza y, por tanto, a la simple resistencia a la compresión de la superficie de la roca. (Lozano, Geoengineering Services y Consulting E.I.R.L, 2012)

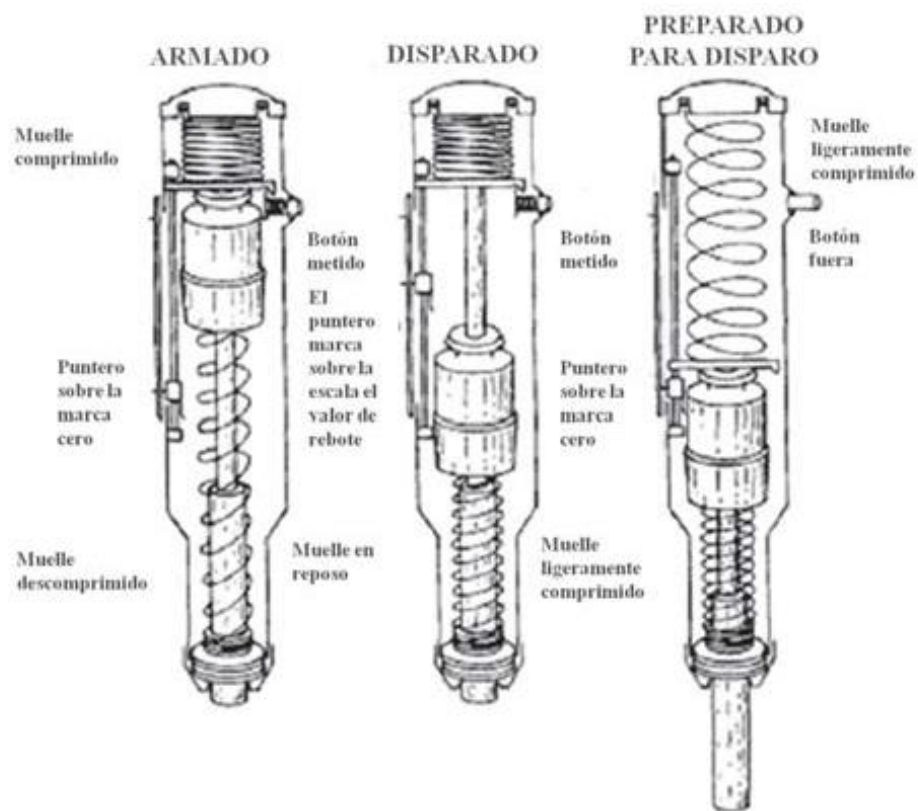


Figura 6 Principio de funcionamiento

Fuente: (Lozano, Geoengineering Services y Consulting E.I.R.L, 2012)

Los tipos de esclerómetros (martillos) son:

Modelo N: Energía de impacto = 2,207 Nm (0,225 kgm), utilizada para controlar el hormigón en la construcción normal de edificios y puentes.

Modelo L: Tiene una energía de impacto de 0,735 Nm (0,075 kgm), es el un modelo reducido del modelo N. Es más adecuado para inspeccionar elementos de hormigón de menor tamaño y sensibles al impacto.

Modelo M: La energía de impacto = 29,43 Nm (3 kgm) es particularmente útil para determinar la resistencia del hormigón en proyectos a gran escala y para comprobar la calidad de carreteras de hormigón y pistas de aeropuertos. Sin embargo, el uso del modelo M no es único.

Todos estos modelos tienen un sistema que permite el registro o impresión automática de cada resultado de la prueba, evitando así que el

operador tenga que detenerse y tomar notas o indicar el valor obtenido, evitar errores y registrar el registro. (Quinde Saavedra , 2013)

La norma ASTM C805 **Método del número de rebotes** utiliza un dispositivo llamado "martillo suizo" o "probador de dureza" para el análisis, que nos permite determinar la resistencia de un pavimento rígido golpeando y presionando la punta del probador de dureza contra la superficie a inspeccionar por rebote. cuanto más duro, más bueno, pero compacto es el hormigón. El número obtenido en la escala del probador de dureza se transferirá al gráfico, que proporciona el valor de la resistencia a la compresión en función del ángulo de ataque. (ASTM-C805, 1997)

Como factores que afectan los resultados tenemos:

- Posición del martillo
- La textura y el estado de la superficie del hormigón (la carbonización puede aumentar la resistencia del hormigón)
- Edad del concreto
- Concentración de agregado grueso en la superficie (aumenta la resistencia)
- El tamaño, la forma y la rigidez de los elementos constructivos
- Condiciones de la humedad Interna (baja la resistencia)
- Tipo de árido
- Tipo de cemento
- Tipo de encofrado
- Temperatura de la superficie del hormigón y temperatura del instrumento

El equipo a emplear es:

Martillo de rebote: Es una barra de acero, afectado por el impacto de una pieza de acero impulsada

Piedra abrasiva: Elementos hechos de granos de carburo de silicio de tamaño mediano u otros materiales con texturas similares



Figura 7 Equipo a emplear-Esclerómetro

Fuente : (Pacori Arizaca, 2018)

Procedimientos previos al disparo con el esclerómetro:

- Seleccionar la zona para realizar el ensayo de aproximadamente 15x15cm
- Trabajar la superficie utilizando la piedra abrasiva
- Dibuja una cuadrícula de líneas espaciadas por 1 pulgada y toma la intersección de las líneas como punto de influencia.
- Realizar por lo menos 9 lecturas, si estas varían demasiado realizar el ensayo nuevamente

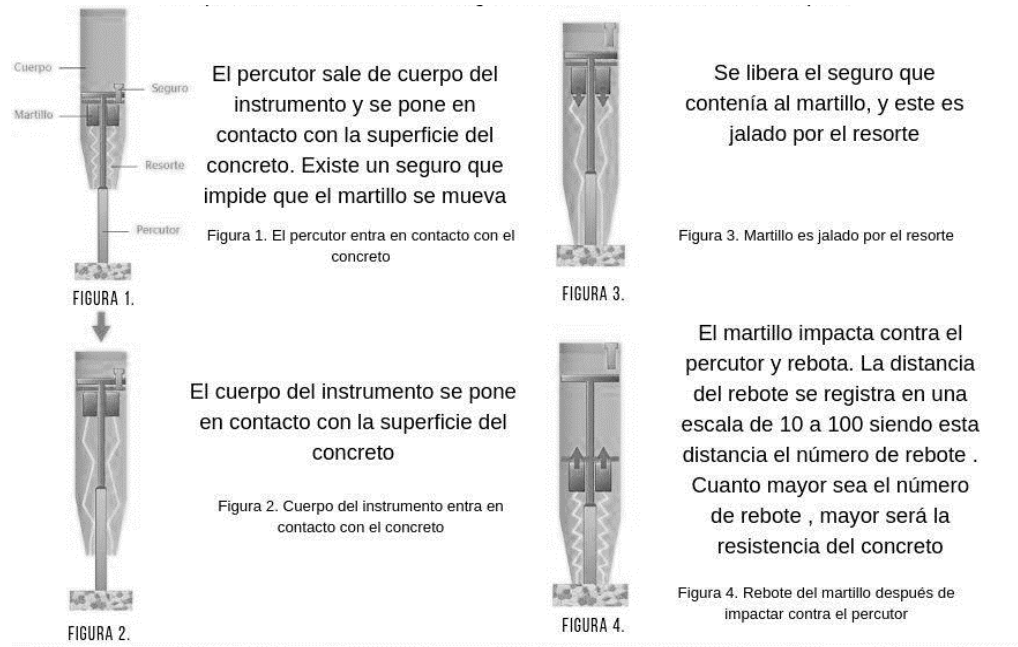


Figura 8 Etapas del ensayo.

Fuente : (PUCP)

Procedimiento del cálculo del índice de rebote- $f'c$

- Calcule R (Índice de rebote). Los “n” datos logrados se ordenan de mayor a menor y se calcula la mediana. La mediana es el índice de rebote
- Tome el promedio de 8 a 10 valores de rebote que se han marcado (sin incluir los valores que son demasiado altos o demasiado bajos)
- Si supera el 20% de todas las lecturas están a más de 6 unidades de la mediana, todas las lecturas se descartarán (el área será rechazada). De lo contrario, el valor logrado será la tasa de rebote.
- Con este valor, se puede ingresar al gráfico y obtener una aproximación de la resistencia del concreto

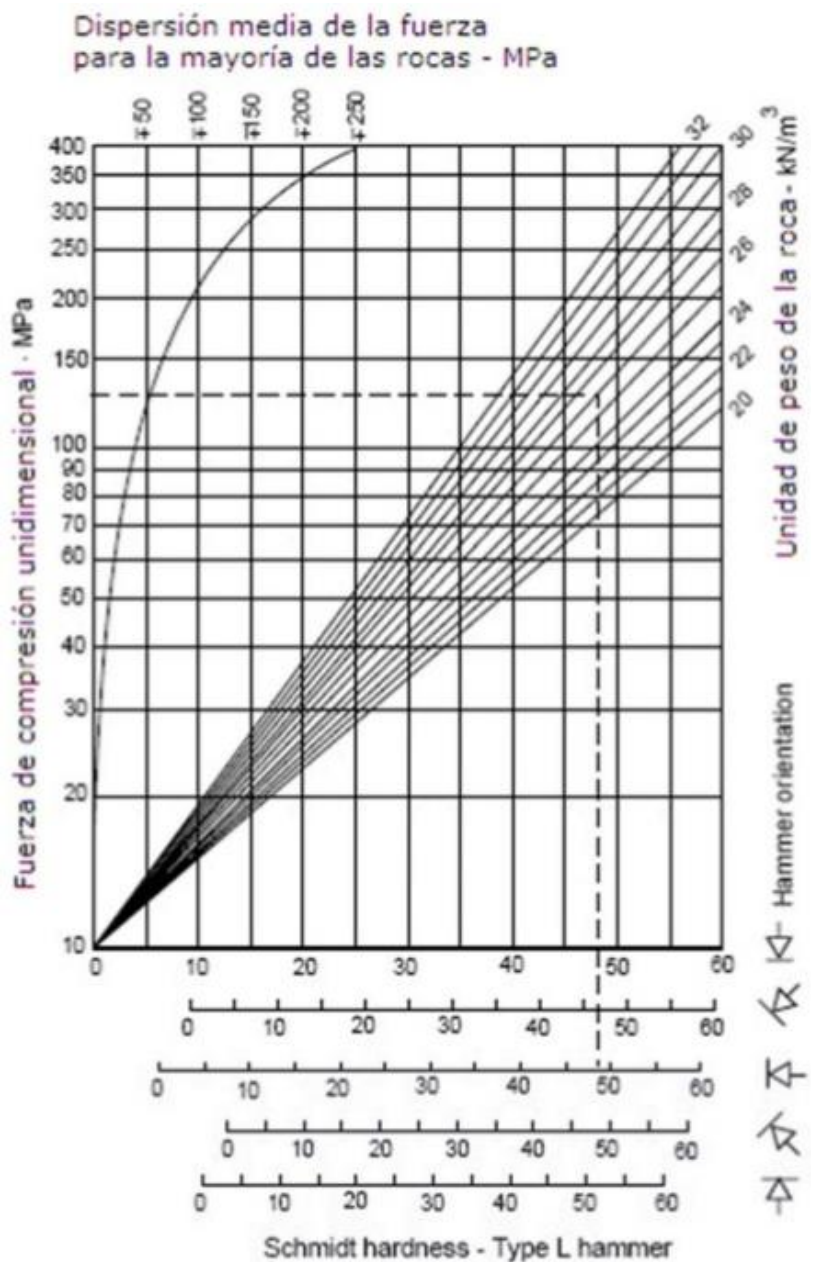


Figura 9 Abaco Schmidt.

Fuente (Lozano)

Como segundo punto importante tenemos **la capacidad de servicio del pavimento** que es la percepción del usuario del nivel de servicio del pavimento.

La medición de la capacidad de servicio del pavimento, puede ser considerada como una valoración de la superficie. (Zeballos Gamarra, 2018)

La norma ASTM D 5340 Índice de Condición de Pavimento fue desarrollado para lograr indicadores de la integridad estructural de la acera y el estado de funcionamiento de la superficie.

Para la aplicación de este método, se utilizan los pasos comprendidos en esta tesis, para obtener PCI, se realiza un trabajo insitu para determinar el daño de la superficie de la vía, y luego se registrará toda la información recabada en el formato PCI 02.

El deterioro del pavimento depende del tipo de daño, su gravedad y su cantidad o densidad que será presentado en porcentaje.

El índice numérico PCI va desde cero (0) (para aceras que fallan o en malas condiciones) hasta cien (100) (para aceras en condiciones ideales). La Tabla 1 muestra el rango de PCI y la descripción cualitativa correspondiente de las condiciones de la carretera.

RANGOS DE CALIFICACIÓN DEL PCI	
100 – 85	Excelente
85 – 70	Muy bueno
70 – 55	Bueno
55 – 40	Regular
40 – 25	Malo
25 – 10	Muy malo
10 – 0	Fallado

Los cálculos de PCI son producto de un registro visual de las condiciones de la vía, este determina el nivel, la gravedad y la cantidad de cada tipo de daño, se desarrolló para obtener indicadores de la integridad estructural del pavimento y las condiciones de operación de la superficie. La información sobre los daños obtenida de la lista de verificación puede comprender claramente la causa del daño y su relación con la carga o el clima.

La primera etapa que es **evaluar el PCI del pavimento** se realizará in situ, en este se debe determinar el daño según el tipo, gravedad y tamaño, esta información se recabará en los formatos PCI 02.

Para vías de hormigón de cemento Portland y carreteras con capas de rodadura con dimensiones menores a 7,60 m: La **unidad de muestreo** estará en el rango de 20 ± 8 losas. (Vásquez Varela, 2002)

INDICE DE CONDICION DEL PAVIMENTO						
PCI-02 CARRETERAS CON SUPERFICIE EN CONCRETO HIDRAULICO						
EXPLORACION DE LA CONDICION POR UNIDAD DE MUESTREO						
UNIVERSIDAD CESAR VALLEJO						
TESIS: Análisis de la resistencia a la compresión del pavimento rígido mediante el esclerómetro para determinar su incidencia en los defectos de superficie – Cusco						
ZONA <input type="text"/>	ABSCISA INICIAL <input type="text"/>	FECHA <input type="text"/>				
N° DE LOSA <input type="text"/>	ABSCISA FINAL <input type="text"/>	UNIDAD DE MUESTREO <input type="text"/>				
INSPECCIONADA POR <input type="text"/> <input type="text"/>		NUMERO DE LOSAS <input type="text"/>				
Nº	DAÑO	Nº	DAÑO	Nº	DAÑO	
21	Blow up/Buckling	27	Desnível Carril / Berma	33	Bombeo	
22	Grieta de esquina	28	Grieta lineal	34	Punzonamiento	
23	Losa dividida	29	parcheo grande	35	Cruce de vía ferrea	
24	Grieta de durabilidad "D"	30	Parcheo pequeño	36	Descorchamiento	
25	Escala	31	Pulimiento de agregados	37	Retraccion	
26	Sello de junta	32	Popouts	38	Descascramiento de esquina	
39				39	Descascaramiento de junta	
DAÑO	SEVERIDAD	Nº LOSAS	DENSIDAD %	VALOR DEDUCIDO	ESQUEMA	

Figura 10 Formato de sondeo de condición para pavimentos rígido

Fuente: elaboración Propia

Puede haber una gran cantidad de unidades de muestreo para la evaluación del pavimento y su inspección requerirá mucho tiempo y recursos. Por tanto, el **cálculo de las unidades de muestro** es necesario.

En la "evaluación del proyecto" se deben evaluar todas las unidades; sin embargo, si no es posible, se debe obtener el número mínimo de unidades muestrales que se deben evaluar a través de la Ecuación 1, la cual dará una estimación del verdadero valor promedio de PCI. ± 5 , y tiene un 95% de fiabilidad.

$$n = \frac{N \times \sigma^2}{\frac{\epsilon^2}{4} \times (N-1) + \sigma^2} \quad (\text{Ec. 1})$$

Dónde:

n: Cantidad mínima de unidades de muestreo a valuar.

N: Cantidad total de unidades de muestreo en la sección del pavimento.

e: Error tolerable en el estimativo del PCI de la sección ($e = 5\%$)

s: Desviación estándar del PCI entre las unidades.

Durante el reconocimiento preliminar, la desviación estándar (s) se toma 15 (el rango de PCI es de 35), se debe de evaluar todas las unidades cuando la cantidad mínima de unidades de muestreo es inferior a 5.

Para la **elección de las unidades de muestreo para la evaluación** se sugiere distribuir uniformemente las unidades seleccionadas en la vía, y luego seleccionarlas primero al azar (sistema aleatorio), como sigue:

a. El intervalo de muestreo (i) se expresa mediante la Ecuación 2:

$$i = \frac{N}{n} \quad (\text{Ec. 2})$$

Dónde:

N: Cantidad total de unidades de muestreo disponible.

n: Cantidad mínimo de unidades para evaluar.

i: Intervalo de muestreo, se redondea al número entero inferior

b. Al inicio aleatoriamente, se elige entre la unidad de muestreo 1 y el intervalo de muestreo i.

Así, si $i = 4$, la unidad inicial de muestreo a estudiar puede encontrarse entre 1 y 4. Las unidades de muestreo para evaluar se identifican como (S), $(S + 1)$, $(S + 2)$, $(S + 3)$, etc.

Continuando con el ejemplo, si la unidad inicial de muestreo para inspección elegida es 3 y el intervalo de muestreo (i) es 4, las subsiguientes unidades de muestreo a inspeccionar serían 7, 11, 15, 19, etc.

Sin embargo, si se requiere calcular la cantidad exacta de daño, se debe verificar cada unidad de muestreo.

Una de las principales deficiencias del método aleatorio es que algunas unidades de muestreo muy deficientes quedan excluidas del proceso de inspección y evaluación. También puede suceder que una unidad de muestreo que solo haya sido dañada una vez (por ejemplo, "cruce de línea férrea") se incluya de manera inadecuada en la muestra aleatoria.

Para evitar esta situación, la inspección debe establecer cualquier unidad de muestreo anormal y utilizarla como una "**unidad adicional**" en lugar de una "unidad representativa" o una unidad aleatoria para la inspección. Si se incluyen otras unidades de muestreo, se realizan algunas modificaciones al cálculo de PCI para evitar la extrapolación de condiciones anormales en toda la sección.

La definición de daño debe seguirse estrictamente para lograr un valor de PCI confiable. Aspectos a tener en cuenta en la **evaluación de condición** son:

a. Equipo.

- Utilice una regla y un metro para determinar la profundidad de la marca o depresión de la rueda.
- Manual de daños PCI, en formato correspondiente, y en cantidad suficiente para realizar las inspecciones.

b. Procedimiento.

Verifique la unidad de muestreo para medir el tipo, la cantidad y la gravedad del daño, y registre la información en un formato apropiado. Las definiciones y los procedimientos para medir los daños deben conocerse y seguirse estrictamente. Cada unidad de muestreo utiliza una tabla o "tabla de información de exploración condicional", y cada fila utiliza un formato para registrar el daño, el grado y la gravedad del daño.

c. El equipo de inspección debe implementar todas las medidas de seguridad para la evaluación en la vía, como proporcionar señales y dispositivos de aviso para los vehículos y el personal que los acompañan.

Una vez completada la intervención in situ, la información recolectada se utiliza para calcular el PCI. Este cálculo puede ser manual o por computadora, y se basa en el "valor de deducción" de cada daño según el número y la gravedad del informe.

Para el **calculo de los valores deducidos** se seguirán los siguientes pasos:

- a) Calcule el número de LOSAS para cada tipo de daño y nivel de gravedad en formato PCI-02
- b) Dividir la cantidad de losas por daño entre el número total de las analizadas, el resultado será expresado en % y será denominado densidad de cada unidad de muestreo para cada combinación de tipo y severidad del daño.
- c) Utilice la curva "Valor de daño deducido" para establecer el valor de deducción para cada combinación de tipo de daño y nivel de gravedad.

La determinación del número admisible máximo de deducidos (m), será según la siguiente formula:

$$m_i = 1.00 + \frac{9}{98} (100 - HDV_i) \dots \dots \dots \quad (\text{Ec. 3})$$

Dónde:

m_i = numero maximo admisible de valores deducidos, para la unidad de muestreo i

HDV_i = el mayor numero deducido individual para la unidad de muestreo i

Para calcular el **máximo valor deducido corregido CDV** con el siguiente proceso iterativo:

- a) Asegúrese de que el número de valores inferidos "q" sea mayor que 2.0.
- b) Calcule la "deducción total" sumando todas las deducciones individuales.
- c) Calcule el CDV con q y el "Valor Deducido Total" en la curva de corrección dependiendo el tipo de pavimento.

- d) Disminuya el menor del único "valor de deducción" mayor de 2.0 y coloque únicamente 2.0, y luego repita el paso 3.a. Hasta 3.c. Hasta que q sea igual a 1.
- e) El máximo CDV máximos se calcula siguiente este procedimiento

Cuadro para hallar el máximo valor deducido corregido

Nº	VALORES DEDUCIDOS						TOTAL	q	CDV

Fuente elaboración propia

Por ultimo se realiza el **calcuso del PCI** diferenciando de 100 el máximo CDV, como se muestra:

$$PCI = 100 - \text{Max } CDV$$

Y el **cálculo de PCI de un tramo de pavimento** contiene varias unidades de muestreo. Si se calculan todas las unidades de muestreo, el PCI de esta parte será el valor promedio del PCI calculado en las unidades de muestreo.

Si se utilizan otras unidades de muestreo, el promedio ponderado se calcula de la siguiente manera:

$$PCI_S = \frac{[(N - A) \times PCI_R] + (A \times PCI_A)}{N}$$

Siendo:

PCIS: PCI de la sección del pavimento.

PCIR: PCI promedio de las unidades de muestreo aleatorias o representativas.

PCIA: PCI promedio de las unidades de muestreo adicionales.

N: Total de unidades de muestreo en la sección.

A: Número adicional de unidades de muestreo inspeccionadas.

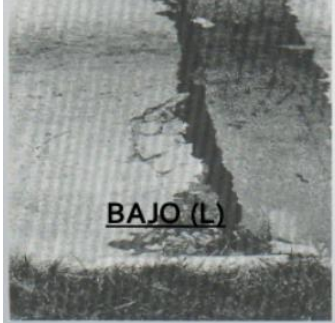
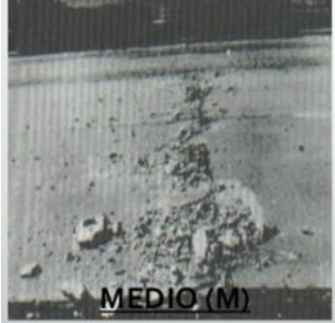
A continuación se muestran cuadros con las patologías superficiales en vías de concreto, las cuales describen el tipo de falla, su medida, nivel de severidad y opciones de reparación:

Tabla 1 21. BLOWUP – BUCKLING (EXPLOTAR-PANDEO)

21. BLOWUP – BUCKLING (EXPLOTAR-PANDEO)

DESCRIPCIÓN: Ocurren en climas cálidos, generalmente en grietas o juntas transversales, cuyo ancho no es lo suficientemente grande para expandir la losa. El ancho insuficiente generalmente se debe a la penetración de materiales incompresibles en la cavidad de la junta. Cuando la expansión no puede eliminar suficiente presión, se producirá un movimiento ascendente o una fractura del borde de la placa (Buckling) cerca de la junta. También pueden aparecer en los bordes de zanjas donde se instalan los servicios públicos.

MEDIDA: En las grietas, esta patología se considera como estén presentes. No obstante, si aparece en una junta y afecta a ambas losas, se contabilizará en ambas. Cuando la severidad del blowup inutiliza la acera, debe repararse de inmediato.

NIVELES DE SEVERIDAD	IMAGEN	OPCIONES DE REPACION
L Severidad baja		L No se hace nada.
M Severidad media		M Parcheo profundo o parcial

H Severidad alta



H Renovar losa

Fuente (Vásquez Varela, 2002), (Vargas, 2014)

Tabla 2

22. GRIETA DE ESQUINA

22. GRIETA DE ESQUINA

DESCRIPCIÓN: Se trata de una grieta que cruza las juntas de las losas y la distancia es menor o igual a la mitad de la longitud de las losas en ambos lados (medida desde la esquina). La diferencia entre una grieta de esquina y un descaramiento de esquina radica en que la grieta de esquina se extiende verticalmente a través de todo el espesor de la placa, mientras que la otra se cruza con la costura en ángulo. En general, las cargas repetidas más la pérdida de soporte y la tensión de flexión pueden causar grietas en las esquinas.

NIVELES DE SEVERIDAD	IMAGEN	OPCIONES DE REPACION
L Baja severidad	A photograph of a sidewalk made of concrete pavers. A vertical crack runs from the corner of one paver to the corner of an adjacent paver, crossing the joint between them.	L Se sellan las juntas de mayores a 3mm
M Mediana severidad		M Se sellan juntas y parcheo profundo

H Alta severidad



H Parcheo profundo.

Fuente (**Vásquez Varela, 2002**), (**Vargas, 2014**)

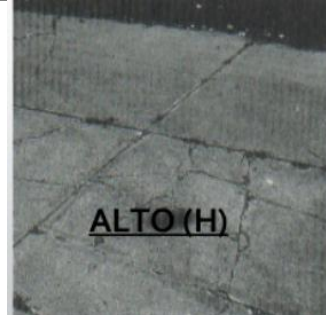
Tabla 3 23. LOSA DIVIDIDA.

23. LOSA DIVIDIDA.

DESCRIPCIÓN: Por sobrecarga o soporte insuficiente, la losa se partirá en cuatro o más piezas. Si todos los fragmentos o grietas están contenidos en la grietas de la esquina, el daño se clasifica como grietas severas en las esquinas.

MEDIDA: Si la división es de gravedad media o alta, no se consideran otros tipos de daño.

NIVELES DE SEVERIDAD	N° DE PEDAZOS EN LA LOSA AGRIETADA	IMAGEN	OPCIONES DE REPARACIÓN
4 a 6	8 o		
5 a mas			
8			
L	L		L Se sellan grietas mayores a 3mm
M	M		M Se Recomienda la demolición y reposición de la misma

H	M	M	H		H Se Recomienda la demolición y reposición de la misma
---	---	---	---	--	--

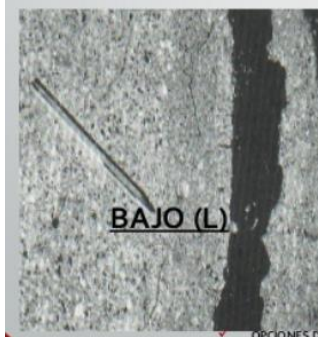
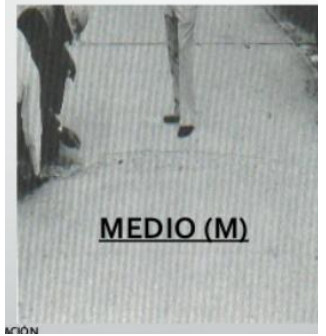
Fuente (Vásquez Varela, 2002), (Vargas, 2014)

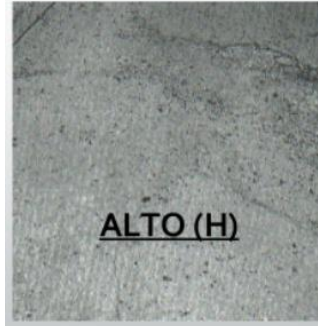
Tabla 4

24. GRIETA DE DURABILIDAD “D”.

24. GRIETA DE DURABILIDAD “D”.

DESCRIPCIÓN: Causadas por la expansión de grandes agregados durante la congelación y descongelación, y con el tiempo, estas grietas agrietarán gradualmente el concreto. Por lo general, este daño se presenta en forma de grietas que son paralelas y cercanas a las juntas o grietas lineales.

NIVELES DE SEVERIDAD	IMAGEN	OPCIONES DE REPARACIÓN
L Menores al 15 % del área de la losa		L Se obvia
M <ol style="list-style-type: none"> Menores al 15% pero presenta desprendimiento Mayores al 15% pero no presenta desprendimiento 		M Reconstruir juntas y parchar a profundidad

H	Su área es superior al 15% del total, y presentas desprendimientos y rupturas		H	Parchar o reconstruir losa
----------	---	--	----------	----------------------------

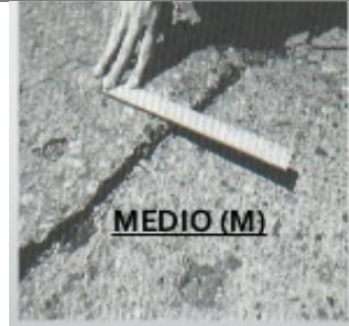
Fuente (Vásquez Varela, 2002), (Vargas, 2014)

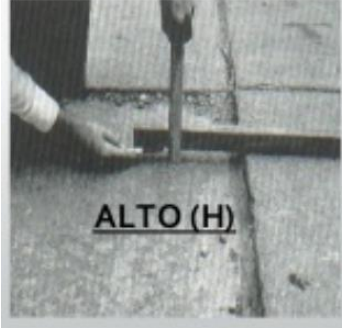
Tabla 5 25. ESCALA.

25. ESCALA.

DESCRIPCIÓN:

Diferencia de alturas en el nivel de la losa

NIVEL DE SEVERIDAD	DIFERENCIA DE ELEVACIÓN	IMAGEN	OPCIONES DE REPARACIÓN
L	3 a 10 mm.		L No se hace nada. Fresado
M	10 a 19 mm.		M Fresado

H	> 19 mm.	 <u>ALTO (H)</u>	Fresado
----------	----------	--	---------

Fuente (Vásquez Varela, 2002), (Vargas, 2014)

Tabla 6 26. DAÑO DEL SELLO DE LA JUNTA.

26. DAÑO DEL SELLO DE LA JUNTA.

DESCRIPCIÓN: El suelo o las rocas se acumularán en las juntas o permitirán que se filtren grandes cantidades de agua. La acumulación de materiales incompresibles evitará que la losa se expanda y puede hacer que los bordes de la junta se astillen, se levanten o se despeguen.

MEDIDA: Se evalúa en función del estado general del sellador en toda el área.

NIVELES DE SEVERIDAD	IMAGEN	OPCIONES DE REPACION
L Daño menor con presencia del sellante en la sección de la losa.		L No se hace nada.
M Deficiente estado del sellante y daño moderado en toda la sección		M Volver a colocar las juntas.
H Daños graves		H Volver a colocar las juntas.

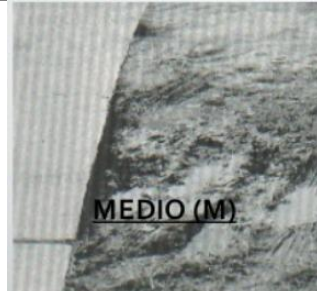
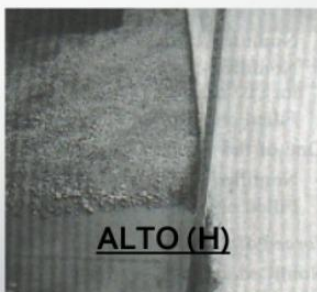
Fuente (Vásquez Varela, 2002), (Vargas, 2014)

Tabla 7 27. DESNIVEL CARRIL / BERMA.

27. DESNIVEL CARRIL / BERMA.

DESCRIPCIÓN: El gradiente de carril / rampa es la resta entre el asentamiento o erosión de la berma y el borde de la acera.

MEDIDA: Promedio del nivel máximo y mínimo en la losa

NIVELES DE SEVERIDAD	IMAGEN	OPCIONES DE REPACION
L 25.0 mm a 51.0 mm		L Nivelación de vía
M 51.0 mm a 102.0 mm.		M Nivelación de vía
H >102.0 mm.		H Nivelación de vía

Fuente (Vásquez Varela, 2002), (Vargas, 2014)

Tabla 8 31. PULIMENTO DE AGREGADOS.

31. PULIMENTO DE AGREGADOS.

DESCRIPCIÓN: Es causado por la aplicación repetida de tráfico. Cuando los agregados en la superficie se vuelven blandos, el agarre del neumático se reducirá en gran medida. Cuando la parte del agregado que se desarrolla sobre la superficie es pequeña, la textura de la superficie de la vía no reducirá la velocidad del vehículo.

MEDIDA: Si la losa presenta agregado pulido

NIVELES DE SEVERIDAD	OPCIONES DE REPACION
No presenta	Realizar el Ranurado superficial
IMAGEN	
	 

Fuente (Vásquez Varela, 2002), (Vargas, 2014)

Tabla 9 32. POPOUTS.

32. POPOUTS.

DESCRIPCIÓN:

Es un pequeño trozo de acera que separa del pavimento. Esto puede deberse a partículas blandas o astillas de madera que se rompen y desgastan en el tráfico.

NIVELES DE SEVERIDAD	OPCIONES DE REPACION
No presenta niveles	Se desprecia

IMAGEN



Fuente (Vásquez Varela, 2002), (Vargas, 2014)

Tabla 10 33. BOMBEO.

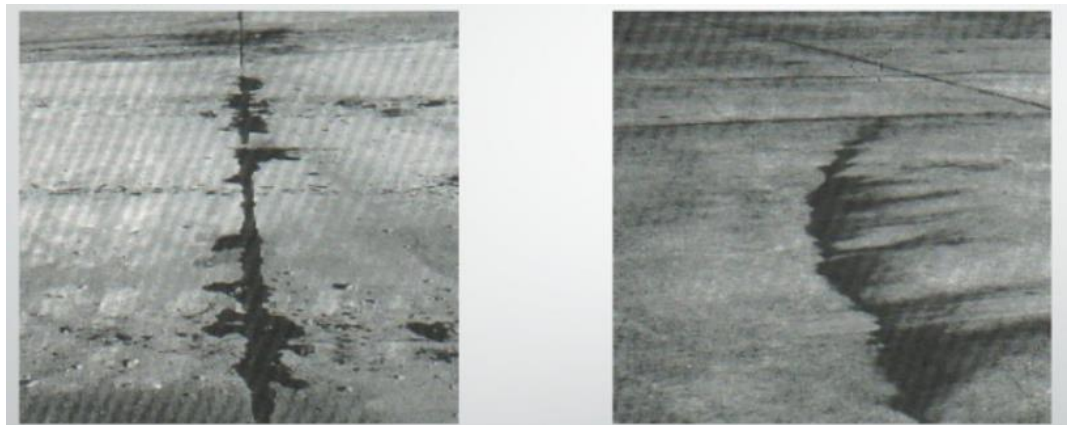
33. BOMBEO.

DESCRIPCIÓN: Se refiere a la descarga de material de la cimentación de la losa a través de juntas o grietas. Esto se debe a la deflexión de la losa debido a la carga.

MEDIDA: Como ocurre entre 2 losas se contabiliza como 2 losas.

NIVELES DE SEVERIDAD	OPCIONES DE REPARACIÓN
Es suficiente indicar la existencia.	Volver a llenar juntas

IMAGEN



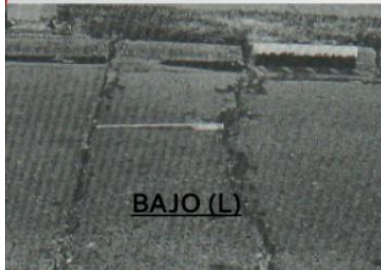
Fuente (Vásquez Varela, 2002), (Vargas, 2014)

Tabla 11 34. PUNZONAMIENTO.

34. PUNZONAMIENTO.

DESCRIPCIÓN: Es un área parcial de la losa que se rompe en piezas. Puede tomar muchas formas diferentes, pero generalmente se define por una grieta y uno o dos huecos muy pequeños (generalmente a 1,52 m de distancia). Producto de la repetición de cargas pesadas

MEDIDA: Se contabiliza el que presente mayor severidad en caso existan 2

NIVELES DE SEVERIDAD	Nº DE PEDAZOS			IMAGEN	OPCIONES DE REPARACIÓN
	2 a 3	4 a 5	Más de 5		
L	L	L	M		L Llenado de grietas
M	M	L	H		M Parchar.
H	H	M	H		H Parchar

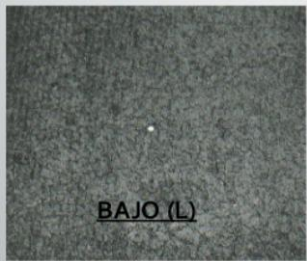
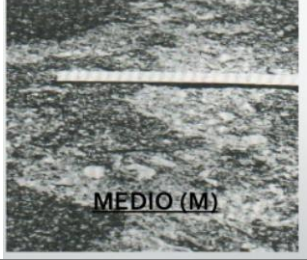
Fuente (Vásquez Varela, 2002), (Vargas, 2014)

Tabla 12 36. DESCONCHAMIENTO, MAPA DE GRIETAS, CRAQUELADO.

36. DESCONCHAMIENTO, MAPA DE GRIETAS, CRAQUELADO.

DESCRIPCIÓN: Se refiere a una red de grietas pequeñas o capilares que solo se extienden sobre la superficie del hormigón. Es producto de la baja calidad de agregados y un proceso constructivo deficiente

MEDIDA: Se contabiliza como 1

NIVELES DE SEVERIDAD	IMAGEN	OPCIONES DE REPACION
L El descamado es bajo		L Se obvia
M Descamado menor al 15% de la superficie de la losa		M Reconstruir losa.
H Descamado mayor al 15% de la superficie		H Reconstruir losa

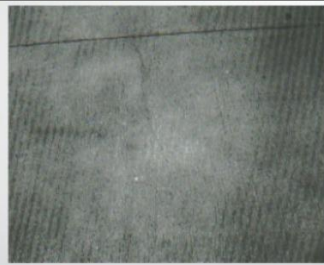
Fuente (Vásquez Varela, 2002), (Vargas, 2014)

Tabla 13 37. GRIETAS DE RETRACCIÓN.

37. GRIETAS DE RETRACCIÓN.

DESCRIPCIÓN: Son grietas capilares, generalmente cortas, y no se extienden por toda la longitud de la losa. Se forman en el proceso de fraguado y curado del hormigón y, por lo general, no se extienden por todo el espesor de la losa.

MEDIDA: Se cuenta como una, así existan 2 grietas en la misma losa

NIVELES DE SEVERIDAD	OPCIONES DE REPACION
No existe niveles	Se obvia
IMAGEN	
	

Fuente (Vásquez Varela, 2002), (Vargas, 2014)

Tabla 14 38. DESCASCARAMIENTO DE ESQUINA

38. DESCASCARAMIENTO DE ESQUINA

DESCRIPCIÓN: La losa se rompe a unos 0,6 m de la esquina.

MEDIDA: Se cuenta como 1 así existan más de 1, se considera la de mayor incidencia

NIVELES DE SEVERIDAD	Dimensiones de los lados del descascaramiento	IMAGEN	OPCIONES DE
----------------------	---	--------	-------------

Profundidad del descascaramiento	127x127m m 305x305m m	Mayor que 305x305m m	REPARACIÓN
Menor de 25 mm	L	L	L No se hace nada.
>25 a 51 mm	L	M	M Parcheo parcial.
> 51 mm	M	H	H Parcheo parcial

BAJO (L)

MEDIO (M)

ALTO (H)

Fuente (Vásquez Varela, 2002), (Vargas, 2014)

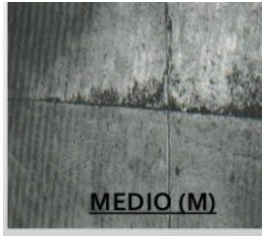
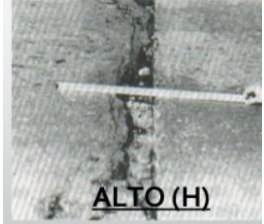
Tabla 15 39. DESCASCARAMIENTO DE JUNTA.

39. DESCASCARAMIENTO DE JUNTA.

DESCRIPCIÓN: Esta es la fractura en el borde de la junta de la losa a 0,60 m. Por lo general, no se desarrolla perpendicular a la losa, sino que se cruza en ángulo con la junta

MEDIDA: Se contabiliza como 1 si está presente en una losa, en caso esta se expanda a la losa adyacente se contabiliza como 2

NIVELES DE SEVERIDAD	IMAGEN	OPCIONES DE
Ancho del descascaramiento (mm)	Longitud del descascaramiento (mm)	

Fragmentos del descascaramie nto	<0.6m		>0.6m		REPARACI ÓN
	<102	>102	L	L	
No se remueven fácil y son Duros					
	<102	>102	L	L	
Sueltos, pueden removerse y algunos fragmentos pueden faltar. Si la mayoría o todos los fragmentos faltan, el descascarami ento es superficial, menos de 25mm.	<102	>102	L	M	
	<102	>102	L	M	
No existen la mayoría de los fragmentos pues estos se han removido	<102	>102	L	M	
	<102	>102	M	H	

Fuente (Vásquez Varela, 2002), (Vargas, 2014)

III. METODOLOGÍA

3.1. TIPO Y DISEÑO DE INVESTIGACIÓN

Para poder hablar de la metodología del presente trabajo de investigación, primero se debe saber que el método científico de acuerdo con Hernández, Fernández & Baptista (2014) se encarga de aclarar las conexiones entre variables que influyen en el fenómeno que se encuentra en estudio, también prevé la parte metodológica con el fin de que se cumpla la con la confiabilidad y validez de los resultados de la investigación (p. 101).

Los mismos autores también explican “Que en los diseños no experimentales no es necesario manipular variables deliberadamente. En otras palabras, en estos estudios, no cambiamos adrede la variable independiente para ver su impacto en otras variables.” (p. 152). En este proyecto de investigación se contará con una variable independiente (RESISTENCIA A LA COMPRESIÓN DEL PAVIMENTO RÍGIDO MEDIANTE EL USO DEL ESCLERÓMETRO) que causará efecto en la variable dependiente (GRADO DE CONSERVACIÓN DEL PAVIMENTO RÍGIDO), es por este motivo que se utilizará el **Método Científico** y la investigación tendrá un diseño **no experimental**.

Para el enfoque de investigación, Hernández (2016) explica que el enfoque Mixto es una combinación de los métodos Cualitativos y Cuantitativos pues implica la recolección y el análisis de datos así como su integración y las discusiones conjuntas (p.544). Por ende, el **enfoque** de esta investigación será **Mixto**, ya que se analizarán las resistencias del pavimento paño a paño para posteriormente caracterizarlas y evaluar el grado de conservación del mismo.

Según Lozada (2014) la investigación aplicada se muestra como un aporte a la sociedad por el uso del conocimiento que proviene de la investigación básica, relacionando la teoría y el producto para dar beneficio a una población o un país (p. 35). Por esta razón, este trabajo de **investigación** se denominará de **tipo aplicada** por que buscará dar soluciones a los problemas reales e identificables.

El **nivel** de investigación será de **tipo Explicativa** porque se aplicará las teorías de análisis a la resistencia del concreto y de esta manera explicar el porqué de su grado de conservación.

Para determinar la F'c del pavimento se empleará el ensayo no destructivo de esclerometría y para determinar el grado de conservación de pavimento se utilizará el método PCI.

Variables y Operacionalización

Según Hernández, Fernández & Baptista (2014) , una variable se define como construcciones hipotéticas que pueden ser observables o medibles y que a medida se desarrolla logra un valor importante en la investigación científica.

Entonces, las variables en este proyecto de investigación son las siguientes:

Variable Independiente (X): RESISTENCIA A LA COMPRESIÓN DEL PAVIMENTO RÍGIDO MEDIANTE EL USO DEL ESCLERÓMETRO.

Variable Dependiente (Y): GRADO DE CONSERVACIÓN DEL PAVIMENTO RÍGIDO

3.2. POBLACIÓN, MUESTRA Y MUESTREO

La población según Danel (2015) es “La colección de todos los individuos (personas, grupos o eventos) a los que se desea estudiar un fenómeno.” (p. 19). En este trabajo de investigación la población es considerada de tipo finito ya que la vía de pavimento rígido donde se realizarán los estudios cuenta de un número determinado de paños, nuestra población viene a ser los pavimentos rígidos que se encuentran en el distrito de Wanchaq, departamento de Cusco.

La muestra según Gomes Arias, Villasis Keever, & Miranda Novales (2016) Forma parte de la población del área de estudio (porción), el cual se escoge teniendo principalmente como prioridad las características que distinguen a la población de la que fue tomada (p. 202). En este presente

trabajo se seleccionó 60 m de la primera cuadra de la Av. Gordon Magne del distrito de Wanchaq-Cusco.

El muestreo según Lerma (1998) tiene como finalidad seleccionar algunos elementos de la población y a partir de estos estimar con cierta probabilidad los datos poblacionales (p. 73). Para la presente investigación se han empleado dos técnicas de selección de muestras, primero para la elección de la calle en la cual se llevó a cabo los estudios se ha apelado a una técnica de muestreo por conveniencia. Para la determinación del F'c del área seleccionada se ha empleado un muestreo sistemático en cuadrícula.

En esta parte se vio por conveniente realizar 3 tipos de muestreos para determinar el F'c del pavimento, de esta manera tener la opción de elegir entre las 3 alternativas y seleccionar la que mejor se acomode al planteamiento de la tesis, a continuación, se detallara el número de prospecciones según el tipo de cuadriculas en un paño de 3mx3m:

- Cuadricula 1: La presente cuadricula consta de 9 prospecciones por paño.
- Cuadricula 2: La presente cuadricula consta de 36 prospecciones por paño.
- Cuadricula 3: La presente cuadricula consta de 100 prospecciones por paño.

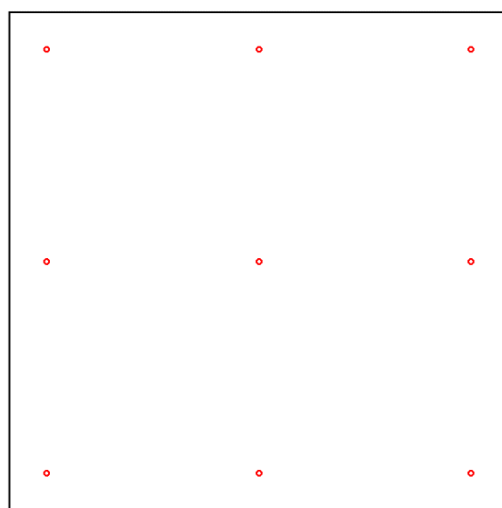


Figura 11 Cuadricula 1

Fuente: Elaboración propia

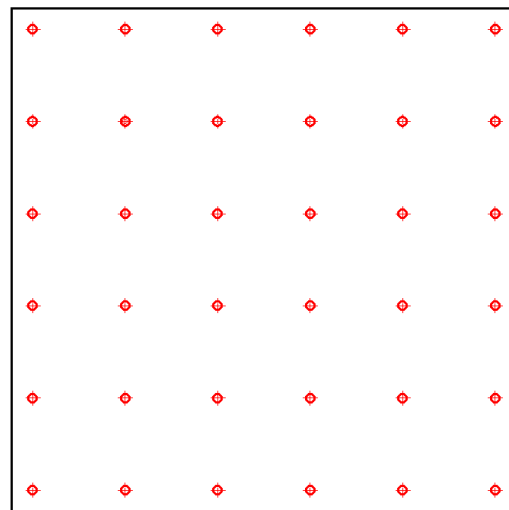


Figura 12 Cuadricula 2

Fuente: Elaboración propia

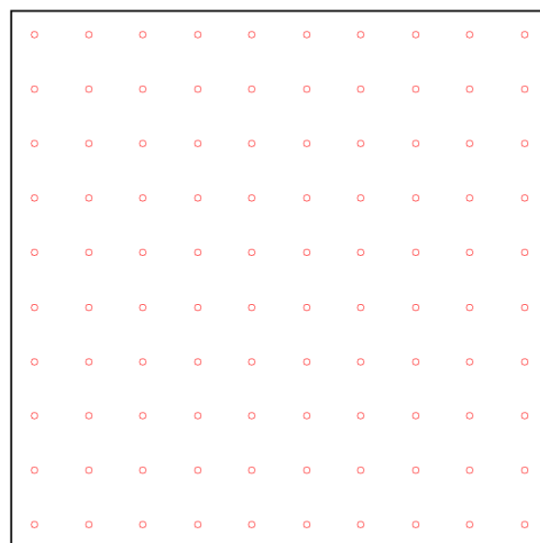


Figura 13 Cuadricula 3

Fuente: Elaboración propia

3.3. TÉCNICAS E INSTRUMENTOS DE RECOLECCIÓN DE DATOS

Según Arias (2016) “Son diversas las maneras de conseguir la información, añade también que los instrumentos son medios que se aplican para recolectar y guardar información”. (p. 67)

En esta investigación se realizó la técnica por observación estructurada, para realizar la recolección de datos de los diferentes puntos de la vía.

El instrumento de recolección de datos explicado por Arias (2016), es el medio o formato donde será recopilado la información obtenida para que pueda ser estudiada y analizada por el investigador (p. 68).

Entonces, en este proyecto de investigación para el análisis PCI se utilizó como instrumento formatos impresos y en los ensayos de esclerometría se empleó un formulario digital el cual se desarrolló en Google y facilitó el procesamiento de datos.

La validez de los instrumentos según Balestrini (1997) plantea que es oportuno someter a prueba el instrumento y el método de recolección de datos, con el objetivo de validarlos (p.140)

En esta ocasión, la validez de los instrumentos que se utilizarán se basará primero en la evidencia fotográfica de la selección de paños y la estructuración de la misma, posteriormente se utilizará el esclerómetro.

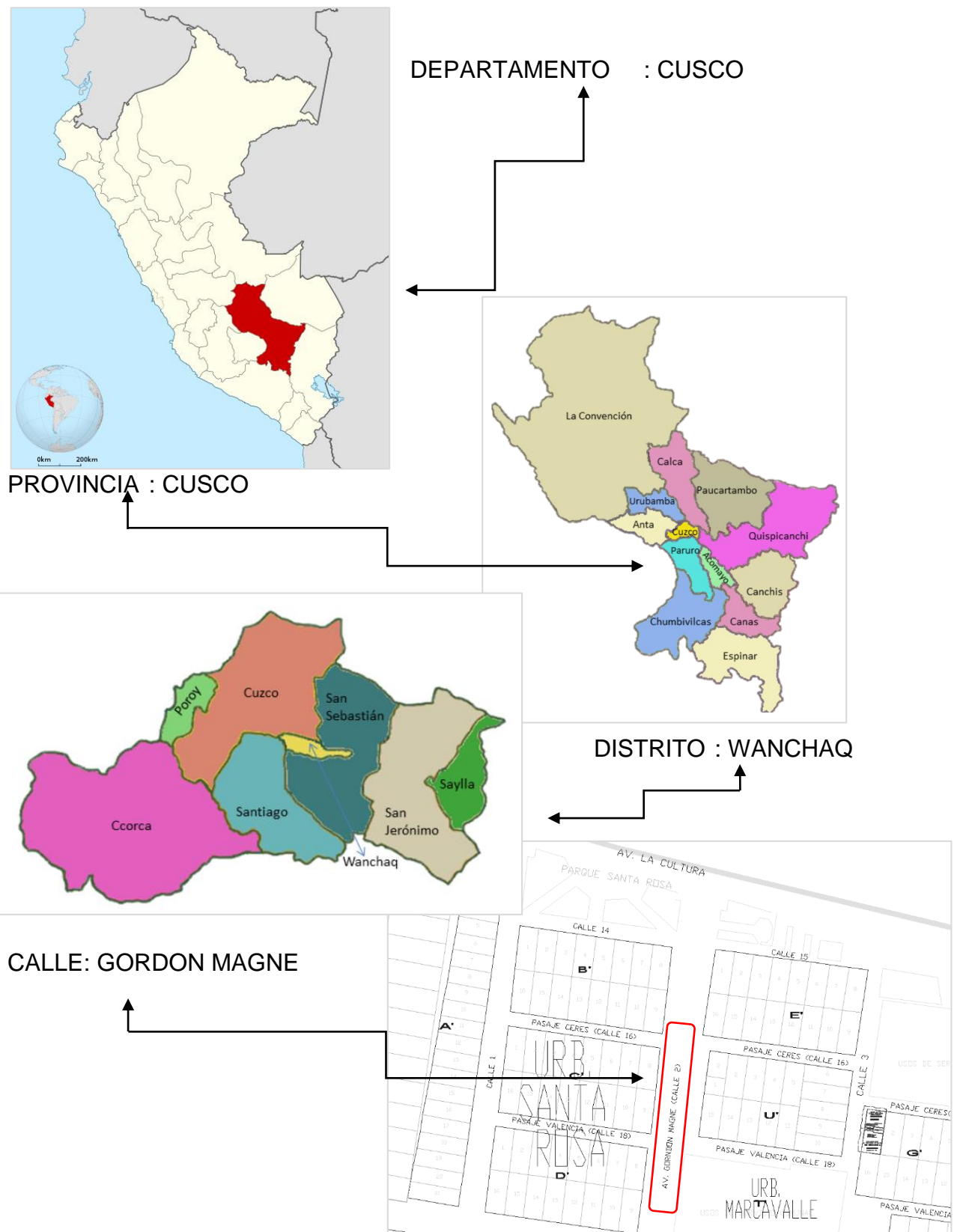
Hernández, Fernández & Baptista (2014) también manifiestan acerca de la confiabilidad donde se le define como el valor que al emplearse en un instrumento causa que los resultados sean moderados y razonables (p.20).

La confiabilidad de medición se establecerá en la certificación de calibración del esclerómetro el cual es emitido por el fabricante.

3.4. PROCEDIMIENTOS

DATOS GENERALES

UBICACIÓN DEL PAVIMENTO RÍGIDO



TIPO DE VÍA: PAVIMENTO RÍGIDO



RESISTENCIA A LA COMPRESIÓN SEGÚN EXPEDIENTE TÉCNICO: $f'_c=280 \text{ kg/cm}^2$

MÉTODO DE ANÁLISIS Y PROCESAMIENTO DE DATOS.

Programas utilizados para procesar y recolectar la información obtenida:

- Minitab



- AutoCAD Civil3d



- Exel 2010



-Google formulario



DETERMINACIÓN DE LA RESISTENCIA A LA COMPRESIÓN DEL PAVIMENTO RÍGIDO MEDIANTE LA PRUEBA DE ESCLERÓMETRO EN LA AV. GORDON MAGNE DEL DISTRITO DE WANCHAQ - CUSCO-2020

La presente tesis busca determinar la resistencia a la compresión de vía Gordon Magne del distrito de Wanchaq utilizando el esclerómetro, para ello se realizó el siguiente procedimiento:

1. Se seleccionó la Av. Gordon Magne, se observó que es más transitada que las vías aledañas.
2. Según la norma **ASTM C805 (Standard Test Method for Rebound Number of Hardened Concrete)**, el número mínimo de prospecciones a realizar es de 9 por cada elemento estructural, se planteó realizar 9, 36 y 100 prospecciones por cada paño, pretendemos que con más prospecciones tendremos valores más confiables y precisos, nos ayudaran a interpretar de una mejor manera los resultados.

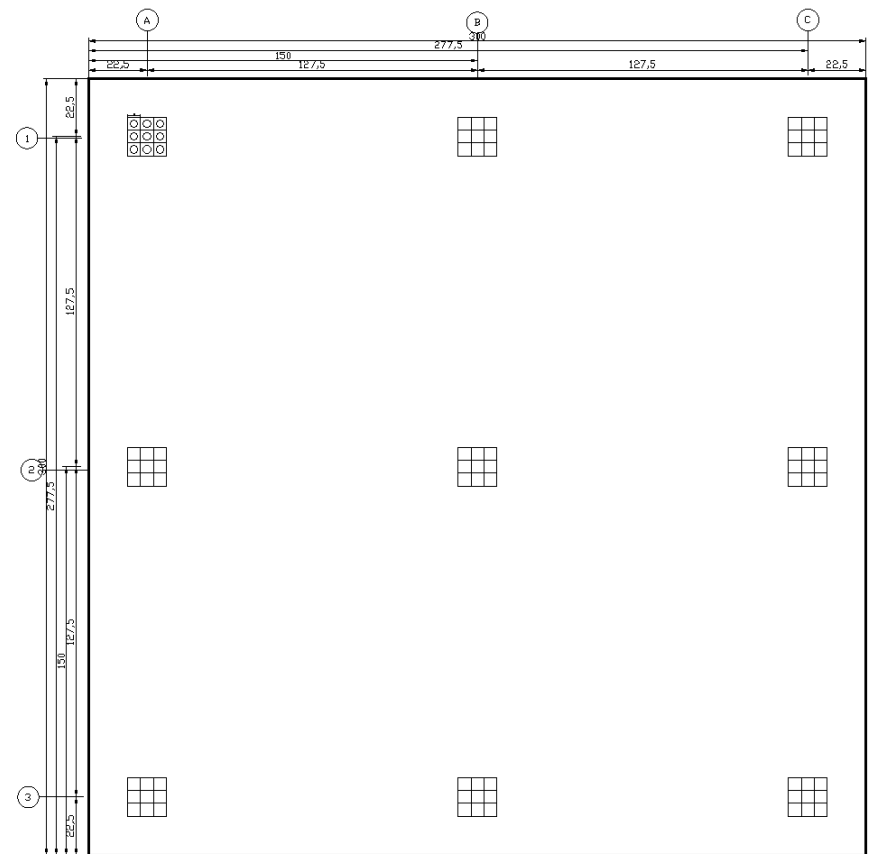


Figura 14 Prospecciones malla 01

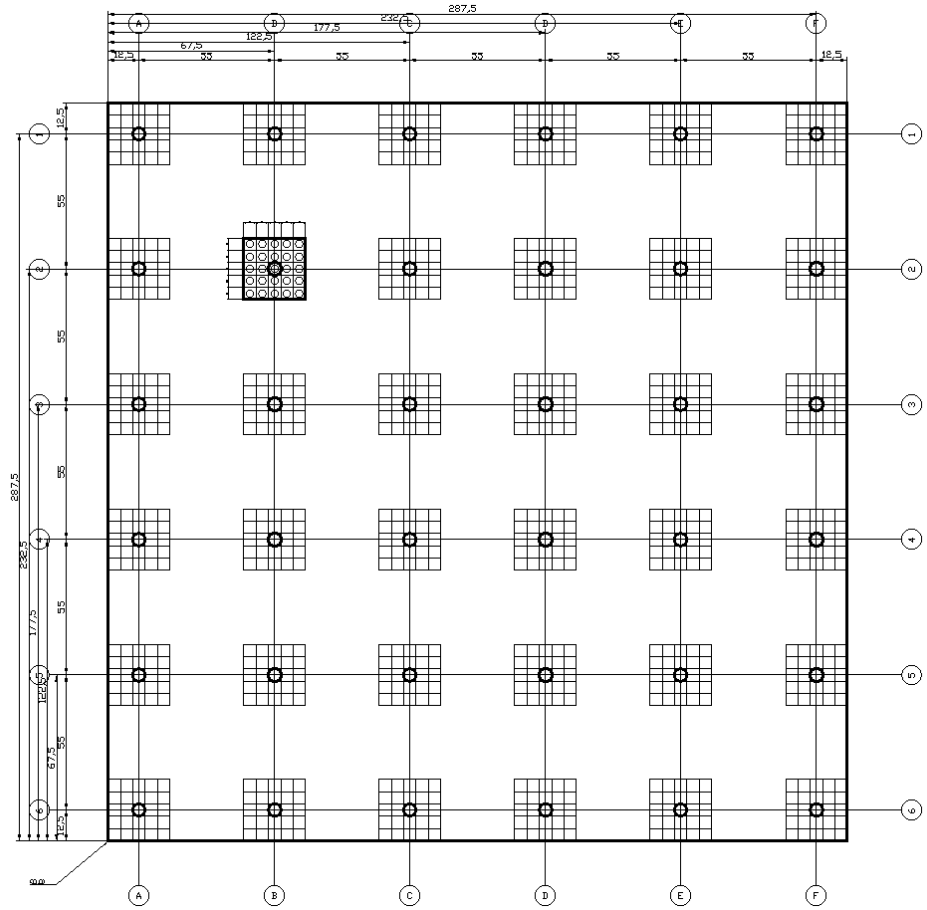


Figura 15 Prospecciones malla02

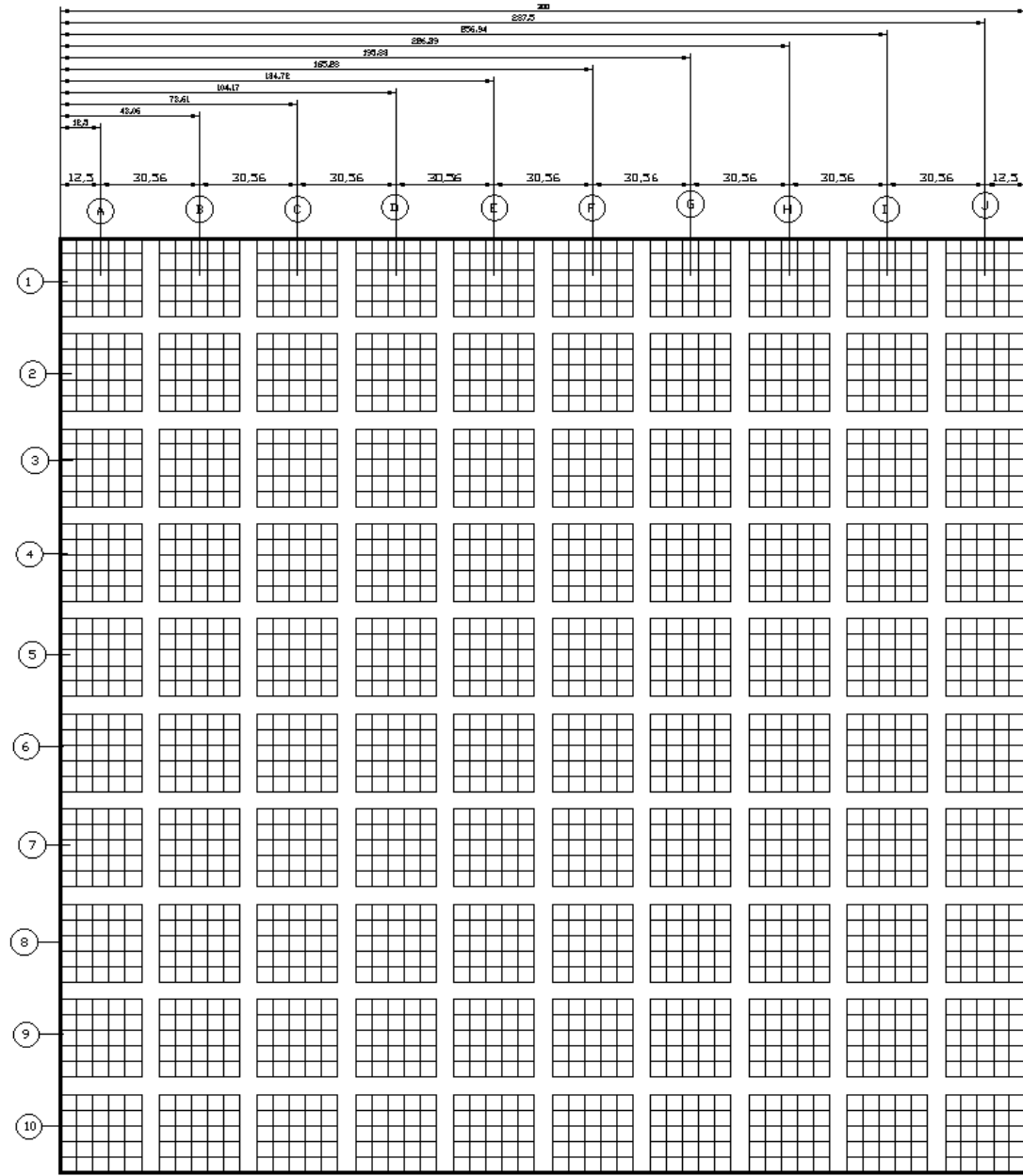


Figura 16 Prospecciones malla03

3. Cada prospección consta de 9 puntos disparados con esclerómetro, los cuales son validados por el operador, estos no deben de tener mucha variabilidad con respecto a los puntos analizados también se realizó una plantilla impresa en donde se tuvo en cuenta el espaciamiento mínimo de punto a punto de 1'.

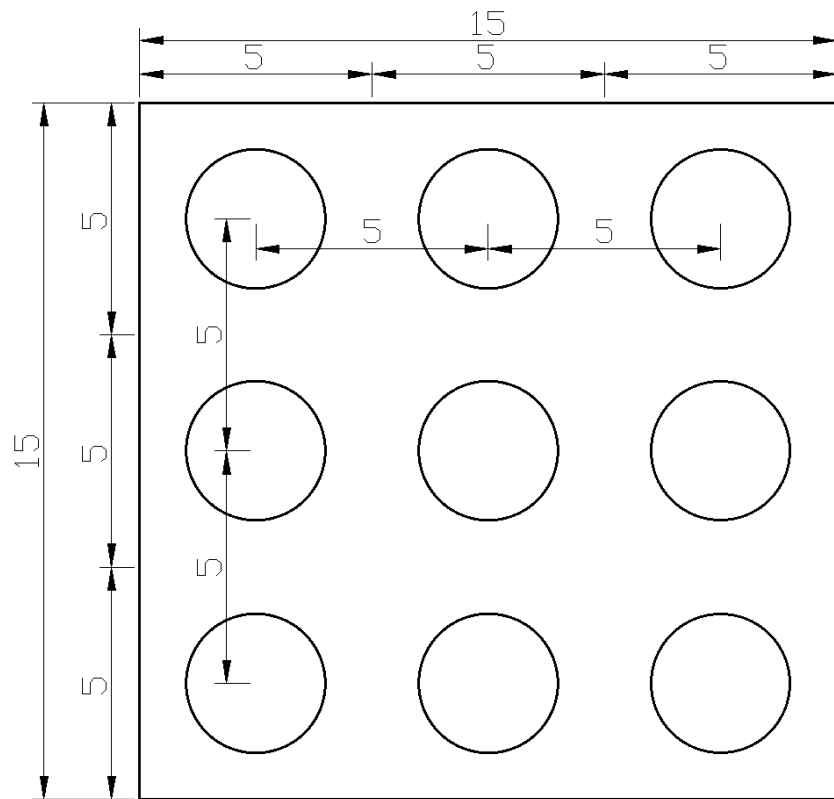


Figura 17 Plantilla para espaciamiento

4. Para la recolección de datos haciendo uso de las tecnologías innovadoras teniendo en consideración lo normado, se realizó un formulario de google el cual automáticamente subía los valores prospectados a la nube y de esta manera se podría tener acceso a ellas en cualquier parte del mundo y a la hora que uno desee, no obstante, también se desarrolló una ficha de recolección de datos para ser impresa y llevadas a campo, por si habría algún inconveniente técnico con el internet.

The screenshot shows a Google Form titled "Formulario sin título". At the top, there are tabs for "PREGUNTAS" and "RESPUESTAS". Below the title, there is a section for "Descripción del formulario". A question card is displayed with the title "Pregunta sin título" and the type "Selección múltiple". It contains one option labeled "Opción 1" and a link to "Añadir opción o AÑADIR RESPUESTA 'OTRO'". On the right side, there is a sidebar with various icons and a red box highlighting the "Añadir pregunta" button.

Figura 18 Formulario google

5. Con la ayuda de AutoCAD se realizó un plano general de los primeros 60 m de la vía Gordon Magne, donde se dibujó la cuadricula 01 ubicando de esta manera cada uno de los puntos a prospectar.

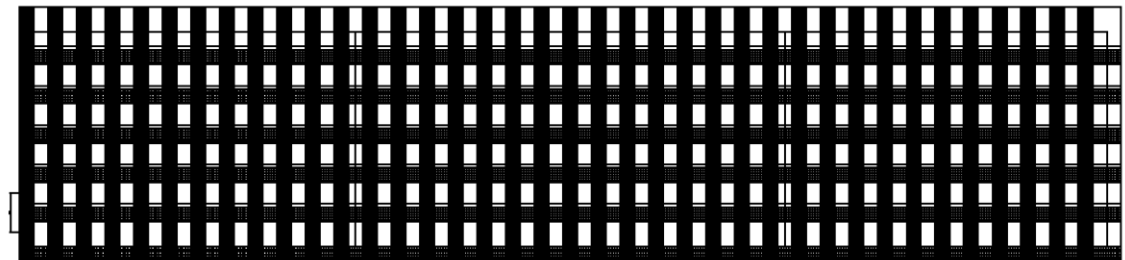


Figura 19 Cuadricula de puntos a prospectar

6. Una vez realizada la planificación se fue a campo a realizar el trazo de las cuadriculas, con la ayuda de una cinta métrica se ubicó cada uno de los ejes tanto en X como en Y



Figura 20 Trazo de cuadriculas

7. En cada una de las intersecciones de los ejes X, Y se realizan las prospecciones, para diferenciar el tipo de malla se hizo la demarcación con una simbología que permita identificar de manera rápida el punto de prospección.

$+$ = 9 prospecciones por paño

\odot = 36 prospecciones por paño

Δ = 100 prospecciones por paño



Figura 21 Demarcación de simbología para las mallas 01,02 y 03

8. Una vez ubicadas todas las cuadriculas y puntos de prospección, se procede a realizar los ensayos con el esclerómetro, en esta etapa se hizo la identificación de las columnas y filas, asignando a las filas una numeración respectivamente, en el caso de las columnas se les asigno letras del abecedario como se muestra en la imagen

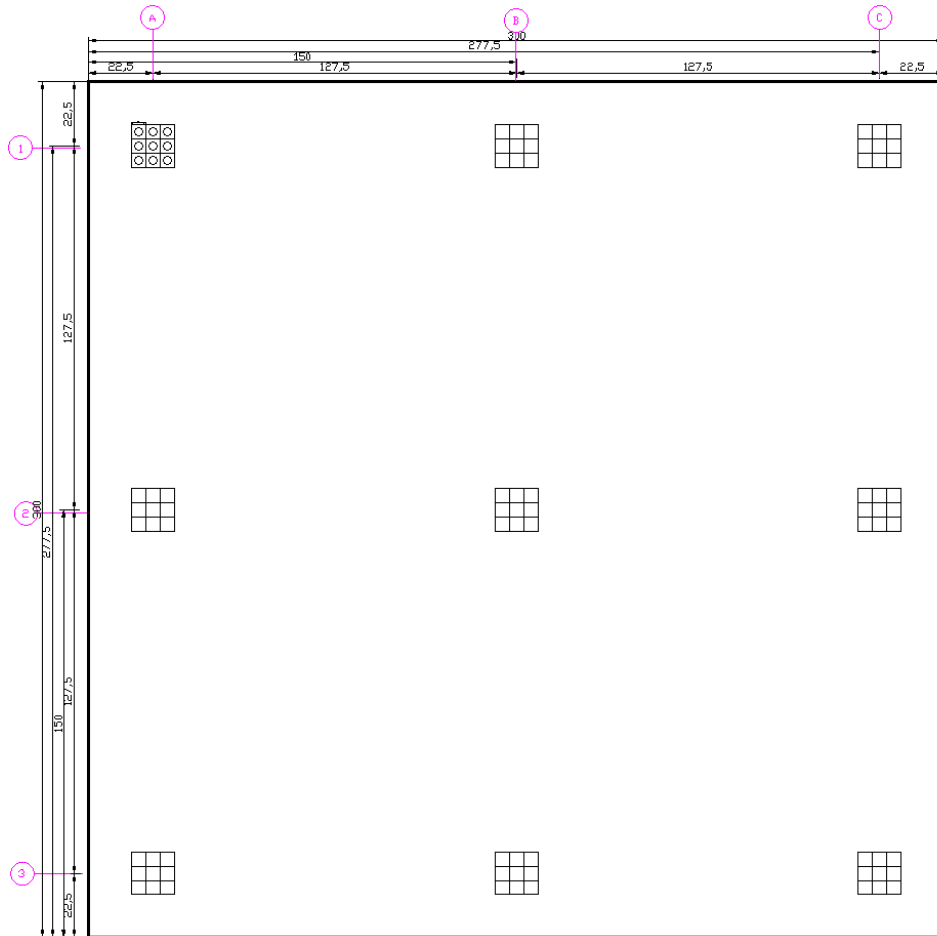


Figura 22 Identificación de filas y columnas

9. Procedimiento del ensayo con el esclerómetro

9.1. Consideraciones de la norma ASTM C805

- El área de análisis deberá ser superior a los 15cm de diámetro
- Las losas a ser analizadas deberán ser analizadas por la parte interior para evitar superficies terminadas, esto quiere decir que no se debe analizar superficies con recubrimiento.
- Preparar el lugar de análisis con la piedra pómez también conocida como piedra abrasiva, con el objetivo de igualar la superficie
- Eliminar el agua superficial o libre que pueda existir en el lugar

- Se tiene que tener en consideración que todo el estudio debe ser realizado con un solo equipo de esclerómetro, esto significa que no se debe de cambiar de equipo hasta terminar el estudio.
- 9.2. Limpiamos el área de estudio con la piedra pómex con el objetivo de pulir todas las asperezas que puedan alterar los resultados, como las imperfecciones en el pavimento.



Figura 23 Pulimiento de imperfecciones

- 9.3. Se mide la temperatura y la humedad relativa del lugar, en este punto se hace uso de un sensor de temperatura y humedad portátil
- 9.4. Ya identificado los puntos y el orden a prospectar se colocó la plantilla impresa de prospección.
- 9.5. Se coloca el esclerómetro en 90° con la horizontal y se procede a presionar el aparato contra el pavimento, inmediatamente el instrumento golpeará y dará revotes contra el pavimento, como es un instrumento análogo se deberá presionar el botón para que el valor de índice de rebote no se altere sin antes anotarlo.



Figura 24 Disparo con el esclerómetro

9.6. Ya obtenido el valor índice de rebote del punto se procede a guardarlo en nuestro formulario digital de Google, de esta manera pasar al siguiente punto de prospección.

10. Para la etapa de análisis de gabinete

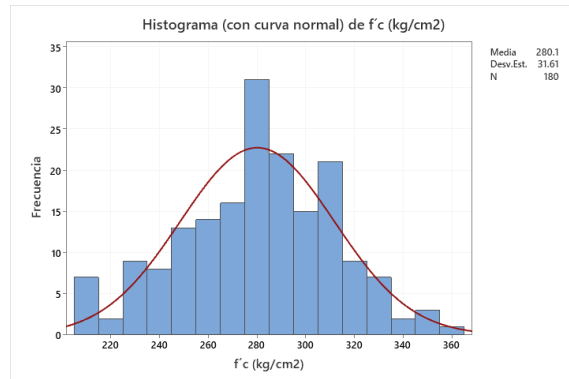
- Obtenido todos los puntos prospectados se tiene un total de
 $+ = 9$ prospecciones por paño $= 180$ prospecciones en total
 $\ominus = 36$ prospecciones por paño $= 720$ prospecciones en total
 $\Delta = 100$ prospecciones por paño $= 2000$ prospecciones en total
- Cada una de estas prospecciones tiene una nomenclatura diferente de acuerdo al paño que se estudió ejemplo: PAÑO 1: COLUMNA A: FILA 1, PAÑO 4: COLUMNA I: FILA 8.
- Cada prospección consta de 9 golpes de esclerómetro por lo que se pasara a la etapa estadística, para sacar la media representativa de estos 9 valores y de esta manera de poder correlacionar el índice de rebote con la resistencia a la compresión de este punto, con la siguiente formula de correlación:

$$F'c = -82.280061115355 + 14.5717341482047 * R \quad (\text{Ec. 4})$$

- Los datos obtenidos de las mallas 01, 02 y 03 fueron analizados en el programa Minitab, obteniendo los siguientes resultados:

a. Estadísticos Descriptivos Malla N°1

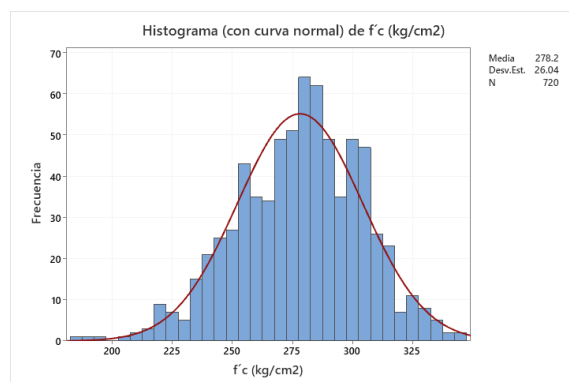
Variab le	Conte o total	N	Medi a	Error estánd ar de la media	Desv.Es t.	CoefVar	Mínim o	Median a	Variab le	Máxim o
f'c (kg/cm 2)	180	18 0	280.1 5	2.36	31.61	11.28	207.9 2	280.78	f'c (kg/cm 2)	364.97



De la siguiente grafica se puede observar que la mayor cantidad de puntos tiene una $F'c$ de 280 kg/cm^2

b. Estadísticos Descriptivos Malla N°2

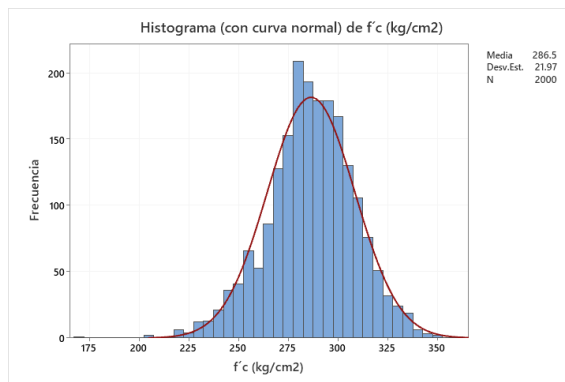
Variable	Conteo total	N	Media	Error estándar de la media	Desv.Est.	CoefVar	Mínimo	Mediana	Variab le	Máximo
f'c (kg/cm ²)	720	720	278.19	0.971	26.04	9.36	186.87	280.78	f'c (kg/cm ²)	345.54



De la siguiente grafica se puede observar que la mayor densidad de puntos tiene una $F'c$ de 278 kg/cm^2

c. Estadísticos Descriptivos Malla N°3

Variable	Conteo total	N	Media	estándar de la media	Error					
					Desv.Est.	CoefVar	Mínimo	Mediana	Variable	Máximo
f'c (kg/cm ²)	2000	2000	286.46	0.491	21.97	7.67	169.06	287.25	f'c (kg/cm ²)	361.73



De la siguiente grafica se puede observar que la Malla N°3 tiene un F'c promedio de 286 kg/cm²

- Obtenidas la F'c por punto, se pasarán a una hoja Excel, donde se especificará la posición en X, Y y la resistencia a la compresión
- El archivo Excel con todos los valores será exportado a una plantilla de Civil3D para graficar las resistencias con la metodología de curvas de nivel haciendo uso de una gráfica de calor, para poder analizarlas de mejor manera.
- Para que el civil 3D reconozca nuestros datos estos tienen que ser ordenados de la siguiente manera:
En la primera columna se tiene que designar el número de punto, la segunda columna será el Este, la tercera columna el Norte, la cuarta columna es el valor del índice de rebote "R" y la quinta columna es el F'c que viene representada como una elevación para efectos de gráfica, según se aprecia en la siguiente tabla.

302	943.06	587.50	29.22	243.54	1302	943.06	287.50	35.11	329.35
303	973.61	587.50	31.11	271.06	1303	973.61	287.50	33.89	311.54
304	1004.17	587.50	32.56	292.11	1304	1004.17	287.50	35.67	337.45
305	1034.32	587.50	31.89	282.40	1305	1034.32	287.50	35.11	329.35
306	1065.28	587.50	31.11	271.06	1306	1065.28	287.50	33.56	306.68
307	1095.83	587.50	30.44	261.35	1307	1095.83	287.50	36.44	348.78
308	1126.39	587.50	32.67	293.73	1308	1126.39	287.50	34.11	314.78
309	1156.94	587.50	31.56	277.54	1309	1156.94	287.50	34.67	322.87
310	1187.50	587.50	29.89	253.25	1310	1187.50	287.50	33.22	301.83
311	912.50	556.94	32.33	288.87	1311	912.50	256.94	33.67	308.30
312	943.06	556.94	31.00	269.44	1312	943.06	256.94	33.11	300.21
313	973.61	556.94	32.22	287.25	1313	973.61	256.94	32.89	296.97
314	1004.17	556.94	31.44	275.92	1314	1004.17	256.94	35.00	327.73
315	1034.32	556.94	32.00	284.02	1315	1034.32	256.94	32.56	292.11
316	1065.28	556.94	33.11	300.21	1316	1065.28	256.94	33.33	303.44
317	1095.83	556.94	31.89	282.40	1317	1095.83	256.94	34.67	322.87
318	1126.39	556.94	32.33	288.87	1318	1126.39	256.94	34.22	316.40
319	1156.94	556.94	32.00	284.02	1319	1156.94	256.94	34.11	314.78
320	1187.50	556.94	32.00	284.02	1320	1187.50	256.94	34.89	326.11
321	912.50	526.39	29.33	245.16	1321	912.50	226.39	34.89	326.11
322	943.06	526.39	32.89	296.97	1322	943.06	226.39	34.11	314.78
323	973.61	526.39	34.44	319.64	1323	973.61	226.39	31.67	279.16
324	1004.17	526.39	33.56	306.68	1324	1004.17	226.39	32.56	292.11
325	1034.32	526.39	32.56	292.11	1325	1034.32	226.39	33.22	301.83
326	1065.28	526.39	34.44	319.64	1326	1065.28	226.39	33.67	308.30
327	1095.83	526.39	33.11	300.21	1327	1095.83	226.39	34.00	313.16
328	1126.39	526.39	33.33	303.44	1328	1126.39	226.39	33.67	308.30
329	1156.94	526.39	32.44	290.49	1329	1156.94	226.39	34.56	321.25
330	1187.50	526.39	33.00	298.59	1330	1187.50	226.39	33.44	305.06
331	912.50	495.83	30.67	264.59	1331	912.50	195.83	32.78	295.35
332	943.06	495.83	32.56	292.11	1332	943.06	195.83	32.67	293.73
333	973.61	495.83	32.33	288.87	1333	973.61	195.83	32.78	295.35
334	1004.17	495.83	33.33	303.44	1334	1004.17	195.83	32.00	284.02
335	1034.32	495.83	31.44	275.92	1335	1034.32	195.83	30.44	261.35
336	1065.28	495.83	32.89	296.97	1336	1065.28	195.83	32.33	288.87
337	1095.83	495.83	32.78	295.35	1337	1095.83	195.83	32.44	290.49
338	1126.39	495.83	32.00	284.02	1338	1126.39	195.83	33.56	306.68
339	1156.94	495.83	32.78	295.35	1339	1156.94	195.83	31.89	282.40
340	1187.50	495.83	31.11	271.06	1340	1187.50	195.83	32.67	293.73
341	912.50	465.28	29.67	250.01	1341	912.50	165.28	33.67	308.30
342	943.06	465.28	29.00	240.30	1342	943.06	165.28	31.33	274.30
343	973.61	465.28	32.44	290.49	1343	973.61	165.28	32.78	295.35
344	1004.17	465.28	31.11	271.06	1344	1004.17	165.28	31.67	279.16
345	1034.32	465.28	30.78	266.21	1345	1034.32	165.28	31.56	277.54
346	1065.28	465.28	30.67	264.59	1346	1065.28	165.28	30.22	258.11
347	1095.83	465.28	29.67	250.01	1347	1095.83	165.28	29.11	241.92
348	1126.39	465.28	32.22	287.25	1348	1126.39	165.28	31.00	269.44
349	1156.94	465.28	31.11	271.06	1349	1156.94	165.28	30.56	262.97
350	1187.50	465.28	29.89	253.25	1350	1187.50	165.28	32.00	284.02
351	912.50	434.32	29.78	251.63	1351	912.50	134.32	31.22	272.68
352	943.06	434.32	31.56	277.54	1352	943.06	134.32	34.67	322.87

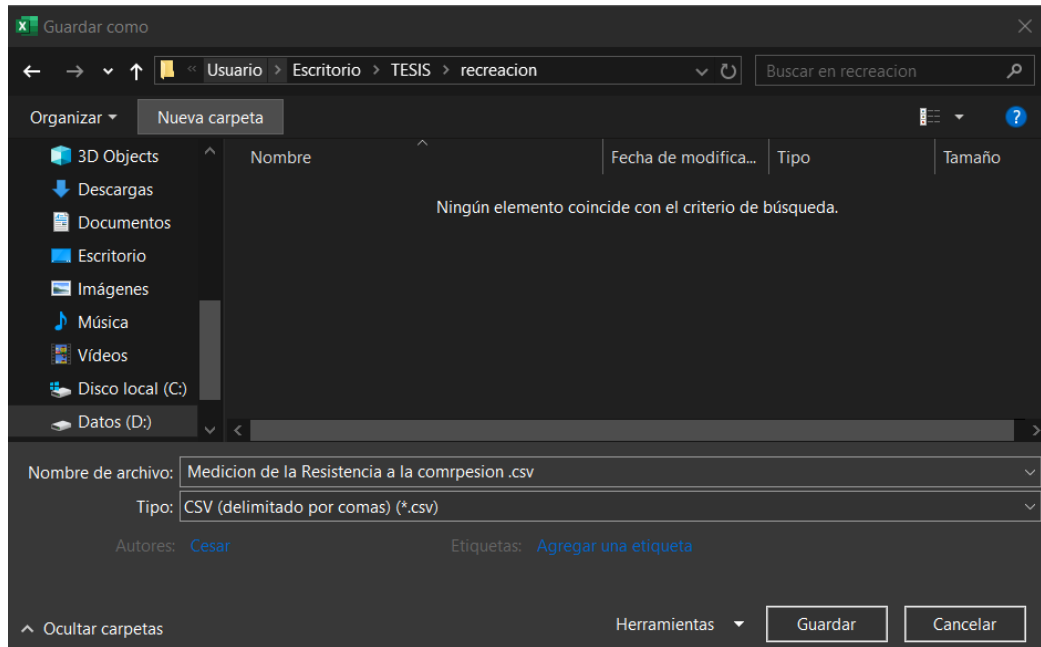


Figura 25 Extensión del archivo para exportación al Civil3D

- Cercioramos que el archivo este delimitado por comas abriendo el documento con un bloc de notas:

```

Archivo Edición Formato Ver Ayuda
1;12.50;587.50;329.35;
2;43.06;587.50;305.06;
3;104.17;587.50;311.54;
4;73.61;587.50;303.44;
5;134.32;587.50;277.54;
6;165.28;587.50;313.16;
7;195.83;587.50;284.02;
8;226.39;587.50;292.11;
9;256.94;587.50;298.59;
10;287.50;587.50;274.30;
11;12.50;556.94;293.73;
12;43.06;556.94;254.87;
13;73.61;556.94;284.02;
14;104.17;556.94;277.54;
15;134.32;556.94;287.25;
16;165.28;556.94;301.83;
17;195.83;556.94;259.73;
18;226.39;556.94;285.63;
19;256.94;556.94;259.73;
20;287.50;556.94;269.44;
21;43.06;526.39;267.82;
22;12.50;526.39;275.92;
23;73.61;526.39;275.92;
24;104.17;526.39;277.54;

```

Figura 26 Verificación de puntos delimitados por coma

- Podemos apreciar que está delimitado por ";" pero esto no reconoce el Civil3d, por lo que se deberá reemplazar el ";" por "," como se aprecia en la imagen:

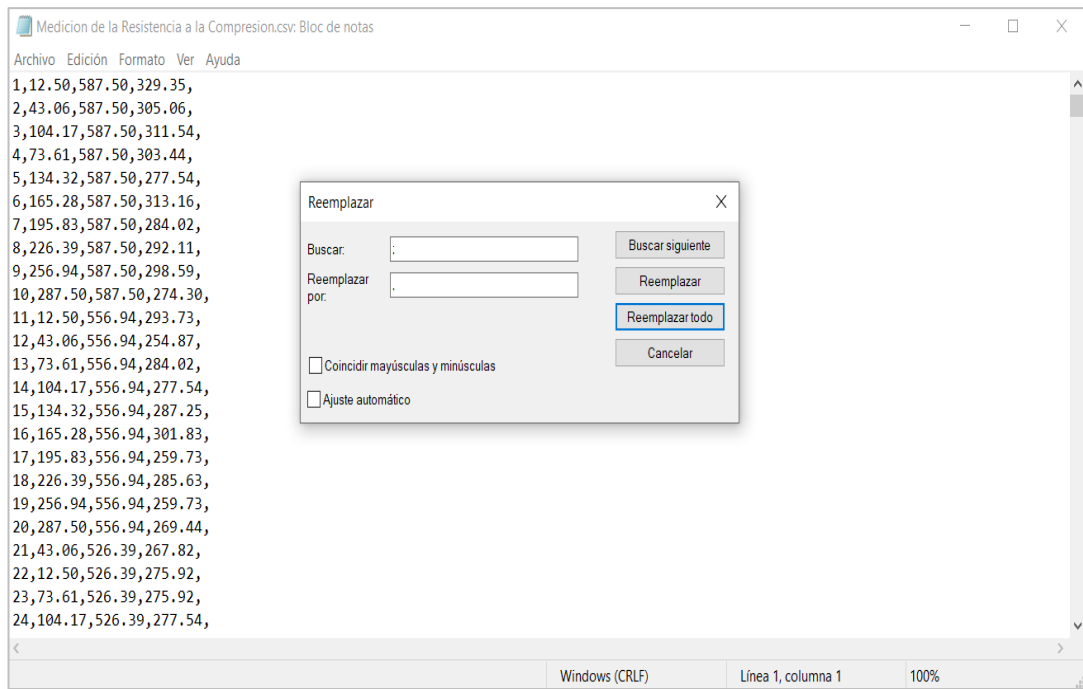


Figura 27 Puntos delimitados por coma

- Abrimos el programa Civil3d y creamos el grupo de puntos.

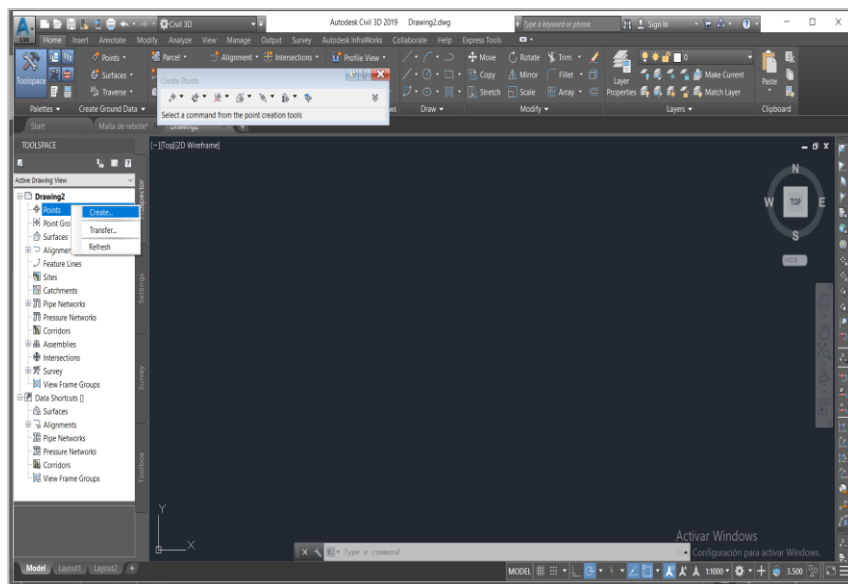


Figura 28 Importación de los puntos al Civil3D

- Añadimos y direccionamos el archivo CSV, seleccionamos el formato PENZ (Punto, Este, Norte, Elevación) comma delimited.

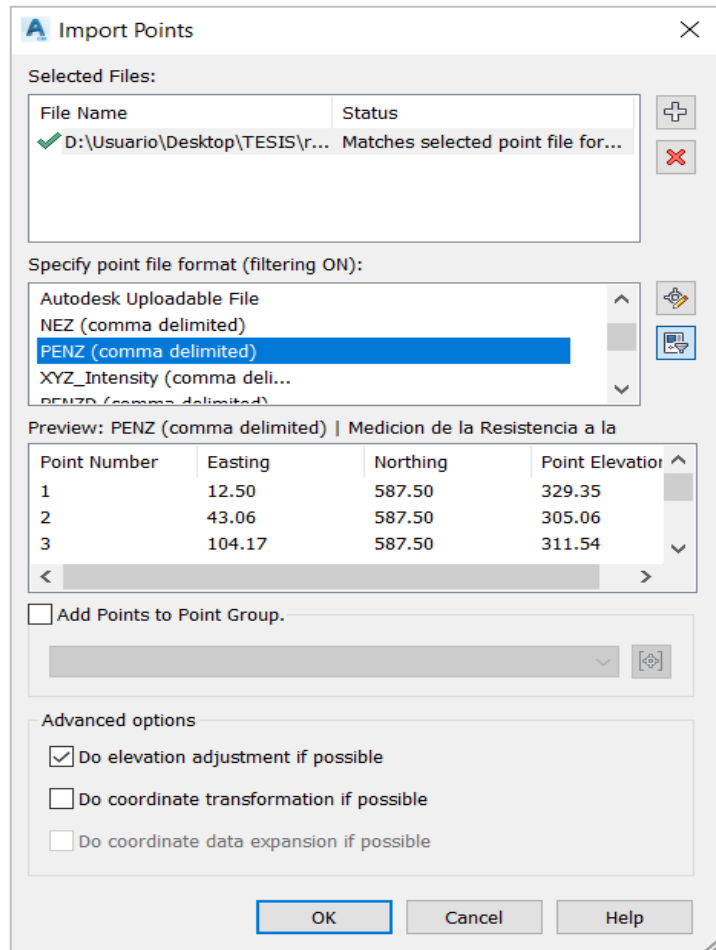


Figura 29 Selección formato Penz

- De esta manera podremos ver todos los puntos prospección en las 20 losas

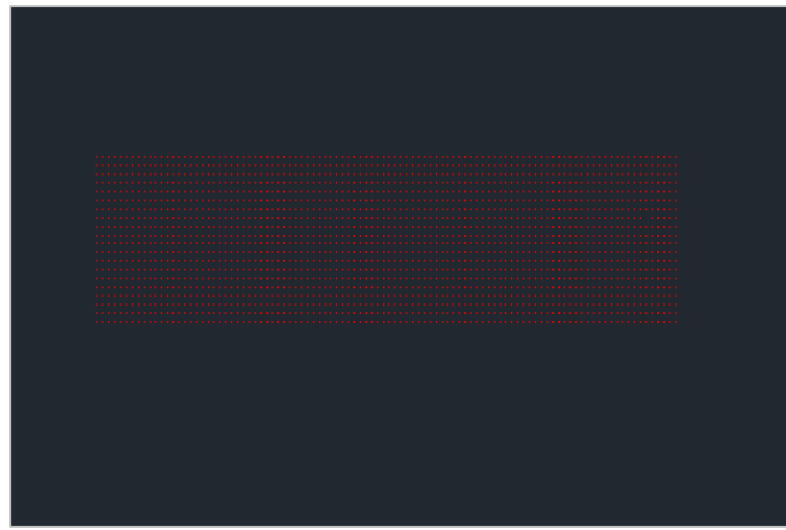


Figura 30 Gráfico de las prospecciones

- Crear superficie, asignando parámetros por defecto

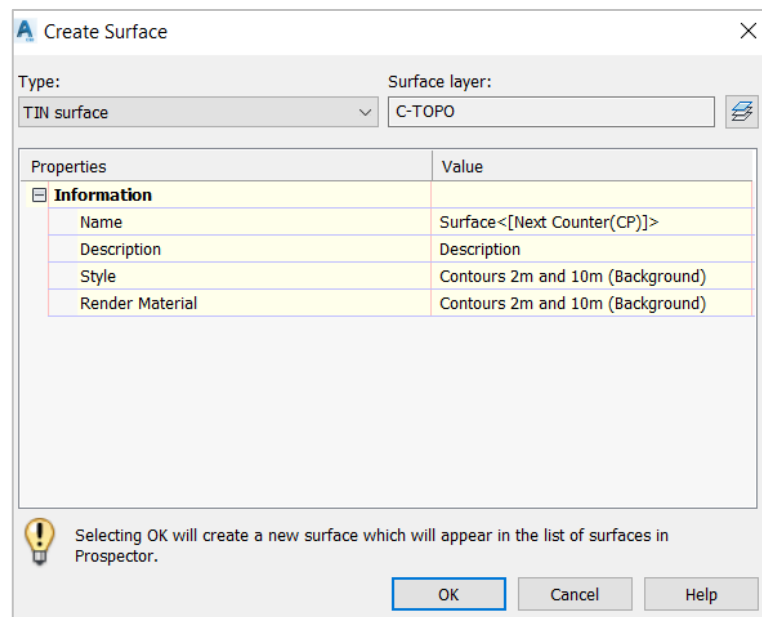


Figura 31 Creación de superficie

- Definir superficie con los puntos exportados del blog de notas

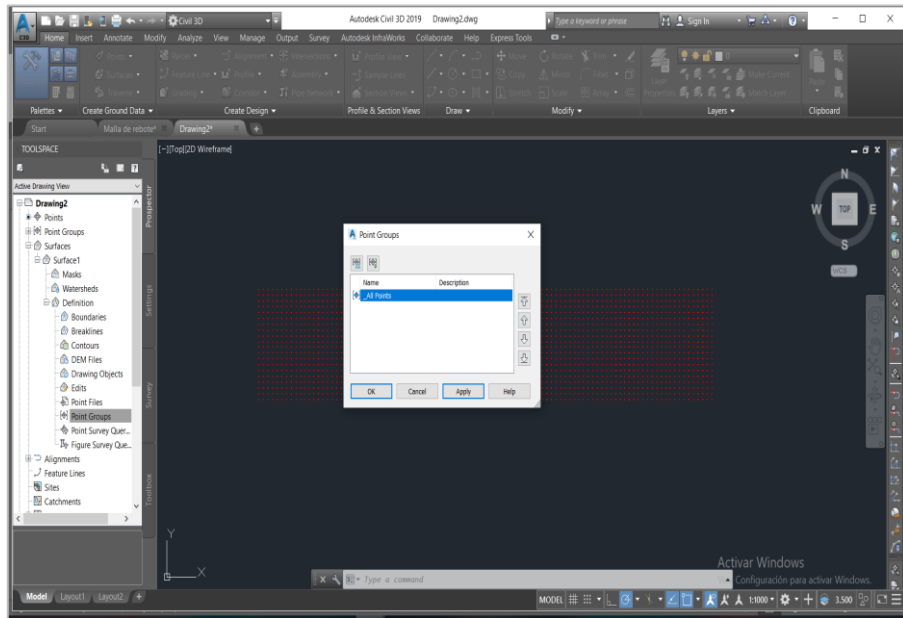


Figura 32 Definición de superficie

- Ya se puede apreciar las curvas donde cada altura representara una resistencia de concreto diferente.

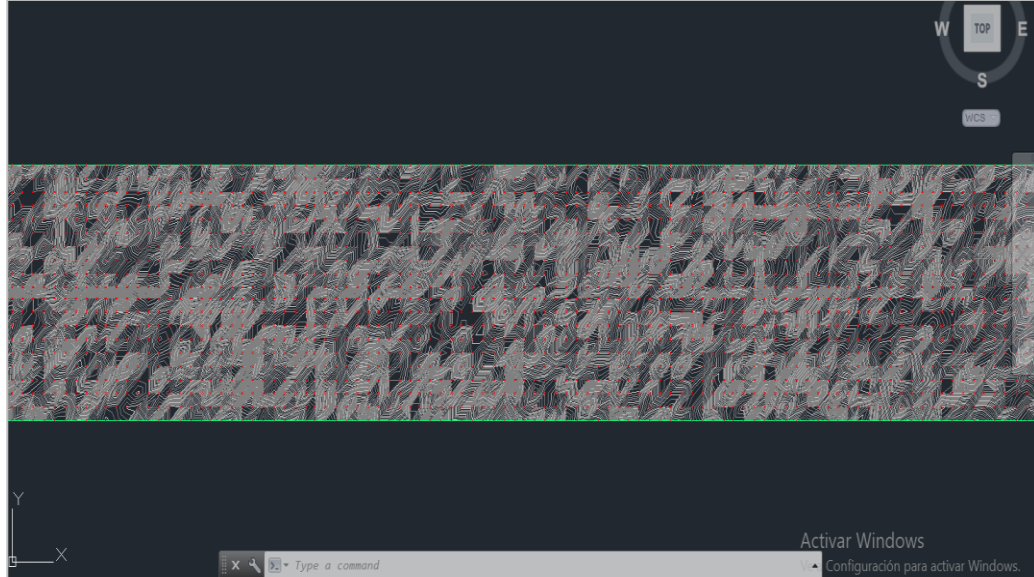


Figura 33 Curvas de f'c

- Configuramos las propiedades de superficie, en la pestaña información le damos la opción elevation banting 2d.

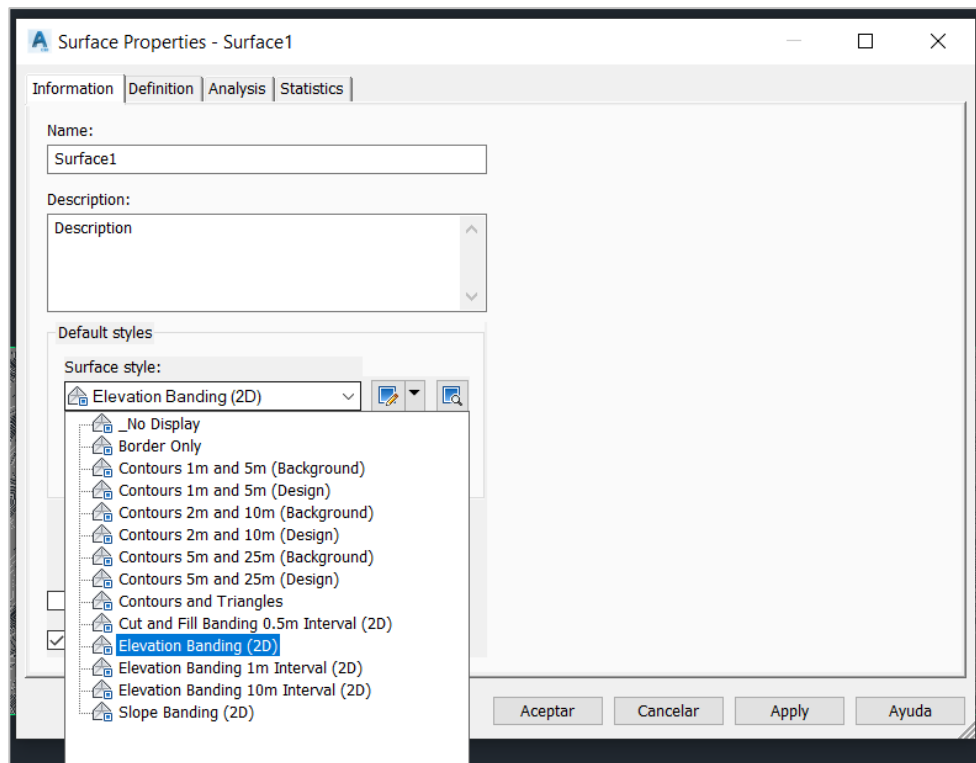


Figura 34 Configuración de superficie

- En la pestaña análisis colocamos el rango de 8 y cliqueamos la fecha de un análisis.

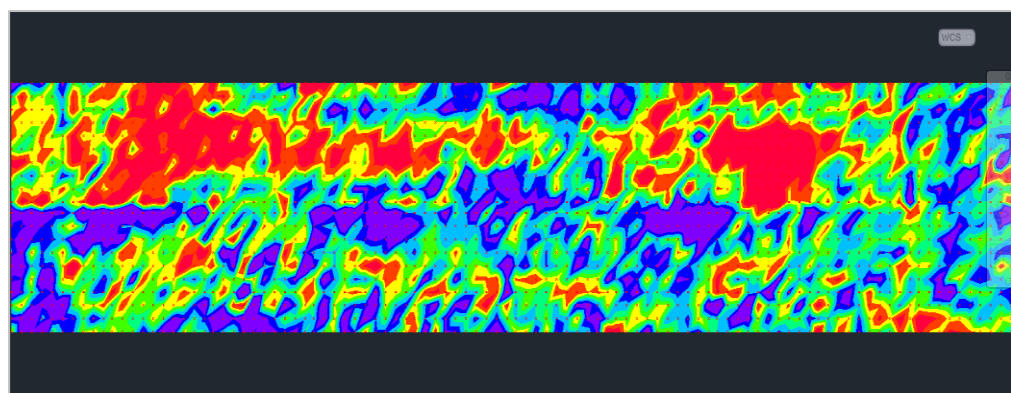


Figura 35 Grafico de F'c diferenciado por colores

- Para una mejor interpretación procederemos a insertar una leyenda de resistencias, de esta manera nos valuará la gráfica de calor donde cada color representará una determinada resistencia del concreto

Elevations Table				
Number	Minimum Elevation	Maximum Elevation	Area	Color
1	169.06	238.68	20387.18	Red
2	238.68	246.78	26757.21	Red
3	246.78	251.63	26381.11	Red
4	251.63	256.49	34506.10	Red
5	256.49	259.73	30747.31	Orange
6	259.73	262.97	36954.33	Orange
7	262.97	264.59	21862.30	Orange
8	264.59	267.82	52828.36	Orange
9	267.82	269.44	30658.22	Yellow
10	269.44	271.06	33613.49	Yellow
11	271.06	272.68	36928.58	Yellow
12	272.68	274.30	39626.31	Yellow
13	274.30	276.92	43034.36	Green
14	275.92	277.54	50451.33	Green
15	277.54	279.16	53511.31	Green
16	279.16	280.78	57615.70	Green
17	280.78	282.40	60501.94	Green
18	282.40	284.02	61504.74	Green
19	284.02	285.63	63190.79	Green
20	285.63	287.25	63065.42	Green
21	287.25	288.87	65185.18	Green
22	288.87	290.49	67019.14	Green
23	290.49	292.11	66115.81	Green
24	292.11	293.73	66068.04	Green
25	293.73	295.35	66462.62	Cyan
26	295.35	296.97	62572.82	Cyan
27	296.97	298.59	57172.77	Cyan
28	298.59	300.21	51123.33	Cyan
29	300.21	301.83	46032.38	Cyan
30	301.83	303.44	42715.38	Cyan
31	303.44	305.06	39111.07	Blue
32	305.06	306.68	34998.40	Blue
33	306.68	308.30	31547.57	Blue
34	308.30	309.92	28190.80	Blue
35	309.92	311.54	25455.47	Blue
36	311.54	314.78	38218.17	Blue
37	314.78	318.02	26628.56	Blue
38	318.02	321.25	18659.30	Blue
39	321.25	329.35	23082.61	Purple
40	329.35	361.73	10139.51	Purple

Figura 36 Leyenda de valores de F'c

**DETERMINAR EL ESTADO DE CONSERVACIÓN DEL PAVIMENTO
RÍGIDO EN LA AV. GORDON MAGNE DEL DISTRITO DE WANCHAQ -
CUSCO-2020**

UNIDADES DE MUESTREO

El pavimento rígido de la Av. Gordon Magne del distrito de Wanchaq tiene 6.00m de ancho; la unidad de muestreo puede estar en el rango de 12 und a 28 und.

$$N = 20$$

DETERMINACIÓN DE LAS UNIDADES DE MUESTREO

Se halla las unidades de muestreo de acuerdo a la siguiente formula:

$$n = \frac{N \times \sigma^2}{\frac{e^2}{4} \times (N - 1) + \sigma^2}$$

Reemplazando valores:

$$n \text{ (numero minimo de unidades a evaluar)} = x$$

$$N \text{ (numero total de unidades seleccionadas)} = 20$$

$$\sigma \text{ (desviacion estandar rigido)} = 15$$

$$e \text{ (error admisible)} = 5\%$$

$$n = \frac{20 \times 15^2}{\frac{5\%^2}{4} \times (20 - 1) + 15^2}$$

$$n = 19.99$$

Por lo tanto, evaluaremos 20 paños.

d. Selección de unidad de muestreo

No se seleccionará la unidad de muestro ya que se evaluarán todos los paños.

e. Selección de unidades de muestreo adicionales

No se seleccionará la unidad de muestro ya que se evaluarán todos los paños.

f. Evaluación de condición

Se realizó una evaluación in situ, verificando que tipos de fallas presenta la Av. Gordon Magne, esta verificación fue visual y se registraron los datos de las fallas evaluadas en el formato PCI 02.



Figura 37 Identificación de fallas



INDICE DE CONDICION DEL PAVIMENTO
PCI-02 CARRETERAS CON SUPERFICIE EN CONCRETO HIDRAULICO
EXPLOACION DE LA CONDICION POR UNIDAD DE MUESTREO

UNIVERSIDAD CESAR VALLEJO

TESIS: Análisis de la resistencia a la compresión del pavimento rígido mediante el esferómetro para determinar su incidencia en los defectos de superficie - Cusco

ZONA

ABSCISA INICIAL

FECHA

Nº DE LOSA

 2

ABSCISA FINAL

UNIDAD DE MUESTREO

 2

INSPECCIONADA POR

Bdh. Sota Champli, Jorge Javier

Bdh. Vera Tejada, Mayra Carolina

NUMERO DE LOSAS

 1

Nº

DAÑO

Nº

DAÑO

Nº

DAÑO

21 Blow up /Buckling

27 Desnivel Carril / Berma

33 Bombed

22 Grieta de esquina

28 Grieta lineal

34 Punzonamiento

23 Losa dividida

29 parcheo grande

35 Cruce de vía ferrea

24 Grieta de durabilidad "D"

30 Parcheo pequeño

36 Descorcharamiento

25 Escala

31 Pulimiento de agregados

37 Retracción

26 Sello de junta

32 Popouts

38 Descascramiento de esquina

39 Descascaramiento de junta

DAÑO

SEVERIDAD

Nº LOSAS

DENSIDAD %

VALOR DEDUCIDO

ESQUEMA

31 L 1 5%

39 L 1 5%

11 1

12 2

13 3

14 4

15 5

16 6

17 7

18 8

19 9

20 10

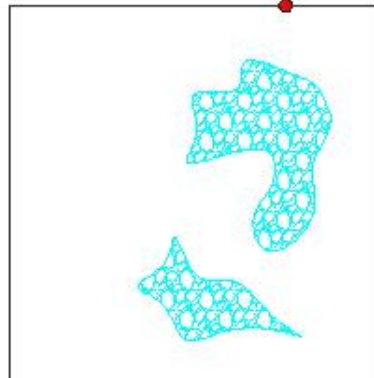
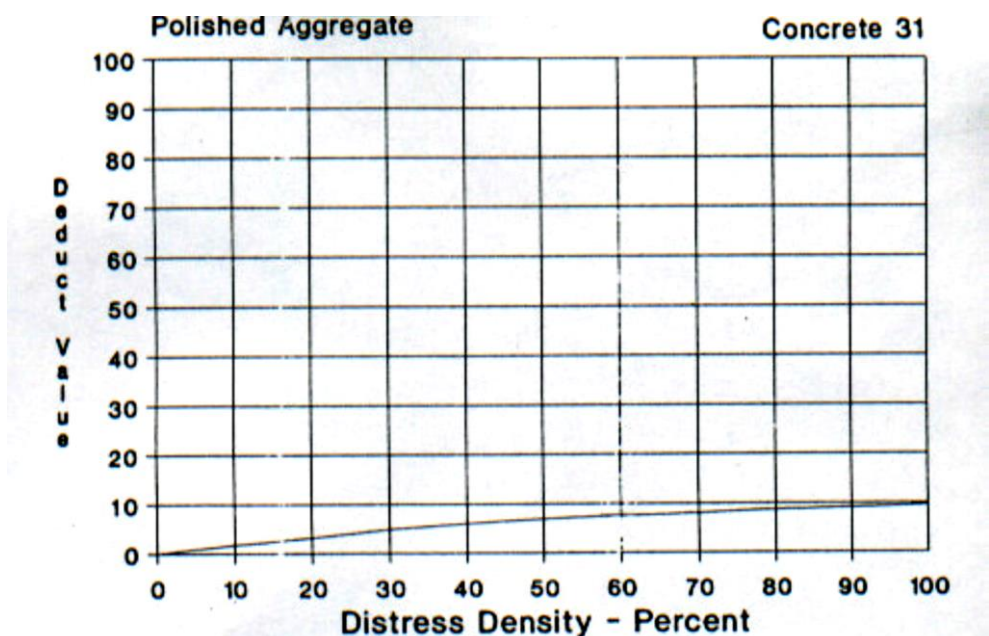


Figura 38 Formato PCI 02

CALCULO DEL PCI EN LAS UNIDADES DE MUESTREO

Calculo de los valores deducidos.

- a. Se registró la cantidad de losas que presentan la misma falla con el mismo nivel de severidad y se puso en el formato PCI 02
- b. Para hallar la densidad se dividió el número de losas con la misma falla entre el total de lasas evaluadas por 100 y el resultado se expresará en porcentajes (%)
- c. El valor deducido se saca de los ábacos interpolando la densidad y la severidad del daño.



- d. Los valores menores a 2 se desechan



INDICE DE CONDICION DEL PAVIMENTO
PCI-02 CARRETERAS CON SUPERFICIE EN CONCRETO HIDRAULICO
EXPLORACION DE LA CONDICION POR UNIDAD DE MUESTREO
UNIVERSIDAD CESAR VALLEJO

TESIS: Análisis de la resistencia a la compresión del pavimento rígido mediante el esclerómetro para determinar su incidencia en los defectos de superficie – Cusco

ZONA <input type="text"/>	ABSCISA INICIAL <input type="text"/>	FECHA <input type="text"/>																																												
Nº DE LOSA <input type="text"/>	ABSCISA FINAL <input type="text"/>	UNIDAD DE MUESTREO <input type="text"/>																																												
INSPECCIONADA POR <input type="text"/> <input type="text"/>		NUMERO DE LOSAS <input type="text"/>																																												
<table border="1"><tr><th>Nº</th><th>DAÑO</th></tr><tr><td>21</td><td>Blow up/Buckling</td></tr><tr><td>22</td><td>Grieta de esquina</td></tr><tr><td>23</td><td>Losa dividida</td></tr><tr><td>24</td><td>Grieta de durabilidad "D"</td></tr><tr><td>25</td><td>Escala</td></tr><tr><td>26</td><td>Sello de junta</td></tr></table>	Nº	DAÑO	21	Blow up/Buckling	22	Grieta de esquina	23	Losa dividida	24	Grieta de durabilidad "D"	25	Escala	26	Sello de junta	<table border="1"><tr><th>Nº</th><th>DAÑO</th></tr><tr><td>27</td><td>Desnivel Carril / Berma</td></tr><tr><td>28</td><td>Grieta lineal</td></tr><tr><td>29</td><td>parcheo grande</td></tr><tr><td>30</td><td>Parchoeo pequeño</td></tr><tr><td>31</td><td>Pulimiento de agregados</td></tr><tr><td>32</td><td>Popouts</td></tr></table>	Nº	DAÑO	27	Desnivel Carril / Berma	28	Grieta lineal	29	parcheo grande	30	Parchoeo pequeño	31	Pulimiento de agregados	32	Popouts	<table border="1"><tr><th>Nº</th><th>DAÑO</th></tr><tr><td>33</td><td>Bombeo</td></tr><tr><td>34</td><td>Punzonamiento</td></tr><tr><td>35</td><td>Cruce de vía ferrea</td></tr><tr><td>36</td><td>Descorchamiento</td></tr><tr><td>37</td><td>Retracción</td></tr><tr><td>38</td><td>Descascramiento de esquina</td></tr><tr><td>39</td><td>Descascaramiento de junta</td></tr></table>	Nº	DAÑO	33	Bombeo	34	Punzonamiento	35	Cruce de vía ferrea	36	Descorchamiento	37	Retracción	38	Descascramiento de esquina	39	Descascaramiento de junta
Nº	DAÑO																																													
21	Blow up/Buckling																																													
22	Grieta de esquina																																													
23	Losa dividida																																													
24	Grieta de durabilidad "D"																																													
25	Escala																																													
26	Sello de junta																																													
Nº	DAÑO																																													
27	Desnivel Carril / Berma																																													
28	Grieta lineal																																													
29	parcheo grande																																													
30	Parchoeo pequeño																																													
31	Pulimiento de agregados																																													
32	Popouts																																													
Nº	DAÑO																																													
33	Bombeo																																													
34	Punzonamiento																																													
35	Cruce de vía ferrea																																													
36	Descorchamiento																																													
37	Retracción																																													
38	Descascramiento de esquina																																													
39	Descascaramiento de junta																																													
DAÑO	SEVERIDAD	Nº LOSAS	DENSIDAD %	VALOR DEDUCIDO	ESQUEMA																																									
31		11	55%	9																																										
39	L	2	10%	2																																										
39	M	1	5%	2																																										
25	L	1	5%	1																																										

Figura 39 Calculo de valores deducidos

Cálculo del número Admisible Máximo de Deducidos (m).

- Si al menos uno de los “Valores Deducidos” es mayor que 2, se usa el “Valor Deducido Total” en vez del mayor “Valor Deducido Corregido”, CDV,

Hallaremos los valores según formula donde:

$m_i = \text{numero maximo admisible de valores deducidos, para la unidad de muestreo } i$

$HDV_i = \text{el mayor numero deducido individual para la unidad de muestreo } i$

$$m_i = 1.00 + \frac{9}{98} (100 - HDV_i)$$

$$m_i = 1.00 + \frac{9}{98} (100 - 9_i)$$

$$m_i = 1.18$$

Nº	VALORES DEDUCIDOS					TOTAL	q	CDV
1								
2								

Tabla 17 1 Determinación del número de valores deducidos

- b. El número de valores individuales deducidos se reduce incluso a la parte fraccionaria. Si el valor deducido es menor que m, entonces se utilizan todos los valores deducidos obtenidos.

Cálculo del “Máximo Valor Deducido Corregido”, CDV.

El máximo CDV se determina mediante un proceso iterativo, el cual describiremos a continuación:

- a. Seleccionamos el número de valor deducido “q” mayores que 2

Nº	VALORES DEDUCIDOS				TOTAL	q	CDV
1	9	0	0				
2	9	2					

Tabla 18 2 selección del número de valor deducido

- b. Determine el “Valor Deducido Total” sumando TODOS los valores deducidos individuales.

Nº	VALORES DEDUCIDOS					TOTAL	q	CDV
1	9	0	0	0		9		
2	9	2				11		

Tabla 19 3 Suma de los valores deducidos

- c. Determinamos el CDV con q y el “Valor Deducido Total” en la curva de corrección según el tipo de pavimento.

Nº	VALORES DEDUCIDOS					TOTAL	q	CDV
1	9	0	0	0		9	2	
2	9	2				11	1	

Tabla 20 Colocación de los valores q

- d. El máximo CDV es el mayor de los CDV obtenidos en la interpolación de los ábacos de cada falla, en esta situación solo se evaluará la falla de desgaste de agregados en el siguiente Abaco

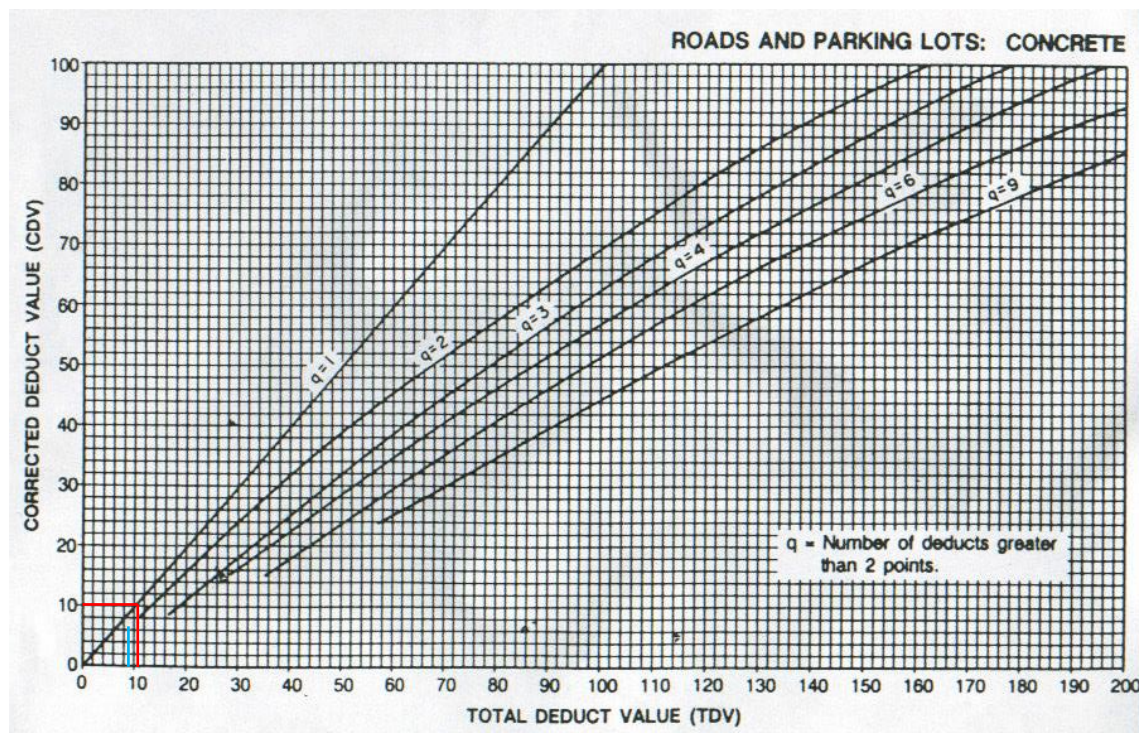


Figura 40 Abaco de valor deducido corregido

Nº	VALORES DEDUCIDOS					TOTAL	q	CDV
1	9	0	0	0		9	2	0
2	9	2				11	1	10

Tabla 21 Calculo del máximo valor deducido corregido

Cálculo del PCI de la unidad restando de 100 el máximo CDV

$$PCI = 100 - \text{Max CDV}$$

$$PCI = 100 - 10$$

$$PCI = 90$$

Verificando los rangos de calificación del PCI, en el siguiente cuadro

RANGOS DE CALIFICACIÓN DEL PCI	
100 – 85	Excelente
85 – 70	Muy bueno
70 – 55	Bueno
55 – 40	Regular
40 – 25	Malo
25 – 10	Muy malo
10 – 0	Fallado

Tabla 22 Resultado del PCI

La Av. Gordon Magne está en **estado excelente**.

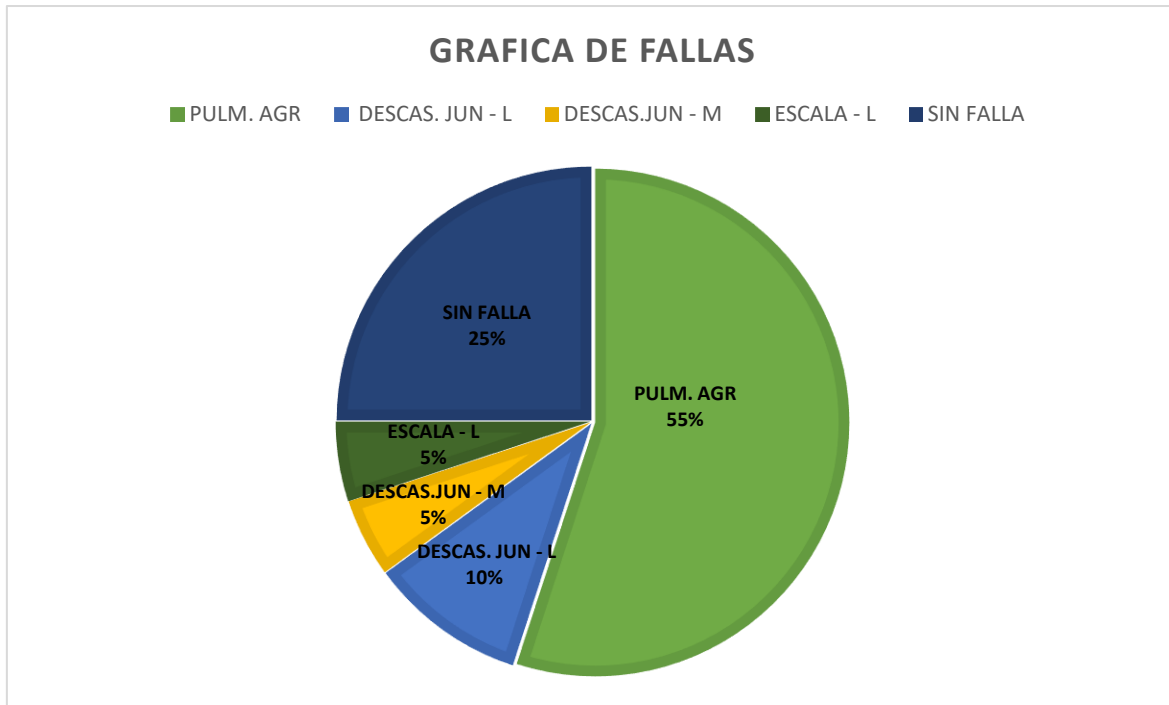


Figura 41 Porcentaje de fallas

Sin embargo, el 75% de los paños evaluados presentan deterioro superficial leve.

3.5. MÉTODO DE ANÁLISIS DE DATOS

Para lograr los objetivos de esta investigación se ha utilizado diversas técnicas de análisis de datos.

En primer lugar, se ha hecho uso de la estadística descriptiva para poder encontrar la variabilidad de los valores medidos, así como los estadísticos más comunes.

Una segunda técnica utilizada ha sido la de interpolación simple con los valores de resistencia, con la finalidad de obtener un gráfico de distribución de resistencias superficiales y para el cálculo del PCI se realizaron interpolaciones entre la densidad y el nivel de severidad de la falla, así mismo se utilizó cálculos estadísticos básicos.

3.6. ASPECTOS ÉTICOS

La presente tesis se ejecutó con principios éticos profesionales, por ello declaramos la **autenticidad** y **honestidad** de la misma, que los datos recolectados en campo, los cuales son trabajados en oficina, se desarrollaran sin ser alterados para un beneficio propio, los procedimientos se desarrollaran de modo transparente.

Se **respetó** la autenticidad de las fuentes de investigación, los cuales están citados y plasmados en la bibliografía.

IV. RESULTADOS

La tesis realizada tuvo como **1er objetivo específico** Determinar la resistencia a la compresión del pavimento rígido mediante el uso del esclerómetro en la Av. Gordon Magne del distrito de Wanchaq - Cusco-2020, después de realizar las prospecciones con el esclerómetro y procesar los datos, se llegó a los siguientes resultados:

RESISTENCIA A LA COMPRESIÓN	F'c
Nº de observaciones	2000
Mínimo	169.061
Máximo	361.731
Mediana	287.254
Media	286.459
Desviación típica (n-1)	21.974
Coeficiente de variación	0.077
Error típico de la media	0.491
Límite inferior de la media (95%)	285.496
Límite superior de la media (95%)	287.423

Tabla 23 Resumen de Resultados de F'c

Del cual observamos que la resistencia a la compresión media define a todos los paños evaluados, así mismo se tienen los siguientes gráficos que muestra los valores del F'c de acuerdo a una escala de colores.

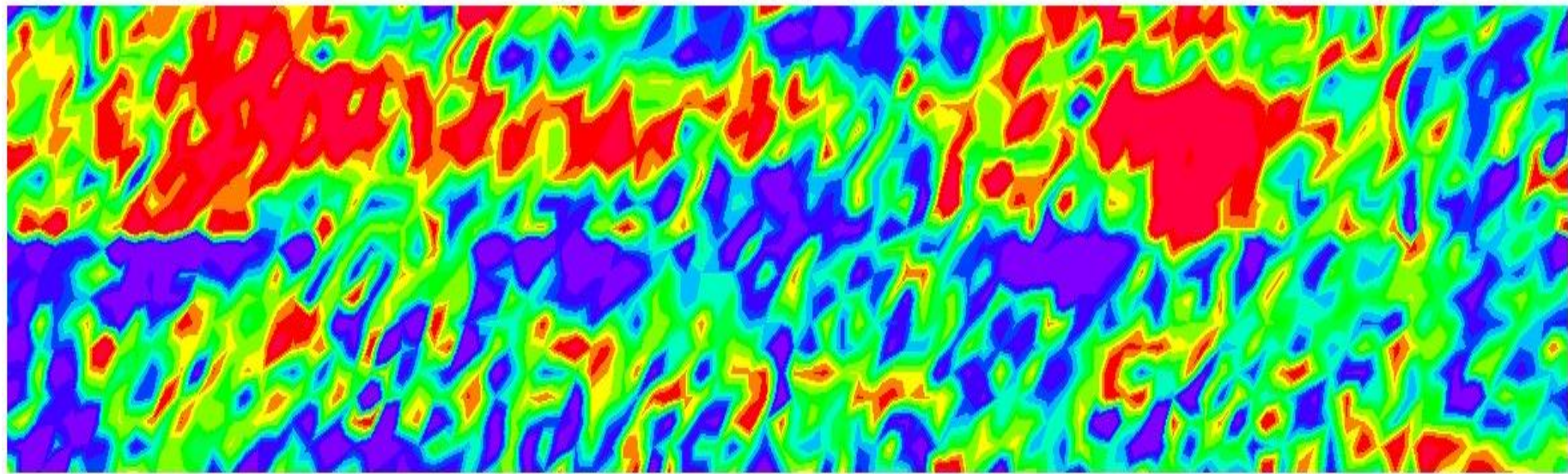


Figura 42 Mapa de resistencias a la compresión de los 20 paños

Figura 43 Leyenda de valores de f'_c

Elevations Table				
Number	Minimum Elevation	Maximum Elevation	Area	Color
1	169.06	254.87	94534.12	■
2	254.87	266.21	128072.70	■
3	266.21	272.68	129017.38	■
4	272.68	277.54	133112.00	■
5	277.54	284.02	233133.68	■
6	284.02	287.25	126256.21	■
7	287.25	292.11	198320.13	■
8	292.11	296.97	195103.47	■
9	296.97	301.83	154328.48	■
10	301.83	306.68	116824.85	■
11	306.68	314.78	123412.01	■
12	314.78	361.73	78509.98	■

Y como **2do objetivo específico** se tuvo: Determinar el estado de conservación del pavimento rígido en la Av. Gordon Magne del distrito de Wanchaq - Cusco-2020, utilizando el método PCI se evaluaron 20 paños, teniendo los siguientes datos:

Nº LOSAS	DENSIDAD	DAÑO
15	75%	31 - PULM. AGR
		39 - DESCAS. JUN
		39 - DESCAS. JUN
		25 - ESCALA - L
5	25%	NINGUNO

De los cuales, analizándolos, se obtuvo el resultado de PCI = 90, el cual se encuentra en el rango de calificación de 100 a 85, como se observa en el siguiente cuadro:

RANGOS DE CALIFICACIÓN DEL PCI	
100 – 90 - 85	Excelente
85 – 70	Muy bueno
70 – 55	Bueno
55 – 40	Regular
40 – 25	Malo
25 – 10	Muy malo
10 – 0	Fallado

Tabla 24 Tabla de resumen de resultados PCI

Por lo tanto, la 1ra cuadra de la Av. Gordon Magne se encuentra en un estado excelente.

V. DISCUSIÓN

De la investigación realizada se determinó OE1: Determinar la resistencia a la compresión del pavimento rígido mediante el uso del esclerómetro en la Av. Gordon Magne del distrito de Wanchaq - Cusco-2020

En el pavimento rígido evaluado se obtuvo unas resistencias $f'c_{\minima}=169.06 \text{ kg/cm}^2$, $f'c_{\maxima}=361.73 \text{ kg/cm}^2$ y un $f'c_{\media}=f'c=286.46 \text{ kg/cm}^2$,

- ✓ El autor (Garcia Fajardo, 2017) en su tesis “Evaluación del Pavimento Rígido de la Calle Ciruelos desde la avenida 42 hasta la avenida 44, Sector Industrial Inmaconsa, Parroquia Tarqui, Cantón Guayaquil” como mi antecedente internacional tuvo como objetivo general “Evaluar el Pavimento Rígido de la Calle Ciruelos desde la avenida 42 hasta la avenida 44, Sector Industrial Inmaconsa, Parroquia Tarqui, Cantón Guayaquil” su conclusión fue que mediante el método no destructivo del esclerómetro se llegó a un $f'c=331 \text{ kg/cm}^2$ y tiene como recomendación realizar una continua evaluación a la calle ciruelos.

Como se puede observar en ambas tesis se obtuvieron las resistencias a la compresión mediante la prueba del esclerómetro, por consiguiente, queda validado el ensayo del esclerómetro para determinar el $F'c$ en vías de pavimento rígido

- ✓ El autor Vélez (2019) como mi primer antecedente nacional en su tesis titulada “Determinación de la resistencia a la compresión del concreto mediante el método de esclerometría” de la Universidad de Ciencias Aplicadas, tuvo como objetivo “Determinar la resistencia del concreto haciendo uso del ensayo no destructivo de esclerometría y tuvo la conclusión de que se pudo medir la dureza del concreto, que los ensayos de dureza superficial y la resistencia a la compresión se pueden correlacionar, que a mayores datos que se tengan de la muestra, mayor es el grado de confiabilidad.

Ambas tesis llegamos a la conclusión de que, si se puede medir la resistencia a la compresión con el ensayo no destructivo de esclerometría, así mismo ambas tesis respaldan que con más pruebas se puede tener valores más precisos.

OE2: Determinar el estado de conservación del pavimento rígido mediante el método del PCI en la Av. Gordon Magne del distrito de Wanchaq - cusco-2020

Se determinó el PCI en el pavimento evaluado y el resultado fue $PCI= 90$ que equivale a un estado excelente.

- ✓ Cote & Villaba (2017) como antecedente internacional en su tesis titulada “Índice de condición del pavimento rígido en la ciudad de Cartagena de

indias y medidas de conservación” su objetivo fue determinar el estado del pavimento de la avenida el Malecón (carrera 1ra) del barrio Boca grande, utilizando el procedimiento PCI, su conclusión fue que la Av. Malecón tiene un Índice de Condición de 44.4 correspondiente a un estado regular con la recomendación de implementar un plan de mantenimiento preventivo.

Como se puede observar que, en las dos tesis, se logró determinar el estado de conservación de los pavimentos rígidos; por lo tanto, el método de PCI si determina el estado de conservación.

- ✓ El segundo antecedente nacional con el autor Rodríguez (2016) en su tesis titulada “Evaluación del estado actual de la superficie del Pavimento Rígido existente en el Jirón de la amistad de la urbanización tepro del centro de poblado de Salcedo-Puno-2016” su finalidad fue “Determinar la condición operacional de la superficie del pavimento y el índice de integridad estructural del pavimento en el Jr. de la Amistad de la Urbanización TEPRO del Centro Poblado de Salcedo – Puno – 2016” sus conclusiones fueron que el pavimento existente en la urbanización Jr. de la Amistad en la urbanización de Tepro, pueblo de Salcedo, tiene un índice de integridad estructural de "bueno", casi sin signos de deterioro, no obstante , el F'c de diseño era 210 Kg/cm² pero en la evaluación se determinó un F'c inferior al del diseño.

Se aprecia que el valor de la resistencia a la compresión del pavimento es determinante al momento de hacer una evaluación con el método del PCI, como se muestra en nuestra tesis que a mayor resistencia a la compresión menores serán los daños superficiales

- ✓ Y como antecedente como antecedente local el autor García (2016), en su tesis de investigación titulada “Análisis y verificación del f'c mediante ensayos de diamantina y esclerometría y la incidencia en la fisuración de la carpeta de rodadura de la Av. 28 de Julio del distrito de Wanchaq”, de la Universidad Andina del Cusco, tuvo como objetivo encontrar la incidencia del f'c en la fisuración del pavimento rígido. Concluyó que el f'c del pavimento tiene incidencia en la fisuración, pero no será un factor determinante. Recomendó el sellado de las fisuras para que las losas no colapsen.

El antecedente local concluyó que el F'c incide en la fisuración del concreto pero que no es un factor determinante, nosotros como autores de la tesis que se está presentando apoyamos a la conclusión ya que según nuestros resultados a menor resistencia mayores daños, pero los daños también se pueden ver influenciados por otros factores como el clima y cargas extremas para el cual no fueron diseñados la vía.

VI. CONCLUSIONES

Podemos concluir que si un pavimento tiene buena resistencia a la compresión, la presencia de daños en la carpeta de rodadura será menor, esto se puede evidenciar en los puntos de resistencia $f'c_{\text{maxima}}=361.73 \text{ kg/cm}^2$ en los cuales no se encontraron fallas y en los paños de $f'c_{\text{minima}}=169.06 \text{ kg/cm}^2$ fue donde se encontraron los daños más representativos; por lo tanto de acuerdo al objetivo general planteado, **se concluye que el uso del esclerómetro determina la resistencia a la compresión del pavimento rígido y este incide en el grado de conservación**

La tesis realizada tuvo como objetivo específico 01: determinar la resistencia a la compresión del pavimento rígido en la Av. Gordon Magne del distrito de Wanchaq - Cusco-2020, utilizando el esclerómetro, se determinó la resistencia media que tiene el pavimento rígido de la Av. Gordon Magne del distrito de Wanchaq y su valor es de $f'c=286.46 \text{ kg/cm}$.

Para hacer la verificación del objetivo específico 02: Determinar el estado de conservación del pavimento rígido en la Av. Gordon Magne del distrito de Wanchaq - Cusco-2020, mediante el método del PCI se determinó el estado de conservación de la Av. Gordon Magne del distrito de Wanchaq, a pesar de las fallas superficiales que se encontraron, el pavimento rígido tiene un PCI de 90 este se encuentra dentro del rango de calificación equivale a un estado “excelente”.

VII. RECOMENDACIONES

Para futuras investigaciones sobre análisis de resistencia del concreto con método de esclerometría se recomienda el operario y el instrumento (esclerómetro) sean los mismo en todo el proceso, para evitar alteraciones significativas en los resultados.

El método PCI, nos da una visión sobre el estado de conservación de una vía, por lo que se recomienda realizar este tipo de estudios periódicamente para ver los deterioros que pueda presentar, de ser necesario realizar los mantenimientos respectivos y de esta manera el pavimento cumpla con la vida útil estimada.

En vista de que los valores de resistencia a la compresión del concreto varían por sectores, se recomienda un mejor control de calidad y respetar las especificaciones técnicas.

BIBLIOGRAFÍA

- Aceros Arequipa. (03 de Marzo de 2020). *Construyendo seguro*. Obtenido de <http://www.construyendoseguro.com/los-tipos-de-concreto-y-sus-usos/#>
- ACI214. (1978). Recommended Practice for Evaluation of Strength Tests. *American Concrete Institute*.
- Al-Kutti, W., & Arif Aziz, M. (2017). *Non-Destructive Testing*. Arabia Saudita: Universidad Imam Abdulrahman Bin Faisal.
- Arias, F. (2016). *El proyecto de investigacion*. Episteme.
- ASTMc150. (s.f.). Especificación Normalizada para Cemento Portland. *ASTM C150*.
- ASTM-C805. (1997). *Metodo del Numero de Rebotes*.
- Aucay Maldonado, L. R., & Ordoñez Ordoñez, J. D. (2019). *Aplicabilidad del esclerometro o martillo de Schmidt a la determinacion de la resistencia a la compresion simple en rocas*. Cuenca, Ecuador.
- Balestrini Acuña, M. (1997). *Como se Elabora el Proyecto de Investigación*. Venezuela: BI Consultores Asociados.
- Barreto Cerdeño, S. L., Banguera Garces, J., & Córdova Rizo, J. (2018). Análisis comparativo de ejes equivalentes obtenidos mediante método AASHTO 93 y los proporcionados por pesaje en balanza fija de vehículos. *Universidad y Sociedad*, 10, 59-68. Obtenido de <http://scielo.sld.cu/pdf/rus/v10n1/2218-3620-rus-10-01-59.pdf>
- Carbajal, E. P. (1998). *Topicos de Tecnologia del Concreto en el Peru*. Lima, Peru: Colegio de Ingenieros del Peru.
- Cote Sosa, G., & Villaba Oloya, L. (2017). Indice de condición del pavimento rígido en la ciudad de cartagena de indias y medidas de conservación. *Indice de condición del pavimento rígido en la ciudad de cartagena de indias y medidas de conservación*. Universidad de Cartagena, Cartagena D.T. y C.
- Danel Ruas, O. (2015). Metodología de la Investigacion.
- EICA. (18 de Marzo de 2020). *Instituto Español del Cemento y sus Aplicaciones*. Obtenido de <https://www.ieca.es/componentes-y-propiedades-del-cemento/>
- El concreto blog*. (25 de Marzo de 2020). Obtenido de <http://elconcreto.blogspot.com/2009/01/el-agua-del-concreto.html>

- Garcia Cusihuallpa, R. (2016). Analisis y verificacion de la resistencia a la compresion mediante ensayos de esclerometria y diamantina y la incidencia en la fisuracion de la carpeta de rodadura de la Av.28 de Julio del distrito de Wanchaq. *Analisis y verificacion de la resistencia a la compresion mediante ensayos de esclerometria y diamantina y la incidencia en la fisuracion de la carpeta de rodadura de la Av.28 de Julio del distrito de Wanchaq*. Universidad Andina del Cusco, Cusco.
- Garcia Fajardo, R. R. (2017). EVALUACIÓN DEL PAVIMENTO RÍGIDO DE LA CALLE CIRUELOS DESDE LA AVENIDA 42 HASTA LA AVENIDA 44, SECTOR INDUSTRIAL INMACONSA, PARROQUIA TARQUI, CANTÓN GUAYAQUIL. *Evaluacion del pavimento rígido de la calle ciruelos desde la avenida 42 hasta la avenida 44, sector Industrial Inmaconsa, Parroquia Tarqui, Cantón Guayaquil*. Universidad de Guayaquil, Guayaquil, Ecuador.
- Garcia, A. (19 de octubre de 2016). *slideshare*. Obtenido de slideshare: <https://es.slideshare.net/RibBrian/0600-diseo-de-pavimentos-rigidos-aashto-93>
- Gomes Arias, J., Villasis Keever, M. A., & Miranda Novales, M. G. (2016). Protocolodo de investigacion III : La poblacion de estudio. *Alegria SLaaI*, 201-206.
- Gote sosa, G., & Villalba Oyola, L. (2017). *Indice de condicion del pavimento rigido en la ciudad de Cartajena de Indias y medidas de conservacion* . Cartagena.
- Harmsen, T. E. (2005). *Diseño de Estructuras de Concreto Armado*. Lima, Peru: Fondo Editorial Pontificie Universidad Catolica del Peru.
- Hernandez Sampieri, R. (2016). *Metodologia de la investigacion*.
- Hernandez Sampieri, R., Fernandez Collado, C., & Baptista Lucio, P. (2014). *Meetodologia de la investigacion* (6ta ed.). Mexico: Mc. Graw Hill Education.
- Kosmatka, S., Kerkhoff, B., Panarese, W., & Tanesi, J. (2004). *Diseño y Control de Mezclas de Concreto*. Illinois, EEUU: Portland Cement Association.
- Lerma González, H. D. (1998). *Metodologia de la investigacion*. Ecoe.
- Lozada, J. (2014). Investigacion aplicada:Definicion, propiedad intelectual e industria. *Universidad Tecnologica indoamerica*, 34-39.
- Lozano, A. (2012). *Geoengineering Services y Consulting E.I.R.L*.
- Lozano, A. (s.f.). Martillo Schmidt (Esclerometro). *Geoengineerin*.

Montejo Fonseca, A. (2002). *Ingenieria de Pavimentos para Carreteras*. Bogota: Agora Editores.

Nelly HAncco. (05 de Julio de 2018). El uso de pavimento significa un ahorro del 35% que el uso del asfaltado. *Diario Correo*, págs. 1-2.

Nilson, A. H. (2001). *Diseño de Estructuras de Concreto*. Santa Fe, Colombia: Emma Ariza H.

NTP.400.011. (2008). Agregados. Definicion y clasificacion de agregados para uso en mortero y hormigones (concretos). *Norma Tecnica Peruana 400.001*.

Osorio, J. D. (26 de 05 de 2020). Argos. Obtenido de
<https://www.360enconcreto.com/blog/detalle/diseno-mezclas-de-concreto-conceptos-basicos>

Pacori Arizaca, W. (2018). *VULNERABILIDAD SISMICA EN LAS EDIFICACIONES EDUCATIVAS PUBLICAS DE CONCRETO ARMADO EN LA CIUDAD DE AYAVIRI- PUNO*. PUNO.

Pérez, Bolívar. (23 de Diciembre de 2020). Autoridades vigilarán obras en la vía Biblián-Zhud. *El Mercurio*, págs. 1-2. Obtenido de
<https://ww2.elmercurio.com.ec/2020/12/23/autoridades-vigilan-obras-en-la-via-biblian-zhud/>

PUCP, A. (s.f.). *Ensayo no destructivo del concreto*.

Quinde Saavedra , J. A. (2013). *Evaluacion del estado actual del pavimento rigido de la calle las begonias de la urbanizacion las Flores de la ciudad de Jaen*. Jaen.

Quispe Fuentes, D. C. (2019). Evaluacion de la Resistencia a la compresion del concreto en edificaciones comunes de la ciudad de Puno 2018. *Evaluacion de la Resistencia a la compresion del concreto en edificaciones comunes de la ciudad de Puno 2018*. Universidad Nacional del Altiplano, Puno.

Rodriguez Huaquisto, L. J. (2016). Evaluacion del estado Actual de la superficie del pavimento rigido existente en el jiron de la amistad de la urbanizacion Tepro del centro de poblado de Salcedo-Puno-2016. *Evaluacion del estado Actual de la superficie del pavimento rigido existente en el jiron de la amistad de la urbanizacion Tepro del centro de poblado de Salcedo-Puno-2016*. Universidad Andina Néstor Cáceres Velásquez, Puno, Peru.
Obtenido de
<http://repositorio.uancv.edu.pe/handle/UANCV/10344/browse?type=subject&value=Concreto%2C+evaluaci%C3%B3n%2C+pavimento%2C+superficie%2C+resistencia>

- Vargas, Y. (2014). *Pavement condition index pci*. Universidad Nacional de Colombia. Obtenido de <https://es.slideshare.net/yeewan07/presentacion-pavement-condition-index-pci>
- Vásquez Varela, L. R. (2002). Pavement Condition Index (PCI) para pavimentos asfalticos y de concreto en carreteras. *Pavement Condition Index (PCI) para pavimentos asfalticos y de concreto en carreteras*. Universidad NAcional de Colombia, Manizales.
- Vélez Gallardo , G. A. (2019). DETERMINACION DE LA RESISTENCIA A LA COMPRESION DEL CONCRETO MEDIANTE EL METODO DE ESCLEROMETRIA. *DETERMINACION DE LA RESISTENCIA A LA COMPRESION DEL CONCRETO MEDIANTE EL METODO DE ESCLEROMETRIA*. Universidad Peruana de Ciencias Aplicadas, LIMA, Perú. Obtenido de <http://hdl.handle.net/10757/626340>
- Zeballos Gamarra, R. E. (2018). *Identificacion y Evaluacion de las falla superficiales en los pavimentos flexibles de algunas vias de la ciudad de Barranca-2017*. Barranca.

ANEXOS

ANEXO 01: MATRIZ DE CONSISTENCIA

TITULO:	ANÁLISIS DE LA RESISTENCIA A LA COMPRESIÓN DEL PAVIMENTO RÍGIDO MEDIANTE EL ESCLERÓMETRO Y SU INCIDENCIA EN EL GRADO DE CONSERVACIÓN-CUSCO					
PROBLEMAS	OBJETIVOS	HIPÓTESIS	VARIABLES	DIMENSIONES	INDICADORES	METODOLOGÍA
GENERAL ¿De qué manera el uso del esclerómetro permite analizar un pavimento rígido para determinar su incidencia en el grado de conservación de la calle Gordon Magne del distrito de Wanchaq - Cusco-2020?	GENERAL Analizar si el uso del esclerómetro permite determinar la incidencia del estado de conservación de un pavimento rígido en la calle Gordon Magne del distrito de Wanchaq - Cusco-2020	GENERAL El uso del esclerómetro permite determinar la resistencia a la compresión del pavimento rígido y la incidencia en el estado de conservación del pavimento rígido en la calle Gordon Magne del distrito de Wanchaq - Cusco-2020	Variable Independiente (X): RESISTENCIA A LA COMPRESIÓN DEL PAVIMENTO MEDIANTE ESCLERÓMETRO	Resistencia a la compresión del concreto (f'_c) del pavimento	R = Índice de Rebote del Esclerómetro f'_c = Resistencia a la Compresión	Diseño de Investigación: NO EXPERIMENTAL
ESPECIFICO ¿De qué manera se determina la resistencia a la compresión del pavimento rígido con el uso del esclerómetro en la calle Gordon Magne del distrito de Wanchaq - Cusco-2020?	ESPECIFICO Determinar la resistencia a la compresión del pavimento rígido mediante la prueba de esclerómetro en la calle Gordon Magne del distrito de Wanchaq - Cusco-2020	ESPECIFICO El uso del esclerómetro determina la resistencia a la compresión del pavimento rígido en la calle Gordon Magne del distrito de Wanchaq - Cusco-2020	Variable Dependiente (Y): GRADO DE CONSERVACIÓN DEL PAVIMENTO	Índice de Condición del Pavimento	Tipo de falla	Tipo de Investigación: APlicada Nivel de Investigación: EXPLICATIVO Enfoque de Investigación: MIXTO Unidad de Análisis: PAÑO DE PAVIMENTO
¿De qué manera se determina el grado de conservación del pavimento rígido con el método PCI en la calle Gordon Magne del distrito de Wanchaq - Cusco-2020?	Determinar el estado de conservación del pavimento rígido mediante el método del PCI en la calle Gordon Magne del distrito de Wanchaq - Cusco-2020	El método del PCI determina el estado de conservación del pavimento rígido en la calle Gordon Magne del distrito de Wanchaq - Cusco-2020.			Nivel de Severidad (alto, medio, bajo)	Población: PAVIMENTO RÍGIDO Muestra: Pavimento de la 1° cuadra del jirón Gordon Magne del distrito de Wanchaq-Cusco Técnica: OBSERVACIÓN ESTRUCTURADA

ANEXO 02: MATRIZ DE OPERACIONALIDAD

TÍTULO:		ANÁLISIS DE LA RESISTENCIA A LA COMPRESIÓN DEL PAVIMENTO RÍGIDO MEDIANTE EL ESCLERÓMETRO Y SU INCIDENCIA EN EL GRADO DE CONSERVACIÓN-CUSCO					
VARIABLE		CONCEPTO	DIMENSIONES	INDICADORES	TÉCNICA	INSTRUMENTO	ESCALA DE MEDICIÓN
DEPENDIENTE	GRADO CONSERVACIÓN PAVIMENTO DE DEL	Descripción cualitativa del estado del pavimento, en función del valor de PCI, según este análisis el pavimento puede ser catalogado según su condición sea buena o mala	Índice de Condición del Pavimento	Type de falla	Observación estructurada	Ficha de Observación PCI	Razón
				Nivel de Severidad (alto, medio, bajo)			
INDEPENDIENTE	RESISTENCIA A LA COMPRESIÓN DEL PAVIMENTO MEDIANTE ESCLERÓMETRO	Característica mecánica principal del concreto, que refleja la capacidad de soportar carga por una determinada área, esta puede estimarse por medio del ensayo de esclerometría que correlaciona el número de rebotes con la resistencia a la compresión del concreto	Resistencia a la compresión del concreto ($f'c$) del pavimento	R = Índice de Rebote del Esclerómetro	Observación estructurada	Esclerómetro	Intervalo
				$F'c = $ Resistencia a la Compresión			

ANEXO 03: CERTIFICADO DE CALIBRACIÓN DEL ESCLERÓMETRO



Página 1 de 2

CERTIFICADO DE CALIBRACIÓN CFM-013-2019

Solicitante : ARBULU JURADO CESAR EDILBERTO

Dirección : AV. MICAELA BASTIDAS 258 OF. 704 - WANCHAQ -
CUSCO

Instrumento de Medición : ESCLEROMETRO PARA CONCRETO

Marca: METROTEST

Modelo: MC-154

Serie: 2047

Identificación: NO INDICA

Procedencia: NO INDICA

Alcance máximo: 10 a 100 Div. (1 280 a 8.500 PSI)

División mínima: 2 Div.

Tipo de indicación: Analogica

Lugar de Calibración : Lab. Fuerza de Metrotest E.I.R.L.

Fecha de Calibración : 2019-01-21

Fecha de Emisión : 2019-01-21

Método de Calibración Empleado

Tomando como referencia el metodo de Comparacion Directa entre un Yunque de Calibracion FORNEY y el Esclerometro

Observaciones

- Se colocó una etiqueta con la indicación "CALIBRADO".

El resultado de cada uno de las mediciones en el presente documento es de un promedio de dos valores de un mismo punto.

Los resultados indicados en el presente documento son validos en el momento de la calibración y se refieren exclusivamente al instrumento calibrado, no debe usarse como certificado de conformidad de producto.

METROTEST EIRL no se hace responsable por los perjuicios que pueda ocasionar el uso incorrecto o inadecuado de este instrumento y tampoco de interpretaciones incorrectas o indebidas del presente documentos.

El usuario es responsable de la recalibración de sus instrumentos a intervalos apropiados de acuerdo al uso, conservación y mantenimiento del mismo y de acuerdo con las disposiciones legales vigentes.

El presente documento carece de valor sin firmas y sellos.



Luis G. Asenjo G.
Jefe de Metrología



Certificado de Calibración CFM-013-2019
Página 2 de 2

RESULTADOS DE MEDICIÓN

Número de Mediciones	Lectura Indicada
1	78
2	80
3	80
4	78
5	78
6	78
7	80
8	80
9	80
10	80
PROMEDIO	79,2
DESV. ESTÁNDAR	1,03

* El instrumento se encuentra en buen estado de funcionamiento.



Luigi Asenjo G
Jefe de Metrología

ANEXO 04: TABLA DE RESISTENCIAS A LA COMPRESIÓN MALLA 01

PUNTO	x (cm)	y (cm)	R(prom)	f'c (kg/cm ²)
1	22.50	577.50	30.22	258.11
2	150.00	577.50	29.89	253.25
3	277.50	577.50	27.22	214.39
4	22.50	450.00	29.22	243.54
5	150.00	450.00	28.56	233.82
6	277.50	450.00	26.78	207.92
7	22.50	322.50	29.44	246.78
8	150.00	322.50	28.22	228.97
9	277.50	322.50	27.22	214.39
10	322.50	577.50	28.22	228.97
11	450.00	577.50	27.22	214.39
12	577.50	577.50	30.56	262.97
13	322.50	450.00	28.00	225.73
14	450.00	450.00	28.22	228.97
15	577.50	450.00	27.00	211.16
16	322.50	322.50	29.78	251.63
17	450.00	322.50	28.67	235.44
18	577.50	322.50	31.22	272.68
19	622.50	577.50	28.44	232.20
20	750.00	577.50	28.89	238.68
21	877.50	577.50	33.22	301.83
22	622.50	450.00	27.22	214.39
23	750.00	450.00	29.89	253.25
24	877.50	450.00	29.22	243.54
25	622.50	322.50	29.78	251.63
26	750.00	322.50	31.44	275.92
27	877.50	322.50	33.33	303.44
28	922.50	577.50	29.00	240.30
29	1050.00	577.50	29.67	250.01
30	1177.50	577.50	31.56	277.54
31	922.50	450.00	28.67	235.44
32	1050.00	450.00	27.67	220.87
33	1177.50	450.00	32.44	290.49
34	922.50	322.50	31.44	275.92
35	1050.00	322.50	30.78	266.21
36	1177.50	322.50	31.11	271.06
37	1222.50	577.50	31.67	279.16
38	1350.00	577.50	32.00	284.02
39	1477.50	577.50	32.00	284.02
91	22.50	277.50	30.11	256.49
92	150.00	277.50	31.44	275.92
93	277.50	277.50	34.00	313.16
94	22.50	150.00	32.33	288.87
95	150.00	150.00	31.44	275.92
96	277.50	150.00	32.11	285.63
97	22.50	22.50	32.33	288.87
98	150.00	22.50	31.89	282.40
99	277.50	22.50	32.11	285.63
100	322.50	277.50	33.44	305.06
101	450.00	277.50	31.67	279.16
102	577.50	277.50	31.89	282.40
103	322.50	150.00	30.11	256.49
104	450.00	150.00	31.67	279.16
105	577.50	150.00	32.00	284.02
106	322.50	22.50	31.56	277.54
107	450.00	22.50	32.67	293.73
108	577.50	22.50	32.22	287.25
109	622.50	277.50	32.11	285.63
110	750.00	277.50	33.67	308.30
111	877.50	277.50	34.56	321.25
112	622.50	150.00	30.89	267.82
113	750.00	150.00	33.56	306.68
114	877.50	150.00	31.78	280.78
115	622.50	22.50	33.56	306.68
116	750.00	22.50	35.00	327.73
117	877.50	22.50	32.44	290.49
118	922.50	277.50	32.78	295.35
119	1050.00	277.50	36.00	342.30
120	1177.50	277.50	34.33	318.02
121	922.50	150.00	32.56	292.11
122	1050.00	150.00	30.33	259.73
123	1177.50	150.00	30.22	258.11
124	922.50	22.50	33.11	300.21
125	1050.00	22.50	32.11	285.63
126	1177.50	22.50	33.22	301.83
127	1222.50	277.50	32.44	290.49
128	1350.00	277.50	36.33	347.16
129	1477.50	277.50	34.67	322.87

40	1222.50	450.00	29.44	246.78	130	1222.50	150.00	31.56	277.54
41	1350.00	450.00	32.00	284.02	131	1350.00	150.00	33.00	298.59
42	1477.50	450.00	32.56	292.11	132	1477.50	150.00	30.67	264.59
43	1222.50	322.50	33.56	306.68	133	1222.50	22.50	34.00	313.16
44	1350.00	322.50	33.56	306.68	134	1350.00	22.50	34.00	313.16
45	1477.50	322.50	31.44	275.92	135	1477.50	22.50	31.78	280.78
46	1522.50	577.50	30.78	266.21	136	1522.50	277.50	34.33	318.02
47	1650.00	577.50	33.67	308.30	137	1650.00	277.50	34.11	314.78
48	1777.50	577.50	33.67	308.30	138	1777.50	277.50	36.22	345.54
49	1522.50	450.00	30.67	264.59	139	1522.50	150.00	33.78	309.92
50	1650.00	450.00	31.78	280.78	140	1650.00	150.00	32.67	293.73
51	1777.50	450.00	28.33	230.59	141	1777.50	150.00	34.00	313.16
52	1522.50	322.50	33.78	309.92	142	1522.50	22.50	31.44	275.92
53	1650.00	322.50	32.89	296.97	143	1650.00	22.50	32.33	288.87
54	1777.50	322.50	32.44	290.49	144	1777.50	22.50	30.89	267.82
55	1822.50	577.50	33.33	303.44	145	1822.50	277.50	34.67	322.87
56	1950.00	577.50	31.44	275.92	146	1950.00	277.50	36.11	343.92
57	2077.50	577.50	30.11	256.49	147	2077.50	277.50	36.33	347.16
58	1822.50	450.00	29.22	243.54	148	1822.50	150.00	29.78	251.63
59	1950.00	450.00	31.67	279.16	149	1950.00	150.00	33.78	309.92
60	2077.50	450.00	30.56	262.97	150	2077.50	150.00	33.11	300.21
61	1822.50	322.50	30.89	267.82	151	1822.50	22.50	30.89	267.82
62	1950.00	322.50	32.67	293.73	152	1950.00	22.50	35.22	330.97
63	2077.50	322.50	33.00	298.59	153	2077.50	22.50	34.78	324.49
64	2122.50	577.50	28.22	228.97	154	2122.50	277.50	35.00	327.73
65	2250.00	577.50	31.89	282.40	155	2250.00	277.50	37.56	364.97
66	2377.50	577.50	30.11	256.49	156	2377.50	277.50	35.00	327.73
67	2122.50	450.00	30.89	267.82	157	2122.50	150.00	33.78	309.92
68	2250.00	450.00	27.89	224.11	158	2250.00	150.00	31.11	271.06
69	2377.50	450.00	30.89	267.82	159	2377.50	150.00	30.56	262.97
70	2122.50	322.50	31.78	280.78	160	2122.50	22.50	33.56	306.68
71	2250.00	322.50	30.89	267.82	161	2250.00	22.50	34.22	316.40
72	2377.50	322.50	30.78	266.21	162	2377.50	22.50	31.78	280.78
73	2422.50	577.50	31.56	277.54	163	2422.50	277.50	32.89	296.97
74	2550.00	577.50	31.44	275.92	164	2550.00	277.50	32.44	290.49
75	2677.50	577.50	32.67	293.73	165	2677.50	277.50	31.89	282.40
76	2422.50	450.00	27.00	211.16	166	2422.50	150.00	29.89	253.25
77	2550.00	450.00	31.33	274.30	167	2550.00	150.00	28.78	237.06
78	2677.50	450.00	31.78	280.78	168	2677.50	150.00	28.33	230.59
79	2422.50	322.50	33.78	309.92	169	2422.50	22.50	30.00	254.87
80	2550.00	322.50	32.11	285.63	170	2550.00	22.50	29.89	253.25
81	2677.50	322.50	34.44	319.64	171	2677.50	22.50	32.78	295.35
82	2722.50	577.50	35.11	329.35	172	2722.50	277.50	30.56	262.97
83	2850.00	577.50	32.89	296.97	173	2850.00	277.50	30.78	266.21

84	2977.50	577.50	34.11	314.78		174	2977.50	277.50	34.89	326.11
85	2722.50	450.00	34.22	316.40		175	2722.50	150.00	32.22	287.25
86	2850.00	450.00	29.33	245.16		176	2850.00	150.00	29.89	253.25
87	2977.50	450.00	33.00	298.59		177	2977.50	150.00	35.00	327.73
88	2722.50	322.50	33.78	309.92		178	2722.50	22.50	32.56	292.11
89	2850.00	322.50	32.78	295.35		179	2850.00	22.50	30.56	262.97
90	2977.50	322.50	31.11	271.06		180	2977.50	22.50	31.89	282.40

ANEXO 05: TABLA DE RESISTENCIAS A LA COMPRESIÓN MALLA 02

PUNTO	x (cm)	y (cm)	R(prom)	f'c (kg/cm2)	PUNTO	x (cm)	y (cm)	R(prom)	f'c (kg/cm2)
1	12.50	587.50	35.11	329.35	362	12.50	287.50	32.67	293.73
2	67.50	587.50	32.44	290.49	363	67.50	287.50	31.00	269.44
3	122.50	587.50	32.00	284.02	364	122.50	287.50	33.89	311.54
4	177.50	587.50	31.89	282.40	365	177.50	287.50	33.22	301.83
5	232.50	587.50	31.11	271.06	366	232.50	287.50	34.22	316.40
6	287.50	587.50	31.33	274.30	367	287.50	287.50	34.89	326.11
7	12.50	532.50	32.44	290.49	368	12.50	232.50	32.00	284.02
8	67.50	532.50	32.00	284.02	369	67.50	232.50	33.11	300.21
9	122.50	532.50	33.11	300.21	370	122.50	232.50	32.22	287.25
10	177.50	532.50	32.44	290.49	371	177.50	232.50	31.33	274.30
11	232.50	532.50	32.11	285.63	372	232.50	232.50	34.00	313.16
12	287.50	532.50	33.33	303.44	373	287.50	232.50	31.67	279.16
13	12.50	477.50	31.78	280.78	374	12.50	177.50	32.44	290.49
14	67.50	477.50	31.22	272.68	375	67.50	177.50	30.78	266.21
15	122.50	477.50	32.00	284.02	376	122.50	177.50	31.78	280.78
16	177.50	477.50	31.78	280.78	377	177.50	177.50	31.44	275.92
17	232.50	477.50	30.56	262.97	378	232.50	177.50	30.67	264.59
18	287.50	477.50	32.44	290.49	379	287.50	177.50	31.89	282.40
19	12.50	422.50	30.33	259.73	380	12.50	122.50	31.44	275.92
20	67.50	422.50	32.56	292.11	381	67.50	122.50	30.33	259.73
21	122.50	422.50	30.89	267.82	382	122.50	122.50	31.89	282.40
22	177.50	422.50	31.78	280.78	383	177.50	122.50	30.00	254.87
23	232.50	422.50	32.33	288.87	384	232.50	122.50	31.78	280.78
24	287.50	422.50	31.89	282.40	385	287.50	122.50	32.22	287.25
25	12.50	367.50	32.00	284.02	386	12.50	67.50	30.89	267.82
26	67.50	367.50	33.22	301.83	387	67.50	67.50	32.78	295.35
27	122.50	367.50	31.56	277.54	388	122.50	67.50	33.22	301.83
28	177.50	367.50	33.44	305.06	389	177.50	67.50	32.00	284.02
29	232.50	367.50	30.56	262.97	390	232.50	67.50	29.00	240.30
30	287.50	367.50	29.11	241.92	391	287.50	67.50	30.56	262.97
31	12.50	312.50	32.56	292.11	392	12.50	12.50	30.78	266.21
32	67.50	312.50	32.78	295.35	393	67.50	12.50	34.33	318.02

33	122.50	312.50	31.44	275.92	394	122.50	12.50	33.33	303.44
34	177.50	312.50	31.00	269.44	395	177.50	12.50	34.22	316.40
35	232.50	312.50	30.67	264.59	396	232.50	12.50	33.22	301.83
36	287.50	312.50	30.22	258.11	397	287.50	12.50	30.89	267.82
37	312.50	587.50	30.67	264.59	398	312.50	287.50	31.89	282.40
38	367.50	587.50	30.33	259.73	399	367.50	287.50	33.67	308.30
39	422.50	587.50	30.89	267.82	400	422.50	287.50	31.78	280.78
40	477.50	587.50	29.00	240.30	401	477.50	287.50	30.11	256.49
41	532.50	587.50	31.44	275.92	402	532.50	287.50	31.56	277.54
42	587.50	587.50	31.22	272.68	403	587.50	287.50	31.56	277.54
43	312.50	532.50	30.44	261.35	404	312.50	232.50	31.00	269.44
44	367.50	532.50	30.00	254.87	405	367.50	232.50	31.11	271.06
45	422.50	532.50	29.56	248.40	406	422.50	232.50	31.89	282.40
46	477.50	532.50	30.11	256.49	407	477.50	232.50	31.33	274.30
47	532.50	532.50	29.67	250.01	408	532.50	232.50	31.22	272.68
48	587.50	532.50	29.22	243.54	409	587.50	232.50	31.89	282.40
49	312.50	477.50	31.22	272.68	410	312.50	177.50	28.56	233.82
50	367.50	477.50	29.44	246.78	411	367.50	177.50	28.78	237.06
51	422.50	477.50	30.56	262.97	412	422.50	177.50	27.56	219.25
52	477.50	477.50	31.11	271.06	413	477.50	177.50	29.22	243.54
53	532.50	477.50	30.00	254.87	414	532.50	177.50	30.44	261.35
54	587.50	477.50	29.00	240.30	415	587.50	177.50	29.44	246.78
55	312.50	422.50	32.22	287.25	416	312.50	122.50	30.67	264.59
56	367.50	422.50	30.33	259.73	417	367.50	122.50	29.44	246.78
57	422.50	422.50	29.11	241.92	418	422.50	122.50	30.78	266.21
58	477.50	422.50	29.22	243.54	419	477.50	122.50	31.22	272.68
59	532.50	422.50	29.44	246.78	420	532.50	122.50	33.22	301.83
60	587.50	422.50	30.33	259.73	421	587.50	122.50	30.89	267.82
61	312.50	367.50	32.22	287.25	422	312.50	67.50	28.56	233.82
62	367.50	367.50	30.56	262.97	423	367.50	67.50	30.67	264.59
63	422.50	367.50	30.56	262.97	424	422.50	67.50	30.11	256.49
64	477.50	367.50	29.67	250.01	425	477.50	67.50	30.44	261.35
65	532.50	367.50	32.22	287.25	426	532.50	67.50	30.33	259.73
66	587.50	367.50	31.67	279.16	427	587.50	67.50	32.89	296.97
67	312.50	312.50	28.78	237.06	428	312.50	12.50	30.00	254.87
68	367.50	312.50	30.56	262.97	429	367.50	12.50	30.11	256.49
69	422.50	312.50	31.67	279.16	430	422.50	12.50	31.78	280.78
70	477.50	312.50	31.00	269.44	431	477.50	12.50	32.56	292.11
71	532.50	312.50	30.89	267.82	432	532.50	12.50	32.00	284.02
72	587.50	312.50	32.44	290.49	433	587.50	12.50	31.44	275.92
73	612.50	587.50	29.67	250.01	434	612.50	287.50	34.78	324.49
74	667.50	587.50	28.56	233.82	435	667.50	287.50	33.67	308.30
75	722.50	587.50	29.67	250.01	436	722.50	287.50	32.89	296.97
76	777.50	587.50	29.56	248.40	437	777.50	287.50	31.56	277.54

77	832.50	587.50	31.00	269.44	438	832.50	287.50	32.56	292.11
78	887.50	587.50	27.44	217.63	439	887.50	287.50	32.67	293.73
79	612.50	532.50	30.22	258.11	440	612.50	232.50	32.22	287.25
80	667.50	532.50	28.89	238.68	441	667.50	232.50	32.11	285.63
81	722.50	532.50	30.11	256.49	442	722.50	232.50	32.11	285.63
82	777.50	532.50	31.56	277.54	443	777.50	232.50	33.67	308.30
83	832.50	532.50	31.11	271.06	444	832.50	232.50	33.33	303.44
84	887.50	532.50	30.11	256.49	445	887.50	232.50	31.89	282.40
85	612.50	477.50	27.22	214.39	446	612.50	177.50	30.00	254.87
86	667.50	477.50	28.78	237.06	447	667.50	177.50	27.67	220.87
87	722.50	477.50	28.89	238.68	448	722.50	177.50	32.33	288.87
88	777.50	477.50	29.33	245.16	449	777.50	177.50	33.89	311.54
89	832.50	477.50	30.33	259.73	450	832.50	177.50	32.33	288.87
90	887.50	477.50	30.89	267.82	451	887.50	177.50	32.89	296.97
91	612.50	422.50	27.00	211.16	452	612.50	122.50	29.33	245.16
92	667.50	422.50	29.33	245.16	453	667.50	122.50	31.22	272.68
93	722.50	422.50	29.00	240.30	454	722.50	122.50	31.78	280.78
94	777.50	422.50	29.44	246.78	455	777.50	122.50	32.00	284.02
95	832.50	422.50	29.56	248.40	456	832.50	122.50	31.00	269.44
96	887.50	422.50	30.89	267.82	457	887.50	122.50	31.33	274.30
97	612.50	367.50	31.00	269.44	458	612.50	67.50	32.11	285.63
98	667.50	367.50	29.44	246.78	459	667.50	67.50	31.89	282.40
99	722.50	367.50	31.33	274.30	460	722.50	67.50	32.22	287.25
100	777.50	367.50	31.44	275.92	461	777.50	67.50	32.22	287.25
101	832.50	367.50	30.44	261.35	462	832.50	67.50	30.22	258.11
102	912.50	532.50	31.67	279.16	463	887.50	67.50	29.67	250.01
103	667.50	312.50	31.11	271.06	464	612.50	12.50	32.11	285.63
104	612.50	312.50	29.33	245.16	465	667.50	12.50	32.00	284.02
105	722.50	312.50	31.89	282.40	466	722.50	12.50	33.33	303.44
106	777.50	312.50	30.00	254.87	467	777.50	12.50	33.33	303.44
107	832.50	312.50	28.22	228.97	468	832.50	12.50	32.33	288.87
108	887.50	312.50	32.22	287.25	469	887.50	12.50	33.22	301.83
109	912.50	587.50	26.56	204.68	470	912.50	287.50	33.44	305.06
110	967.50	587.50	27.22	214.39	471	967.50	287.50	34.11	314.78
111	1022.50	587.50	26.00	196.59	472	1022.50	287.50	34.11	314.78
112	1077.50	587.50	27.67	220.87	473	1077.50	287.50	34.00	313.16
113	1132.50	587.50	29.89	253.25	474	1132.50	287.50	33.67	308.30
114	1187.50	587.50	29.89	253.25	475	1187.50	287.50	33.00	298.59
115	887.50	367.50	28.44	232.20	476	912.50	232.50	33.89	311.54
116	1022.50	532.50	28.89	238.68	477	967.50	232.50	33.00	298.59
117	967.50	532.50	28.89	238.68	478	1022.50	232.50	31.00	269.44
118	1077.50	532.50	29.56	248.40	479	1077.50	232.50	31.56	277.54
119	1132.50	532.50	31.22	272.68	480	1132.50	232.50	33.44	305.06
120	1187.50	532.50	31.00	269.44	481	1187.50	232.50	33.56	306.68

121	912.50	477.50	28.89	238.68	482	912.50	177.50	32.67	293.73
122	967.50	477.50	30.67	264.59	483	967.50	177.50	31.44	275.92
123	1022.50	477.50	29.89	253.25	484	1022.50	177.50	30.00	254.87
124	1077.50	477.50	27.78	222.49	485	1077.50	177.50	31.22	272.68
125	1132.50	477.50	30.11	256.49	486	1132.50	177.50	30.11	256.49
126	1187.50	477.50	29.00	240.30	487	1187.50	177.50	30.56	262.97
127	912.50	422.50	25.56	190.11	488	912.50	122.50	30.00	254.87
128	967.50	422.50	28.00	225.73	489	967.50	122.50	31.78	280.78
129	1022.50	422.50	29.00	240.30	490	1022.50	122.50	30.44	261.35
130	1077.50	422.50	29.56	248.40	491	1077.50	122.50	31.11	271.06
131	1132.50	422.50	29.67	250.01	492	1132.50	122.50	31.11	271.06
132	1187.50	422.50	27.67	220.87	493	1187.50	122.50	30.78	266.21
133	912.50	367.50	32.67	293.73	494	912.50	67.50	29.89	253.25
134	967.50	367.50	30.00	254.87	495	967.50	67.50	32.11	285.63
135	1022.50	367.50	30.89	267.82	496	1022.50	67.50	31.67	279.16
136	1077.50	367.50	28.22	228.97	497	1077.50	67.50	32.33	288.87
137	1132.50	367.50	31.11	271.06	498	1132.50	67.50	31.78	280.78
138	1187.50	367.50	32.11	285.63	499	1187.50	67.50	33.00	298.59
139	912.50	312.50	31.78	280.78	500	912.50	12.50	33.44	305.06
140	967.50	312.50	32.11	285.63	501	967.50	12.50	32.78	295.35
141	1022.50	312.50	28.56	233.82	502	1022.50	12.50	33.78	309.92
142	1077.50	312.50	31.56	277.54	503	1077.50	12.50	32.22	287.25
143	1132.50	312.50	31.00	269.44	504	1132.50	12.50	32.89	296.97
144	1187.50	312.50	30.11	256.49	505	1187.50	12.50	31.33	274.30
145	1212.50	587.50	30.56	262.97	506	1212.50	287.50	33.11	300.21
146	1267.50	587.50	30.67	264.59	507	1267.50	287.50	34.00	313.16
147	1322.50	587.50	31.33	274.30	508	1322.50	287.50	35.33	332.59
148	1377.50	587.50	31.89	282.40	509	1377.50	287.50	33.56	306.68
149	1432.50	587.50	31.44	275.92	510	1432.50	287.50	35.00	327.73
150	1487.50	587.50	30.56	262.97	511	1487.50	287.50	34.44	319.64
151	1212.50	532.50	31.67	279.16	512	1212.50	232.50	33.89	311.54
152	1267.50	532.50	32.22	287.25	513	1267.50	232.50	32.22	287.25
153	1322.50	532.50	33.44	305.06	514	1322.50	232.50	33.44	305.06
154	1377.50	532.50	32.33	288.87	515	1377.50	232.50	33.33	303.44
155	1432.50	532.50	31.89	282.40	516	1432.50	232.50	33.56	306.68
156	1487.50	532.50	33.11	300.21	517	1487.50	232.50	34.33	318.02
157	1212.50	477.50	31.22	272.68	518	1212.50	177.50	30.89	267.82
158	1267.50	477.50	30.78	266.21	519	1267.50	177.50	31.00	269.44
159	1322.50	477.50	32.22	287.25	520	1322.50	177.50	33.11	300.21
160	1377.50	477.50	31.78	280.78	521	1377.50	177.50	31.67	279.16
161	1432.50	477.50	31.44	275.92	522	1432.50	177.50	33.78	309.92
162	1487.50	477.50	30.89	267.82	523	1487.50	177.50	32.22	287.25
163	1212.50	422.50	33.00	298.59	524	1212.50	122.50	31.89	282.40
164	1267.50	422.50	31.33	274.30	525	1267.50	122.50	32.33	288.87

165	1322.50	422.50	32.89	296.97	526	1322.50	122.50	33.00	298.59
166	1377.50	422.50	31.00	269.44	527	1377.50	122.50	32.00	284.02
167	1432.50	422.50	31.22	272.68	528	1432.50	122.50	32.22	287.25
168	1487.50	422.50	31.11	271.06	529	1487.50	122.50	31.44	275.92
169	1212.50	367.50	32.56	292.11	530	1212.50	67.50	31.78	280.78
170	1267.50	367.50	33.22	301.83	531	1267.50	67.50	30.33	259.73
171	1322.50	367.50	34.00	313.16	532	1322.50	67.50	31.33	274.30
172	1377.50	367.50	33.67	308.30	533	1377.50	67.50	32.67	293.73
173	1432.50	367.50	34.11	314.78	534	1432.50	67.50	32.00	284.02
174	1487.50	367.50	34.00	313.16	535	1487.50	67.50	32.89	296.97
175	1212.50	312.50	31.11	271.06	536	1212.50	12.50	30.44	261.35
176	1267.50	312.50	32.22	287.25	537	1267.50	12.50	30.78	266.21
177	1322.50	312.50	31.44	275.92	538	1322.50	12.50	32.44	290.49
178	1377.50	312.50	33.56	306.68	539	1377.50	12.50	32.22	287.25
179	1432.50	312.50	33.33	303.44	540	1432.50	12.50	33.89	311.54
180	1487.50	312.50	33.44	305.06	541	1487.50	12.50	33.11	300.21
181	1512.50	587.50	32.22	287.25	542	1512.50	287.50	33.56	306.68
182	1567.50	587.50	33.00	298.59	543	1567.50	287.50	33.44	305.06
183	1622.50	587.50	33.22	301.83	544	1622.50	287.50	35.78	339.06
184	1677.50	587.50	33.78	309.92	545	1677.50	287.50	34.11	314.78
185	1732.50	587.50	32.33	288.87	546	1732.50	287.50	33.33	303.44
186	1787.50	587.50	32.11	285.63	547	1787.50	287.50	33.33	303.44
187	1512.50	532.50	33.00	298.59	548	1512.50	232.50	33.44	305.06
188	1567.50	532.50	33.44	305.06	549	1567.50	232.50	33.33	303.44
189	1622.50	532.50	34.89	326.11	550	1622.50	232.50	34.00	313.16
190	1677.50	532.50	34.11	314.78	551	1677.50	232.50	33.89	311.54
191	1732.50	532.50	32.44	290.49	552	1732.50	232.50	33.22	301.83
192	1787.50	532.50	32.56	292.11	553	1787.50	232.50	33.22	301.83
193	1512.50	477.50	30.56	262.97	554	1512.50	177.50	32.44	290.49
194	1567.50	477.50	31.56	277.54	555	1567.50	177.50	30.89	267.82
195	1622.50	477.50	33.33	303.44	556	1622.50	177.50	31.44	275.92
196	1677.50	477.50	34.78	324.49	557	1677.50	177.50	32.56	292.11
197	1732.50	477.50	32.44	290.49	558	1732.50	177.50	31.89	282.40
198	1787.50	477.50	32.89	296.97	559	1787.50	177.50	29.11	241.92
199	1512.50	422.50	31.00	269.44	560	1512.50	122.50	32.67	293.73
200	1567.50	422.50	31.22	272.68	561	1567.50	122.50	31.56	277.54
201	1622.50	422.50	33.11	300.21	562	1622.50	122.50	30.56	262.97
202	1677.50	422.50	32.00	284.02	563	1677.50	122.50	33.44	305.06
203	1732.50	422.50	33.56	306.68	564	1732.50	122.50	32.00	284.02
204	1787.50	422.50	32.44	290.49	565	1787.50	122.50	29.56	248.40
205	1512.50	367.50	35.67	337.45	566	1512.50	67.50	32.56	292.11
206	1567.50	367.50	32.56	292.11	567	1567.50	67.50	33.33	303.44
207	1622.50	367.50	34.11	314.78	568	1622.50	67.50	32.56	292.11
208	1677.50	367.50	34.56	321.25	569	1677.50	67.50	33.33	303.44

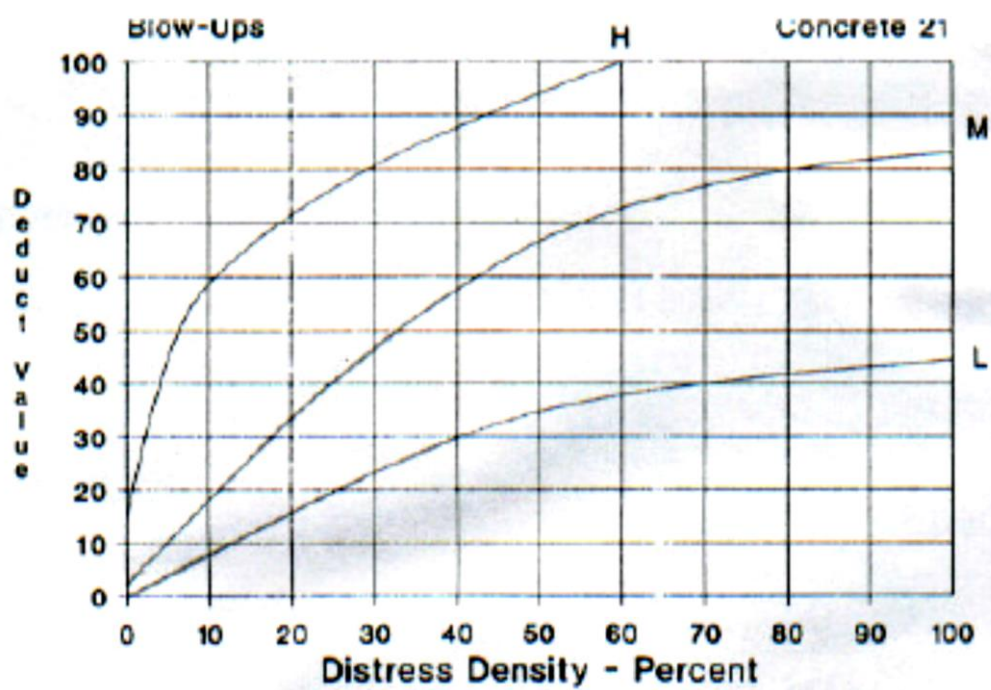
209	1732.50	367.50	35.22	330.97	570	1732.50	67.50	30.78	266.21
210	1787.50	367.50	32.11	285.63	571	1787.50	67.50	33.00	298.59
211	1512.50	312.50	34.78	324.49	572	1512.50	12.50	31.56	277.54
212	1567.50	312.50	34.00	313.16	573	1567.50	12.50	32.00	284.02
213	1622.50	312.50	32.78	295.35	574	1622.50	12.50	31.89	282.40
214	1677.50	312.50	33.78	309.92	575	1677.50	12.50	31.56	277.54
215	1732.50	312.50	32.89	296.97	576	1732.50	12.50	30.22	258.11
216	1787.50	312.50	32.33	288.87	577	1787.50	12.50	29.44	246.78
217	1812.50	587.50	33.44	305.06	578	1812.50	287.50	32.22	287.25
218	1867.50	587.50	30.67	264.59	579	1867.50	287.50	31.78	280.78
219	1922.50	587.50	31.22	272.68	580	1922.50	287.50	34.89	326.11
220	1977.50	587.50	31.67	279.16	581	1977.50	287.50	33.11	300.21
221	2032.50	587.50	28.78	237.06	582	2032.50	287.50	33.33	303.44
222	2087.50	587.50	29.89	253.25	583	2087.50	287.50	35.22	330.97
223	1812.50	532.50	33.44	305.06	584	1812.50	232.50	33.89	311.54
224	1867.50	532.50	33.56	306.68	585	1867.50	232.50	31.56	277.54
225	1922.50	532.50	33.78	309.92	586	1922.50	232.50	32.44	290.49
226	1977.50	532.50	33.22	301.83	587	1977.50	232.50	35.33	332.59
227	2032.50	532.50	32.33	288.87	588	2032.50	232.50	35.56	335.83
228	2087.50	532.50	32.00	284.02	589	2087.50	232.50	32.89	296.97
229	1812.50	477.50	32.78	295.35	590	1812.50	177.50	30.33	259.73
230	1867.50	477.50	30.22	258.11	591	1867.50	177.50	29.22	243.54
231	1922.50	477.50	33.00	298.59	592	1922.50	177.50	30.11	256.49
232	1977.50	477.50	34.11	314.78	593	1977.50	177.50	33.22	301.83
233	2032.50	477.50	32.67	293.73	594	2032.50	177.50	33.00	298.59
234	2087.50	477.50	32.89	296.97	595	2087.50	177.50	32.89	296.97
235	1812.50	422.50	32.11	285.63	596	1812.50	122.50	30.00	254.87
236	1867.50	422.50	31.67	279.16	597	1867.50	122.50	25.33	186.87
237	1922.50	422.50	31.44	275.92	598	1922.50	122.50	32.33	288.87
238	1977.50	422.50	31.56	277.54	599	1977.50	122.50	32.33	288.87
239	2032.50	422.50	31.44	275.92	600	2032.50	122.50	30.78	266.21
240	2087.50	422.50	32.00	284.02	601	2087.50	122.50	32.00	284.02
241	1812.50	367.50	29.78	251.63	602	1812.50	67.50	27.78	222.49
242	1867.50	367.50	32.00	284.02	603	1867.50	67.50	31.11	271.06
243	1922.50	367.50	34.11	314.78	604	1922.50	67.50	33.22	301.83
244	1977.50	367.50	33.22	301.83	605	1977.50	67.50	33.44	305.06
245	2032.50	367.50	33.11	300.21	606	2032.50	67.50	31.89	282.40
246	2087.50	367.50	34.56	321.25	607	2087.50	67.50	32.56	292.11
247	1812.50	312.50	33.22	301.83	608	1812.50	12.50	29.56	248.40
248	1867.50	312.50	29.89	253.25	609	1867.50	12.50	33.56	306.68
249	1922.50	312.50	32.56	292.11	610	1922.50	12.50	33.11	300.21
250	1977.50	312.50	35.22	330.97	611	1977.50	12.50	34.33	318.02
251	2032.50	312.50	33.00	298.59	612	2032.50	12.50	33.89	311.54
252	2087.50	312.50	33.67	308.30	613	2087.50	12.50	32.22	287.25

253	2112.50	587.50	32.56	292.11		614	2112.50	287.50	34.78	324.49
254	2167.50	587.50	32.78	295.35		615	2167.50	287.50	35.89	340.68
255	2222.50	587.50	34.22	316.40		616	2222.50	287.50	34.89	326.11
256	2277.50	587.50	32.67	293.73		617	2277.50	287.50	36.11	343.92
257	2332.50	587.50	29.89	253.25		618	2332.50	287.50	34.78	324.49
258	2387.50	587.50	34.00	313.16		619	2387.50	287.50	35.11	329.35
259	2112.50	532.50	32.67	293.73		620	2112.50	232.50	33.44	305.06
260	2167.50	532.50	33.00	298.59		621	2167.50	232.50	32.67	293.73
261	2222.50	532.50	32.22	287.25		622	2222.50	232.50	33.56	306.68
262	2277.50	532.50	29.33	245.16		623	2277.50	232.50	32.11	285.63
263	2332.50	532.50	33.56	306.68		624	2332.50	232.50	34.00	313.16
264	2387.50	532.50	29.22	243.54		625	2387.50	232.50	31.89	282.40
265	2112.50	477.50	32.00	284.02		626	2112.50	177.50	32.44	290.49
266	2167.50	477.50	31.56	277.54		627	2167.50	177.50	31.44	275.92
267	2222.50	477.50	30.89	267.82		628	2222.50	177.50	30.78	266.21
268	2277.50	477.50	31.11	271.06		629	2277.50	177.50	30.22	258.11
269	2332.50	477.50	28.67	235.44		630	2332.50	177.50	29.33	245.16
270	2387.50	477.50	30.33	259.73		631	2387.50	177.50	29.89	253.25
271	2112.50	422.50	29.78	251.63		632	2112.50	122.50	33.33	303.44
272	2167.50	422.50	30.11	256.49		633	2167.50	122.50	31.78	280.78
273	2222.50	422.50	26.89	209.54		634	2222.50	122.50	31.44	275.92
274	2277.50	422.50	30.33	259.73		635	2277.50	122.50	31.22	272.68
275	2332.50	422.50	29.67	250.01		636	2332.50	122.50	28.89	238.68
276	2387.50	422.50	29.78	251.63		637	2387.50	122.50	29.33	245.16
277	2112.50	367.50	33.33	303.44		638	2112.50	67.50	30.67	264.59
278	2167.50	367.50	31.78	280.78		639	2167.50	67.50	30.11	256.49
279	2222.50	367.50	30.89	267.82		640	2222.50	67.50	30.44	261.35
280	2277.50	367.50	31.78	280.78		641	2277.50	67.50	30.00	254.87
281	2332.50	367.50	30.33	259.73		642	2332.50	67.50	31.89	282.40
282	2387.50	367.50	32.00	284.02		643	2387.50	67.50	31.00	269.44
283	2112.50	312.50	32.44	290.49		644	2112.50	12.50	32.67	293.73
284	2167.50	312.50	31.44	275.92		645	2167.50	12.50	30.67	264.59
285	2222.50	312.50	30.22	258.11		646	2222.50	12.50	31.22	272.68
286	2277.50	312.50	29.67	250.01		647	2277.50	12.50	30.89	267.82
287	2332.50	312.50	31.00	269.44		648	2332.50	12.50	30.44	261.35
288	2387.50	312.50	30.67	264.59		649	2387.50	12.50	32.78	295.35
289	2412.50	587.50	31.44	275.92		650	2412.50	287.50	33.78	309.92
290	2467.50	587.50	27.67	220.87		651	2467.50	287.50	32.11	285.63
291	2522.50	587.50	33.78	309.92		652	2522.50	287.50	32.67	293.73
292	2577.50	587.50	33.33	303.44		653	2577.50	287.50	31.33	274.30
293	2632.50	587.50	31.67	279.16		654	2632.50	287.50	31.00	269.44
294	2687.50	587.50	33.11	300.21		655	2687.50	287.50	30.44	261.35
295	2412.50	532.50	32.00	284.02		656	2412.50	232.50	33.00	298.59
296	2467.50	532.50	33.00	298.59		657	2467.50	232.50	31.11	271.06

297	2522.50	532.50	33.22	301.83	658	2522.50	232.50	31.22	272.68
298	2577.50	532.50	32.11	285.63	659	2577.50	232.50	32.33	288.87
299	2632.50	532.50	32.78	295.35	660	2632.50	232.50	30.67	264.59
300	2687.50	532.50	32.89	296.97	661	2687.50	232.50	29.89	253.25
301	2412.50	477.50	32.11	285.63	662	2412.50	177.50	29.67	250.01
302	2467.50	477.50	32.33	288.87	663	2467.50	177.50	27.67	220.87
303	2522.50	477.50	33.33	303.44	664	2522.50	177.50	30.44	261.35
304	2577.50	477.50	31.89	282.40	665	2577.50	177.50	27.89	224.11
305	2632.50	477.50	31.00	269.44	666	2632.50	177.50	28.56	233.82
306	2687.50	477.50	33.78	309.92	667	2687.50	177.50	28.67	235.44
307	2412.50	422.50	31.22	272.68	668	2412.50	122.50	30.89	267.82
308	2467.50	422.50	31.22	272.68	669	2467.50	122.50	28.89	238.68
309	2522.50	422.50	33.00	298.59	670	2522.50	122.50	29.78	251.63
310	2577.50	422.50	32.33	288.87	671	2577.50	122.50	28.11	227.35
311	2632.50	422.50	32.22	287.25	672	2632.50	122.50	29.89	253.25
312	2687.50	422.50	34.33	318.02	673	2687.50	122.50	29.00	240.30
313	2412.50	367.50	32.56	292.11	674	2412.50	67.50	31.89	282.40
314	2467.50	367.50	32.33	288.87	675	2467.50	67.50	30.33	259.73
315	2522.50	367.50	32.11	285.63	676	2522.50	67.50	30.11	256.49
316	2577.50	367.50	33.22	301.83	677	2577.50	67.50	30.44	261.35
317	2632.50	367.50	33.56	306.68	678	2632.50	67.50	28.56	233.82
318	2687.50	367.50	35.56	335.83	679	2687.50	67.50	29.78	251.63
319	2412.50	312.50	32.00	284.02	680	2412.50	12.50	29.22	243.54
320	2467.50	312.50	31.11	271.06	681	2467.50	12.50	31.33	274.30
321	2522.50	312.50	33.67	308.30	682	2522.50	12.50	29.56	248.40
322	2577.50	312.50	33.00	298.59	683	2577.50	12.50	30.11	256.49
323	2632.50	312.50	32.11	285.63	684	2632.50	12.50	28.00	225.73
324	2687.50	312.50	34.78	324.49	685	2687.50	12.50	32.33	288.87
325	2712.50	587.50	34.00	313.16	686	2712.50	287.50	31.11	271.06
326	2767.50	587.50	34.22	316.40	687	2767.50	287.50	31.11	271.06
327	2822.50	587.50	33.78	309.92	688	2822.50	287.50	33.22	301.83
328	2877.50	587.50	33.44	305.06	689	2877.50	287.50	30.78	266.21
329	2932.50	587.50	33.00	298.59	690	2932.50	287.50	31.44	275.92
330	2987.50	587.50	32.67	293.73	691	2987.50	287.50	36.22	345.54
331	2712.50	532.50	33.22	301.83	692	2712.50	232.50	31.67	279.16
332	2767.50	532.50	33.33	303.44	693	2767.50	232.50	32.33	288.87
333	2822.50	532.50	34.22	316.40	694	2822.50	232.50	30.44	261.35
334	2877.50	532.50	33.56	306.68	695	2877.50	232.50	31.33	274.30
335	2932.50	532.50	33.00	298.59	696	2932.50	232.50	30.00	254.87
336	2987.50	532.50	33.67	308.30	697	2987.50	232.50	35.11	329.35
337	2712.50	477.50	32.56	292.11	698	2712.50	177.50	28.44	232.20
338	2767.50	477.50	30.33	259.73	699	2767.50	177.50	28.11	227.35
339	2822.50	477.50	31.44	275.92	700	2822.50	177.50	28.22	228.97
340	2877.50	477.50	30.11	256.49	701	2877.50	177.50	27.22	214.39

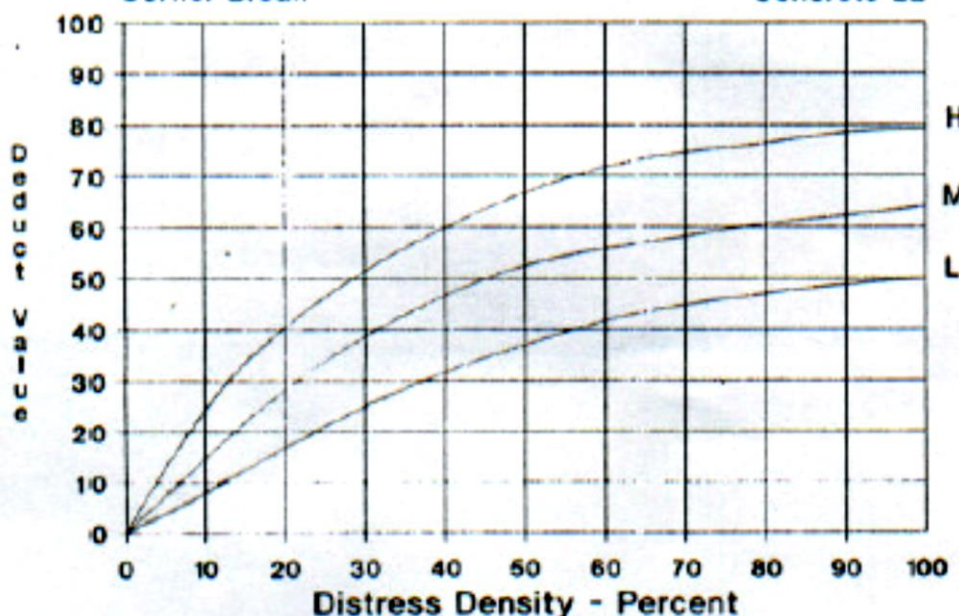
341	2932.50	477.50	29.78	251.63		702	2932.50	177.50	29.11	241.92
342	2987.50	477.50	28.89	238.68		703	2987.50	177.50	35.00	327.73
343	2712.50	422.50	32.56	292.11		704	2712.50	122.50	29.33	245.16
344	2767.50	422.50	32.00	284.02		705	2767.50	122.50	29.11	241.92
345	2822.50	422.50	29.44	246.78		706	2822.50	122.50	29.78	251.63
346	2877.50	422.50	29.22	243.54		707	2877.50	122.50	28.78	237.06
347	2932.50	422.50	28.11	227.35		708	2932.50	122.50	30.00	254.87
348	2987.50	422.50	29.89	253.25		709	2987.50	122.50	34.89	326.11
349	2712.50	367.50	33.00	298.59		710	2712.50	67.50	31.56	277.54
350	2767.50	367.50	30.44	261.35		711	2767.50	67.50	29.67	250.01
351	2822.50	367.50	29.56	248.40		712	2822.50	67.50	28.11	227.35
352	2877.50	367.50	29.22	243.54		713	2877.50	67.50	28.78	237.06
353	2932.50	367.50	31.44	275.92		714	2932.50	67.50	30.00	254.87
354	2987.50	367.50	29.00	240.30		715	2987.50	67.50	33.67	308.30
355	2712.50	312.50	31.22	272.68		716	2712.50	12.50	30.00	254.87
356	2767.50	312.50	29.44	246.78		717	2767.50	12.50	29.56	248.40
357	2822.50	312.50	32.44	290.49		718	2822.50	12.50	30.33	259.73
358	2877.50	312.50	32.78	295.35		719	2877.50	12.50	30.00	254.87
359	2932.50	312.50	28.56	233.82		720	2932.50	12.50	31.89	282.40
360	2987.50	312.50	30.00	254.87		721	2987.50	12.50	32.67	293.73
361	2987.50	312.50	30.00	254.87						

ANEXO 05: ÁBACOS PARA EVALUACIÓN SUPERFICIAL - MÉTODO PCI



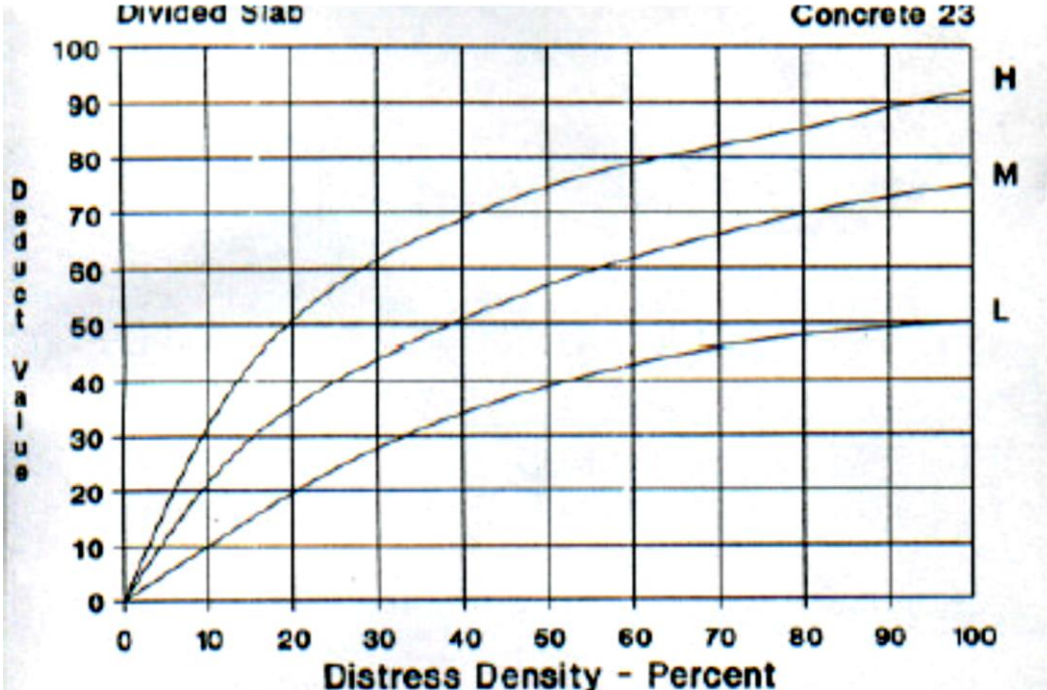
Corner Break

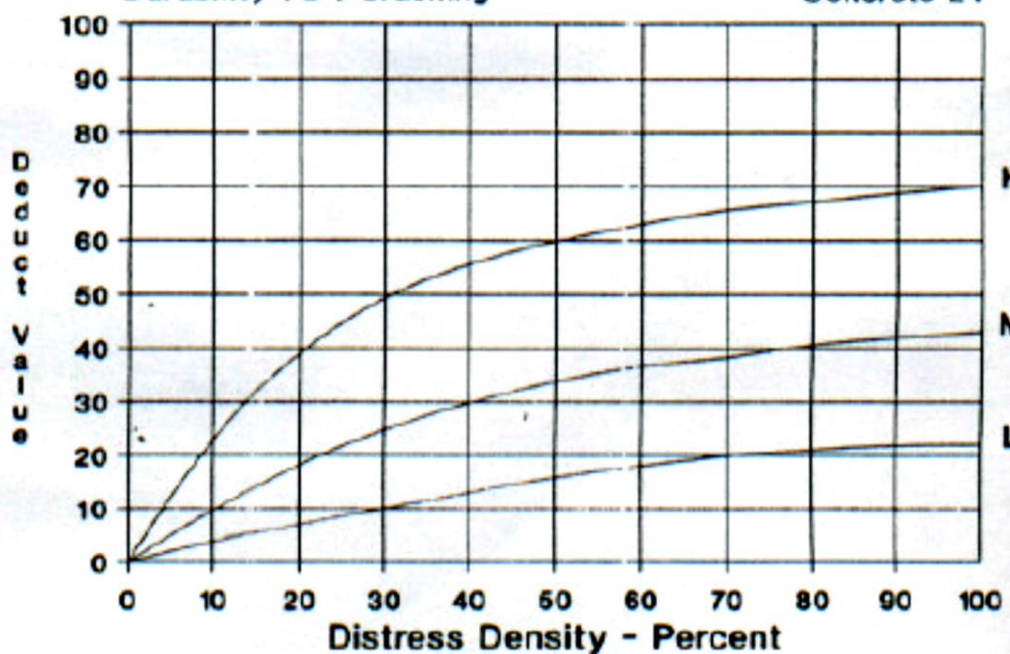
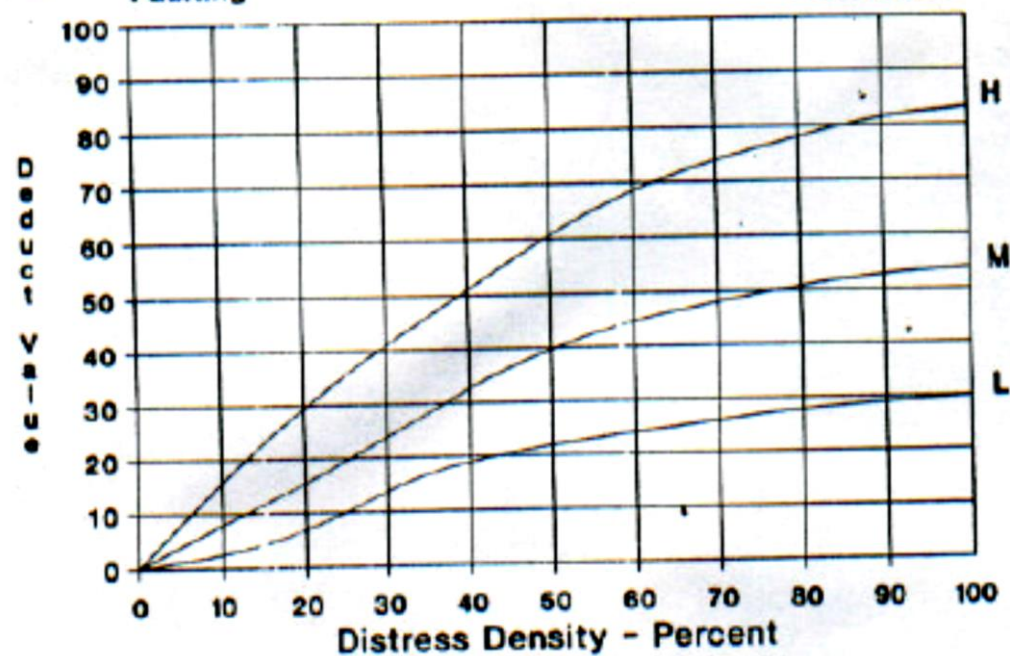
Concrete 22



Divided Slab

Concrete 23



Durability ('D') Cracking**Concrete 24****Faulting****Concrete 25**

Joint Seal Damage**Concrete 26**

Joint seal damage is not rated by density. The severity of the distress is determined by the sealant's overall condition for a particular sample unit.

The deduct values for the three levels of severity are:

LOW 2 points

MEDIUM 4 points

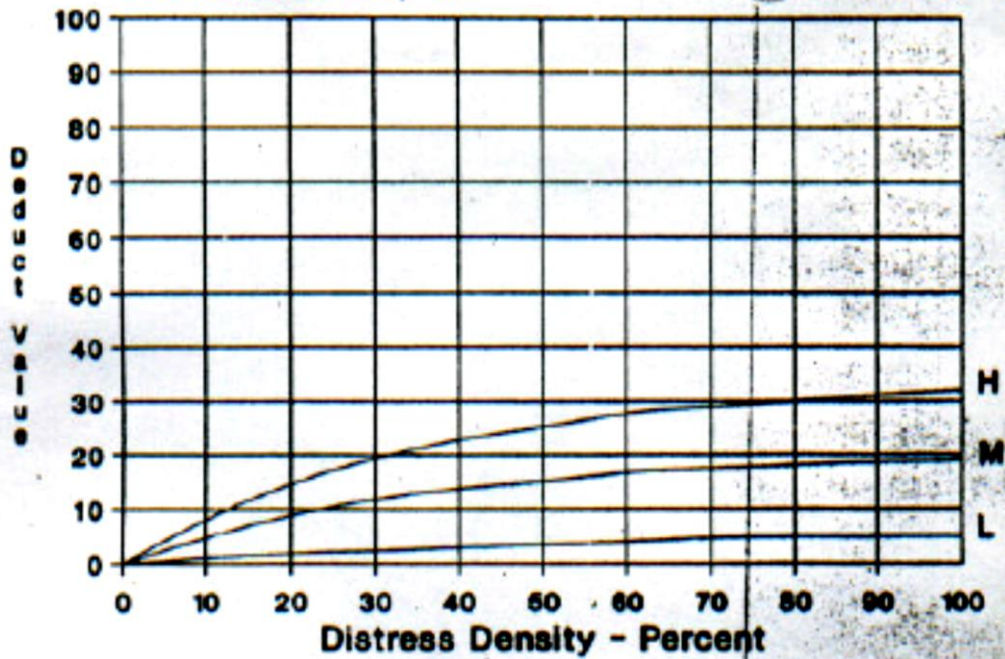
HIGH 8 points

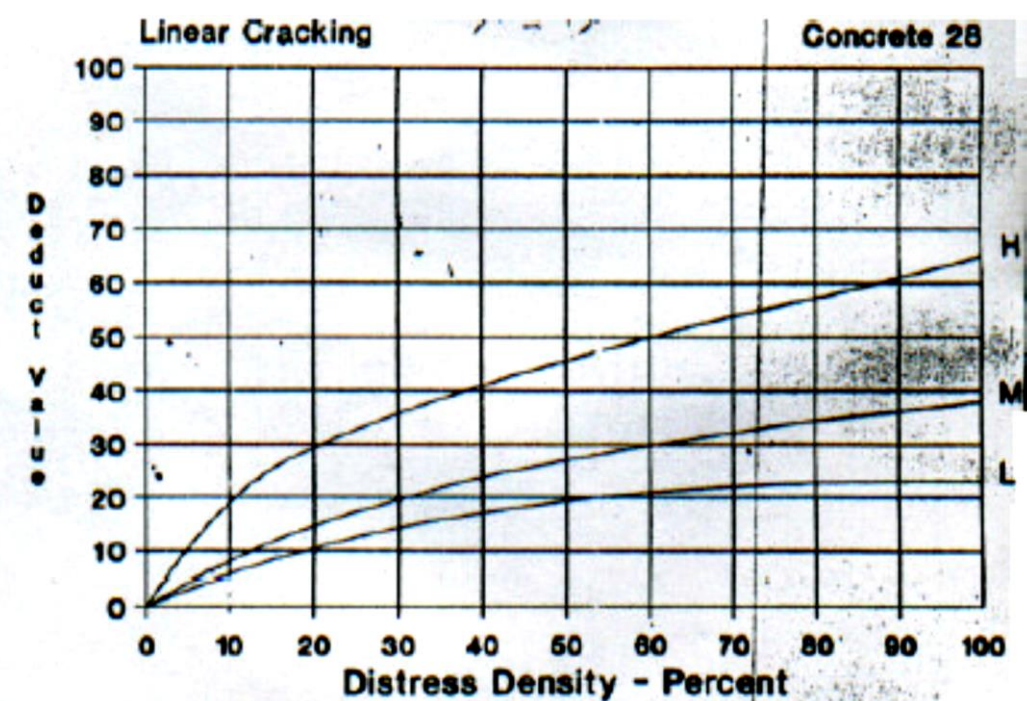
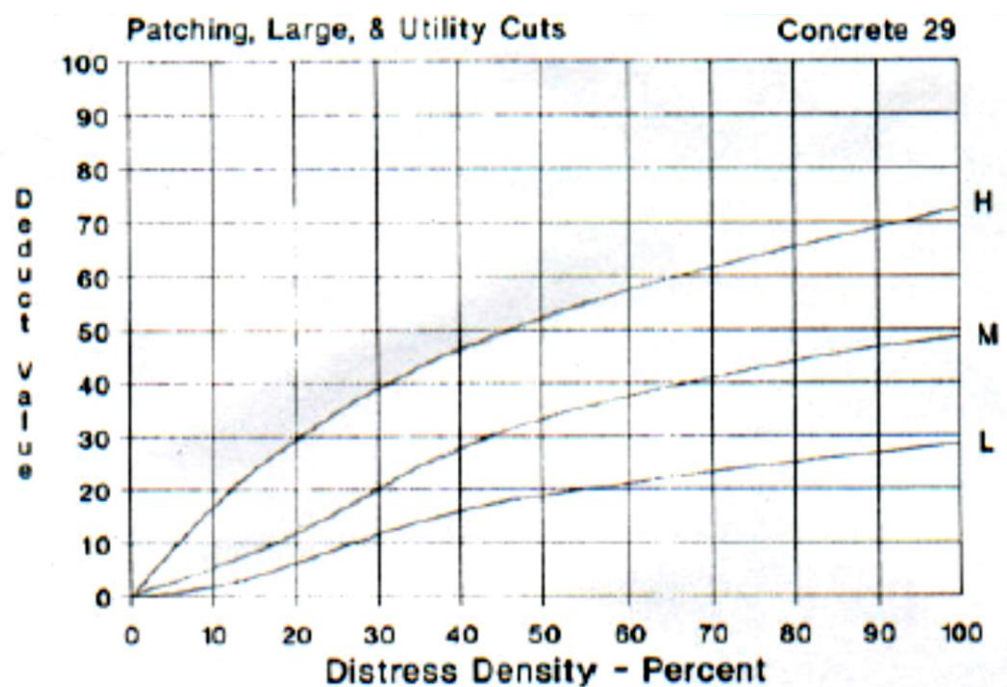
Concreto 26 El daño del sello de la junta no está relacionado con la densidad. Está determinada por el estado general del sellador para una unidad de muestra particular. Los valores deducidos de tres niveles de falla son:

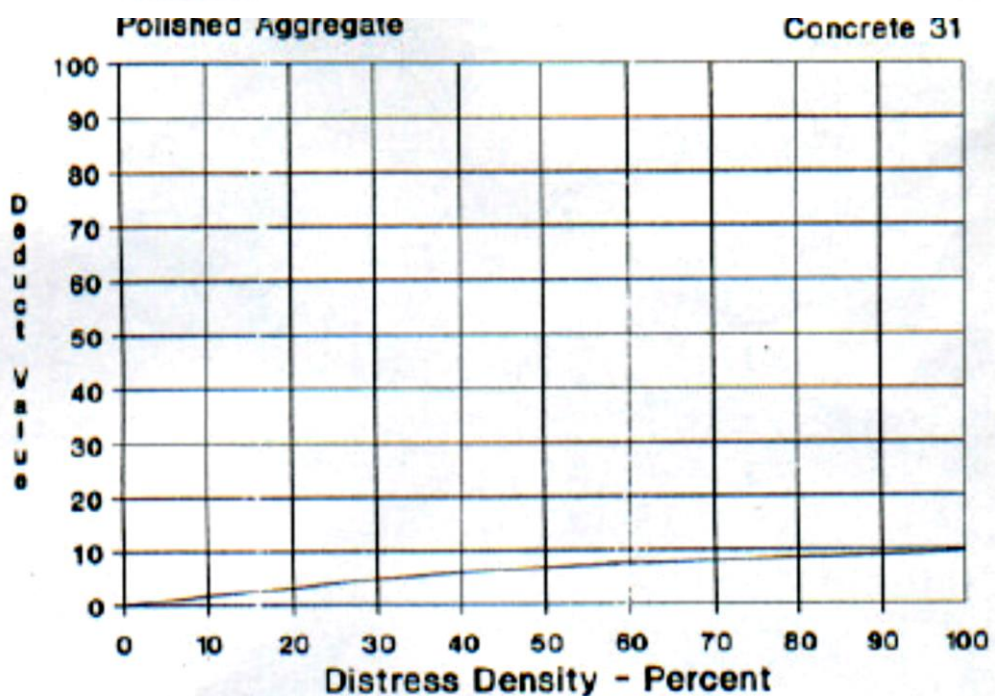
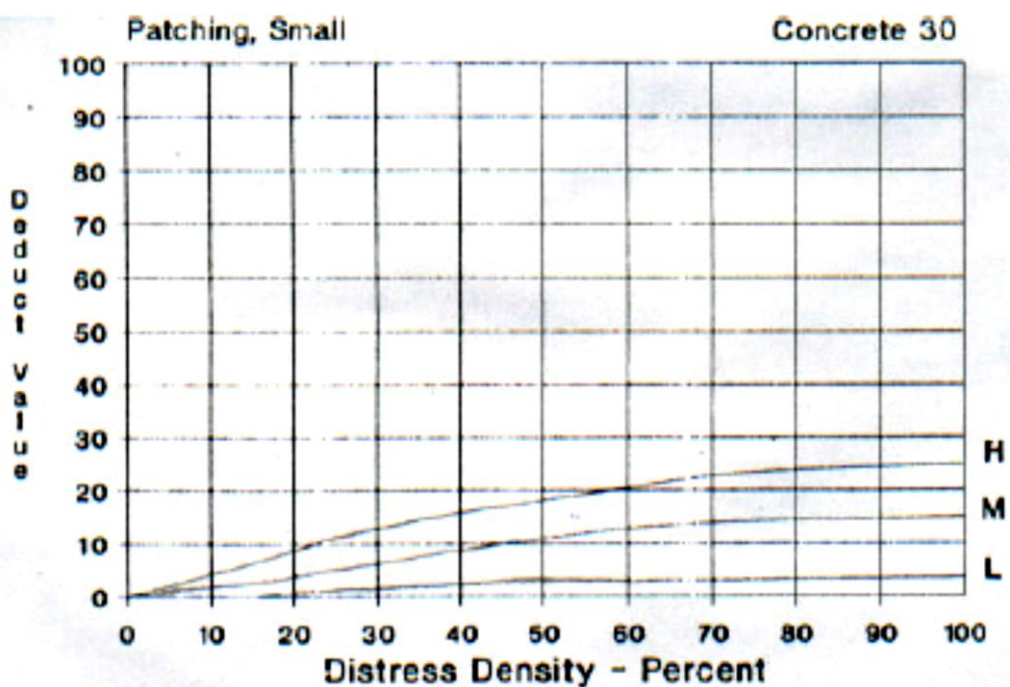
bajo 2 puntos

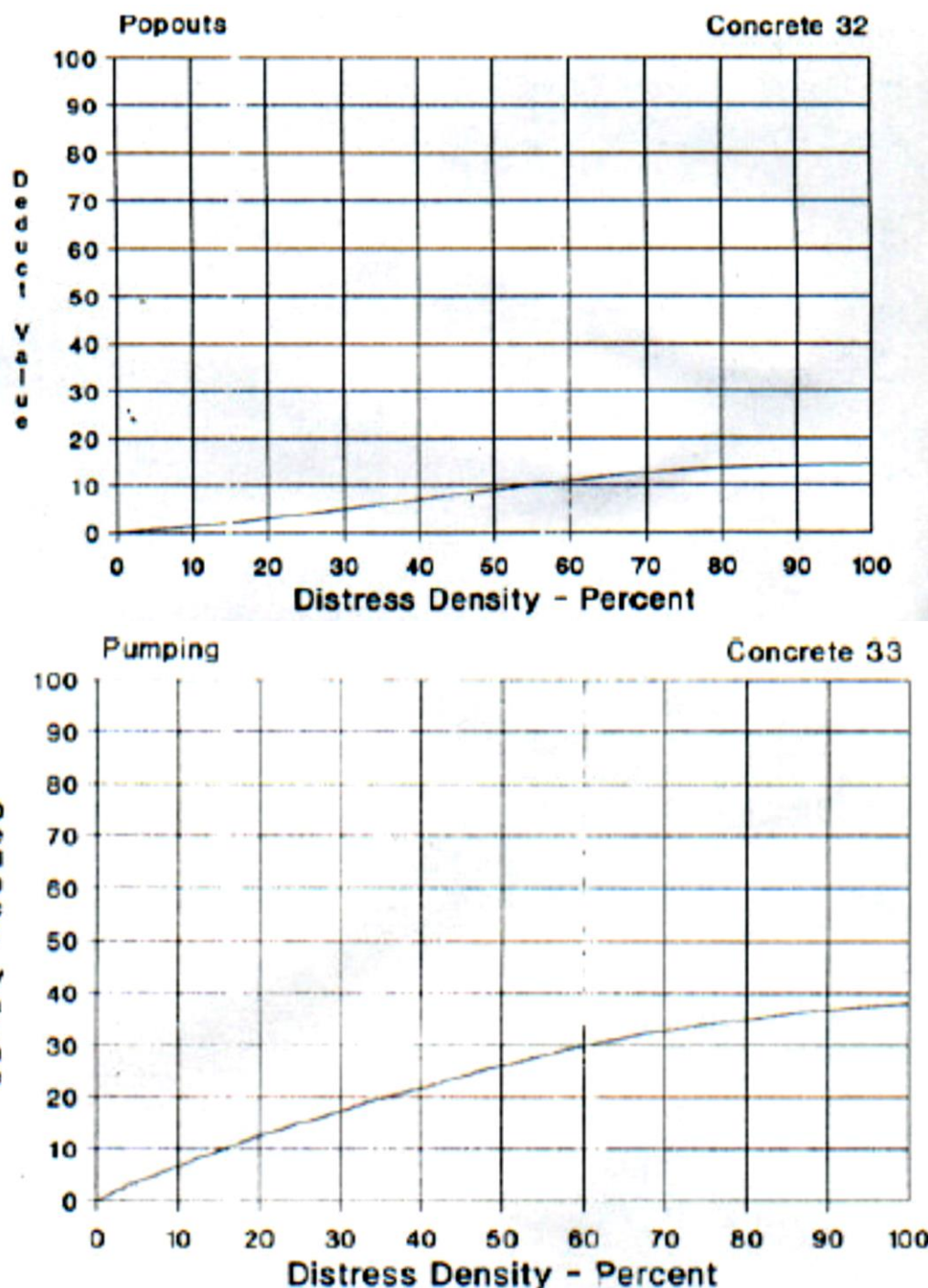
medio 4 puntos

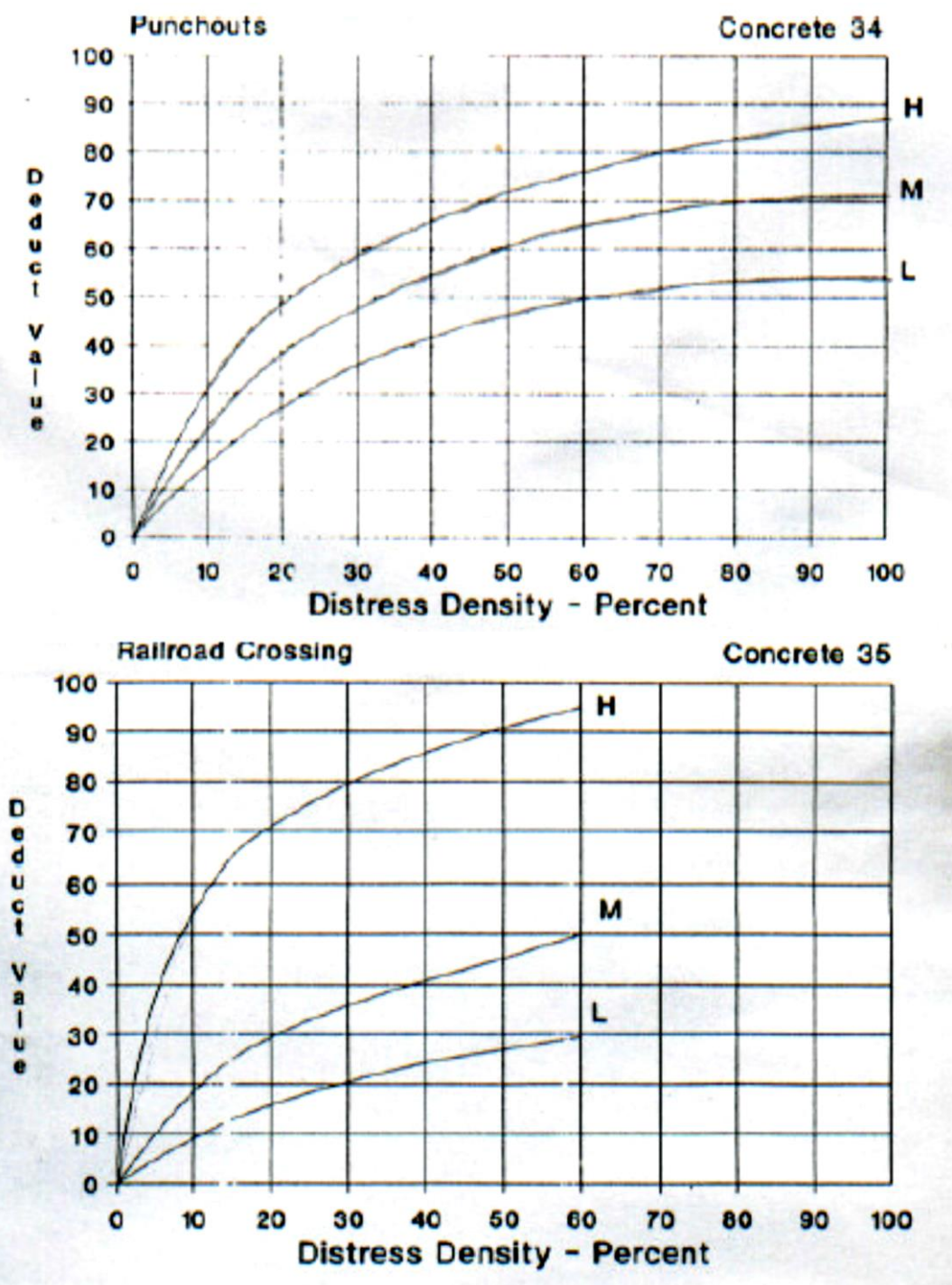
alto 8 puntos

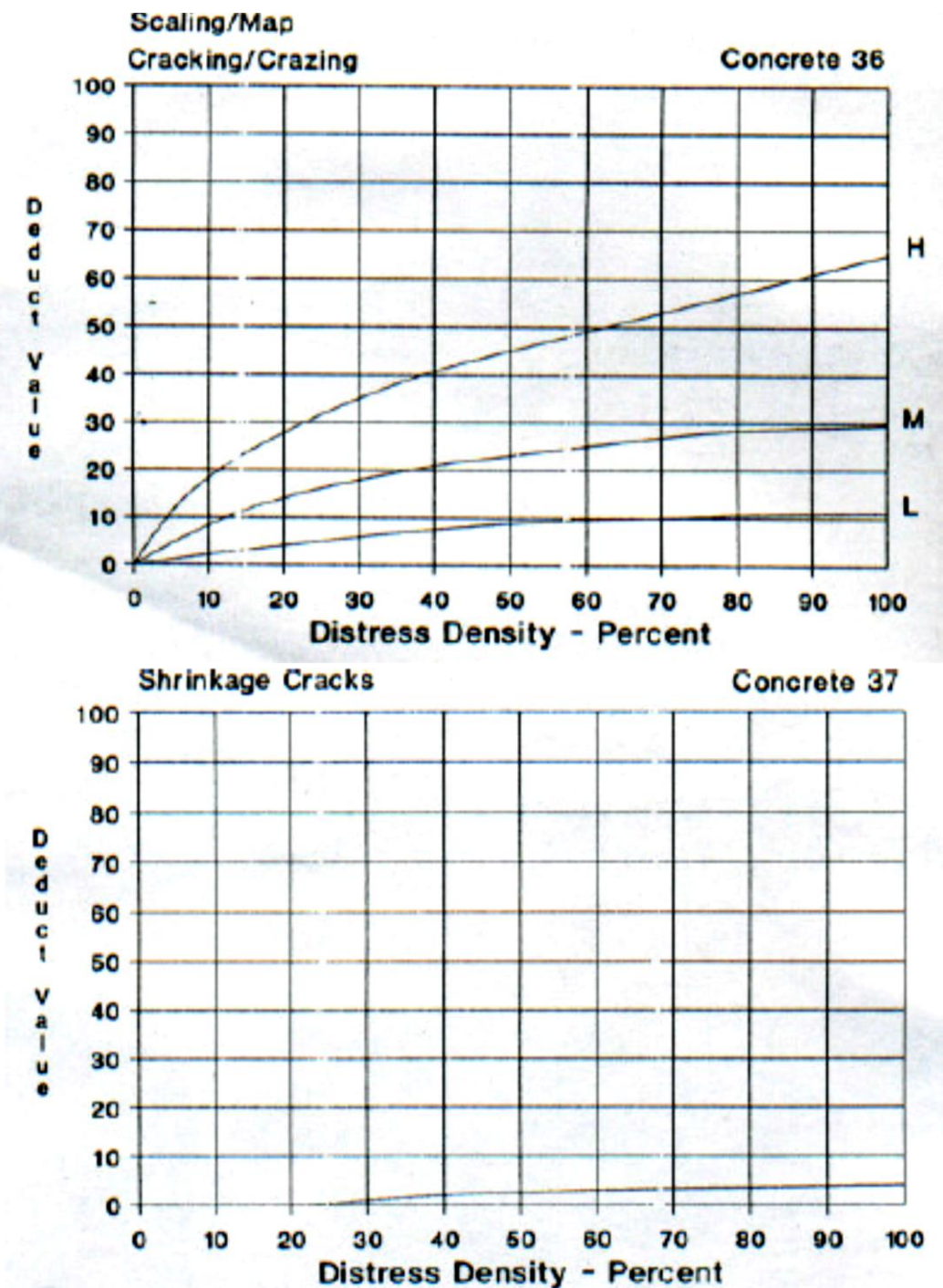
Lane/Shoulder Drop Off**Concrete 27**

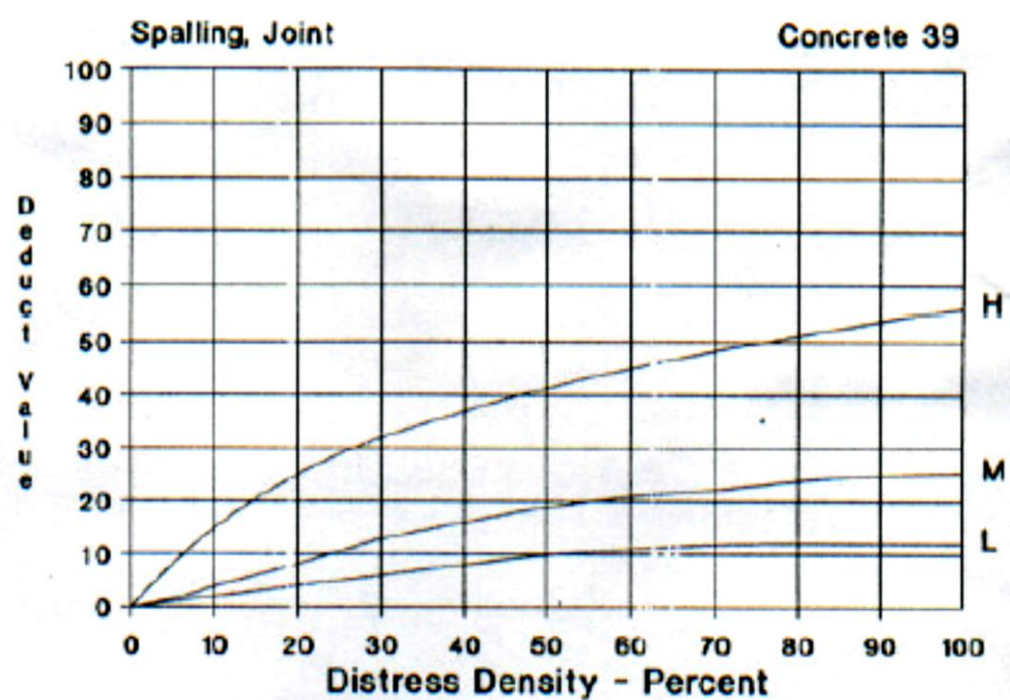
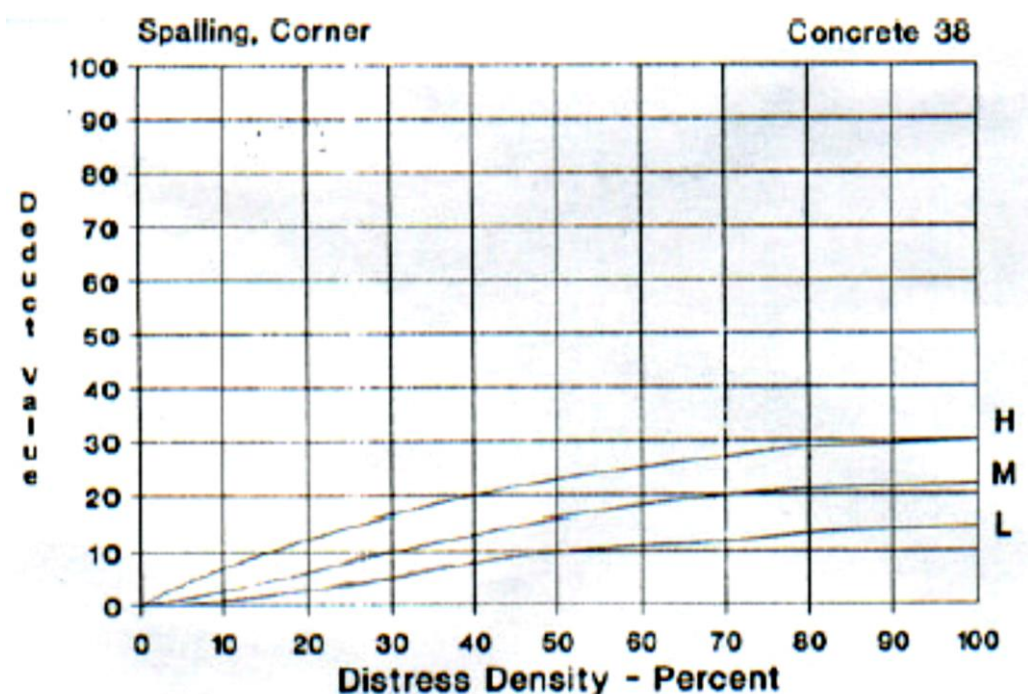




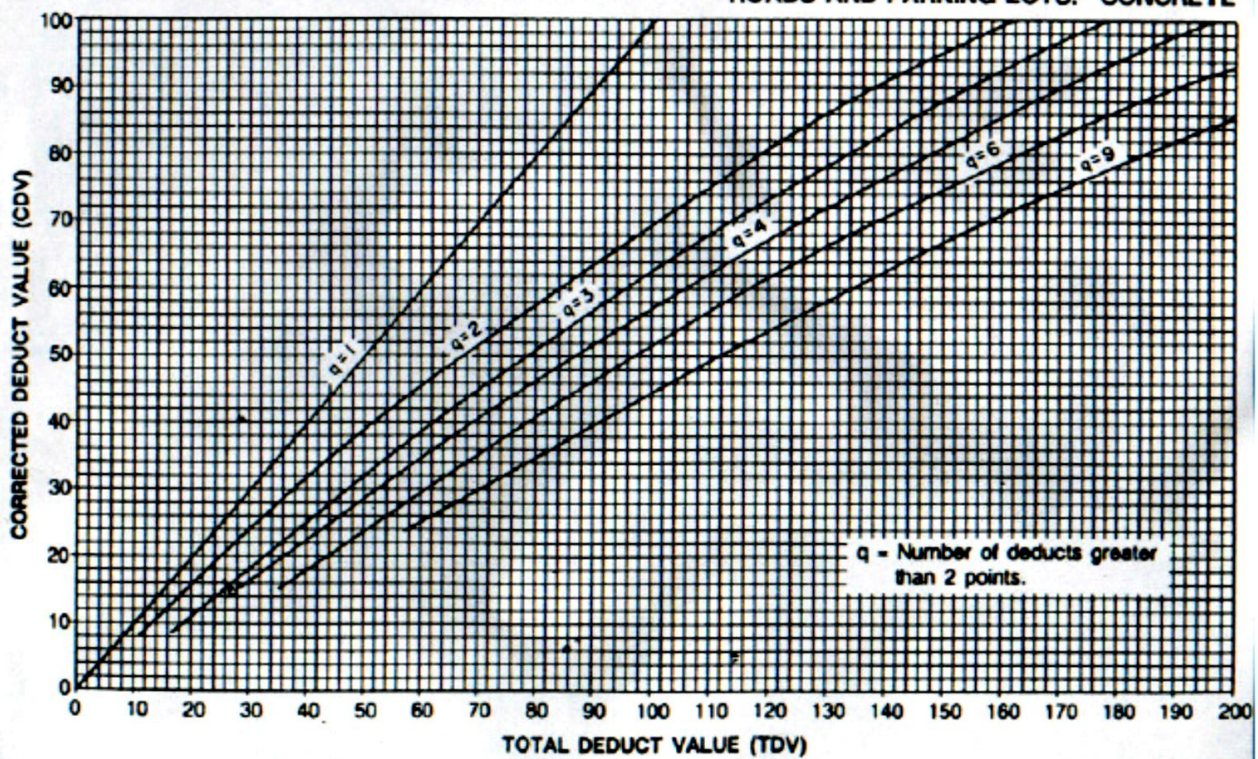








ROADS AND PARKING LOTS: CONCRETE



REGISTRO FOTOGRÁFICO



Elección de la av. Gordon Magne



Proceso de medición de vía



Marcado en vía para diferenciar mallas



Pulido de imperfecciones con piedra pómez



Punto prospectado según plantilla



Índice de rebote de punto evaluado



Prospección vial método esclerómetro



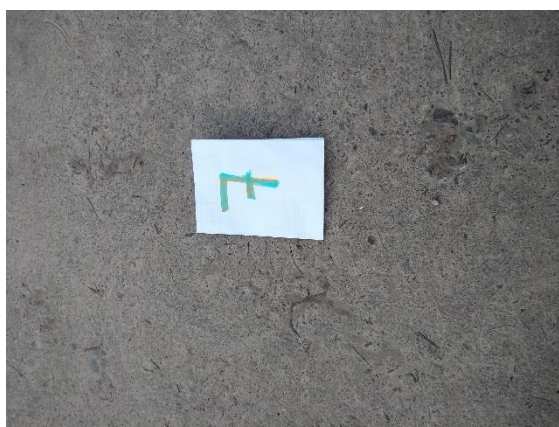
Equipo empleado para el análisis de $F'c$



Se aprecia falla popouts en la losa n°20



Se aprecia falla de junta entre la losa 1 y 2



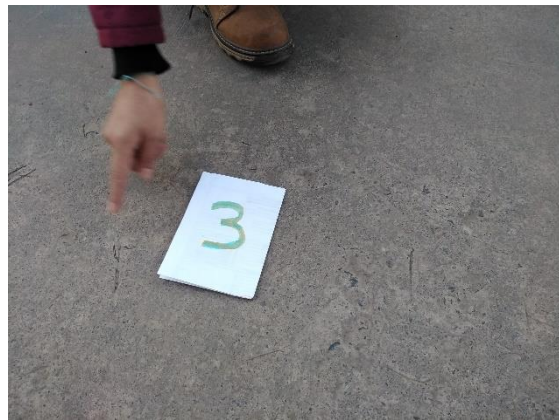
Se aprecia falla pulimiento de agregados en la losa n°7



Se aprecia falla de junta en la losa n°9



Se aprecia falla pulimiento de agregados en la losa n°5



Se aprecia falla pulimiento de agregados en la losa n°3



Se aprecia falla pulimiento de agregados en la losa n°6



Se aprecia falla popout en la losa n°8



Se aprecia falla popout en la losa n°4



Se aprecia falla de junta en la losa n°9



Se aprecia falla desnivel de carril en la losa nº9

Evaluación visual método PCI

Feedback Studio - Google Chrome

ev.turnitin.com/app/carta/es/?s=&o=1526804511&student_user=1&lang=es&u=1115136050

feedback studio Jorge Javier Sota Champi SER ENTREGABLE_ESCLEROMETRO_JAVIER Y MAYRA

Resumen de coincidencias

Ranking	Fuente de Internet	Porcentaje
1	Entregado a Universidad...	3 %
2	repositorio.uancv.edu.pe	1 %
3	repositorio.uladch.edu...	1 %
4	Entregado a Universidad...	<1 %
5	es.slideshare.net	<1 %
6	repositorio.ucv.edu.pe	<1 %
7	repositorio.uchile.cl	<1 %
8	repositorio.unc.edu.pe	<1 %
9	repositorio.ug.edu.ec	<1 %
10	civilgeeks.com	<1 %
11	Entregado a Universidad...	<1 %
12	repositorio.usanpedro....	<1 %

UNIVERSIDAD CÉSAR VALLEJO
FACULTAD DE INGENIERÍA
ESCUELA PROFESIONAL DE INGENIERÍA CIVIL
"Análisis de la resistencia a la compresión del pavimento rígido mediante el esclerómetro y su incidencia en el grado de conservación-Cusco"
TESIS DE INVESTIGACIÓN PARA OBTENER EL TÍTULO PROFESIONAL DE
INGENIERO CIVIL
AUTORES:
Bach. Sota Champi, Jorge Javier (ORCID: 0000-0002-1456-1680)
Bach. Vera Tejada, Mayra Carolina (ORCID: 0000-0003-4447-4374)
ASESOR:
Dr. ING. Gerardo Enrique Cañcho Zúñiga (ORCID: 0000-0002-0684-5114)
LINEA DE INVESTIGACIÓN
DISEÑO DE INFRAESTRUCTURA VIAL
LIMA - PERÚ
2020-II

Página: 1 de 104 Número de palabras: 21639

Text-only Report | High Resolution Activado 22:21 15/03/2021

Windows Search Task View File Explorer Google Chrome Word Excel Paint Notepad Powerpoint Adobe Acrobat Reader Photoshop